

АЗӘРБАЙЧАН ССР ЕЛМЛӘР АКАДЕМИЈАСЫ
АКАДЕМИЯ НАУК АЗЕРБАЙДЖАНСКОЙ ССР

МӘРҮЗӘЛӘР ДОКЛАДЫ

ТОМ XXI ЧИЛД

8

АЗӘРБАЙЧАН ССР ЕЛМЛӘР АКАДЕМИЈАСЫ НӘШРИЈАТЫ
ИЗДАТЕЛЬСТВО АКАДЕМИИ НАУК АЗЕРБАЙДЖАНСКОЙ ССР

Бакы—1965—Баку

П-168

АКАДЕМИЯ НАУК АЗЕРБАЙДЖАНСКОЙ ССР

МӨ'РҮЗӘЛӘР ДОКЛАДЫ

ТОМ XXI ЧИЛД

№ 8



АЗЭРБАЙЧАН ССР ЕЛМЛӘР АҚАДЕМИЈАСЫНЫН НӘШРИЈАТЫ
ИЗДАТЕЛЬСТВО АКАДЕМИИ НАУК АЗЕРБАЙДЖАНСКОЙ ССР
БАКЫ—1965—БАКУ

МАТЕМАТИКА

Р. Г. МАМЕДОВ

К ВОПРОСУ ПРИБЛИЖЕНИЯ ФУНКЦИЙ ЛИНЕЙНЫМИ
ОПЕРАТОРАМИ В ПРОСТРАНСТВЕ $L(-\infty, \infty)$

(Представлено академиком АН Азербайджанской ССР З. И. Халиловым)

Пусть $K_\lambda(t)$ —некоторая суммируемая на $(-\infty, \infty)$ функция, зависящая от параметра λ , причем $\int_{-\infty}^{\infty} K_\lambda(t)dt = 1$. Рассмотрим задачу о приближении функций $f(x)$ линейными операторами

$$T_\lambda(f; x) = \int_{-\infty}^{\infty} \left\{ \sum_{k=-\infty}^{\infty} a_k(\lambda) f[x - b_k(\lambda)t] \right\} K_\lambda(t) dt \quad (1)$$

в пространстве $L(-\infty, \infty)$ при $\lambda \rightarrow \infty$, где $\sum_{k=-\infty}^{\infty} a_k(\lambda) = 1$ и $\sum_{k=-\infty}^{\infty} |a_k(\lambda)| \leq M < +\infty$ для всех λ . Линейный оператор (1) является естественным обобщением m -сингулярных интегралов, рассмотренных автором в [1,2].

Преобразование Фурье функций $f(t) \in L(-\infty, \infty)$ обозначим через

$$F[f(t)] = \hat{f}(x) = \frac{1}{\sqrt{2\pi}} \int_{-\infty}^{\infty} f(t) e^{-ixt} dt.$$

Обозначим через E_F совокупность всех тех функций $\Phi(x)$, для которых $\Phi(x) = F[f(t)]$ для некоторой $f \in L(-\infty, \infty)$. Введем норму

$$\|\Phi\| = \|\hat{f}\| = \frac{1}{\sqrt{2\pi}} \int_{-\infty}^{\infty} |f(t)| dt \quad (2)$$

для функций $\Phi \in E_F$.

Преобразование Фурье—Стильтьесса функции $h(t)$ с ограниченным изменением на $(-\infty, \infty)$, т. е. $h(t) \in BV(-\infty, \infty)$, обозначим через

$$\check{h}(x) = (FS)h(t) = \frac{1}{\sqrt{2\pi}} \int_{-\infty}^{\infty} e^{-ixt} dh(t).$$

Пусть E_{FS} —совокупность всех функций $H(x)$, для которых $H(x) = (FS)h(t) = \hat{h}(x)$ для некоторой $h(t) \in BV(-\infty, \infty)$. Введем норму

$$\|H\| = \|\hat{h}(x)\| = \frac{1}{\sqrt{2\pi}} [\text{Var}h(t)]^{\frac{1}{2}} \quad (3)$$

для функций $H \in E_{FS}$.

Заметим, что, если $f \in L(-\infty, \infty)$, то (1) существует почти всюду на $(-\infty, \infty)$ и $T_\lambda(f; x) \in L(-\infty, \infty)$.

В дальнейшем всюду полагаем

$$\psi(x) = F[f(t)] \text{ и } \varphi_\lambda(x) = F[K_\lambda(t)].$$

Пусть

$$U_\lambda(x) = \sqrt{2\pi} \sum_{k=-\infty}^{\infty} a_k(\lambda) \varphi_\lambda[xb_k(\lambda)]$$

и

$$\Delta_\lambda(f; x) = f(x) - T_\lambda(f; x).$$

Теорема 1. Пусть $f \in L(-\infty, \infty)$ и существует неотрицательная убывающая к нулю при $\lambda \rightarrow \infty$ функция $\gamma(\lambda)$ такая, что

$$\lim_{\lambda \rightarrow \infty} \frac{1 - U_\lambda(x)}{\gamma(\lambda)} = r(x), \quad (4)$$

где $r(x)$ —некоторая измеримая на $(-\infty, \infty)$ функция.

Если

$$\|\Delta_\lambda(f; x)\|_L = O[\gamma(\lambda)] \quad (5)$$

при $\lambda \rightarrow \infty$, то

$$\psi(x)r(x) \in E_{FS}. \quad (6)$$

Доказательство. Так как

$$\hat{\Delta}_\lambda(f; x) = \psi(x)[1 - U_\lambda(x)],$$

то в силу (2) имеем

$$\sqrt{2\pi} \|\psi(x)Q_\lambda(x)\| = \frac{\|\Delta_\lambda(f; x)\|_L}{\gamma(\lambda)}, \quad (7)$$

$$\text{где } Q_\lambda(x) = \frac{1 - U_\lambda(x)}{\gamma(\lambda)}.$$

Кроме того, справедливо неравенство

$$\left| \sum_{j=1}^N c_j \psi(x_j) Q_\lambda(x_j) \right| \leq \left\| \sum_{j=1}^N c_j e^{-ix_j t} \right\|_{L^\infty} \cdot \left\| \frac{\Delta_\lambda(f; x)}{\gamma(\lambda)} \right\| \quad (8)$$

при всех комплексных c_1, c_2, \dots, c_N и вещественных x_1, x_2, \dots, x_N ($N = 1, 2, \dots$). Таким образом, в силу (5) из (8) находим

$$\left| \sum_{j=1}^N c_j \psi(x_j) Q_\lambda(x_j) \right| \leq M \left\| \sum_{j=1}^N c_j e^{-ix_j t} \right\|_{L^\infty}, \quad (9)$$

где M —некоторая постоянная. Переидем к пределу в (9) при $\lambda \rightarrow \infty$. Тогда, учитывая (4), имеем

$$\left| \sum_{j=1}^N c_j \psi(x_j) r(x_j) \right| \leq M \left\| \sum_{j=1}^N c_j e^{-ix_j t} \right\|_{L^\infty}, \quad (10)$$

при всех комплексных c_1, \dots, c_N и вещественных x_1, x_2, \dots, x_N ($N = 1, 2, \dots$)

По теореме Бониера—Филлипса [3,4] из (10) следует, что $\psi(x)r(x) \in E_{FS}$.

Теорема 2. Пусть $f \in L(-\infty, \infty)$ и $\frac{Q_\lambda(x)}{r(x)} \in E_{FS}$,

причем $\left\| \frac{Q_\lambda(x)}{r(x)} \right\| \leq M < +\infty$ при всех λ .

Тогда, если выполняется условие (6), то справедливо соотношение (5) при $\lambda \rightarrow \infty$.

Доказательство. Из условия теоремы следует, что справедливо неравенство

$$\left| \sum_{j=1}^N c_j \psi(x_j) r(x_j) \frac{Q_\lambda(x_j)}{r(x_j)} \right| \leq \left\| \sum_{j=1}^N c_j e^{-ix_j t} \frac{Q_\lambda(x_j)}{r(x_j)} \right\|_{L^\infty} \cdot \|\psi(x)r(x)\|_L = M_1 \left\| \sum_{j=1}^N c_j e^{-ix_j t} \frac{Q_\lambda(x_j)}{r(x_j)} \right\|_{L^\infty}, \quad (11)$$

при всех комплексных c_j ($j = \overline{1, N}$) и вещественных x_j ($j = \overline{1, N}$). Аналогично находим:

$$\left\| \sum_{j=1}^N c_j e^{-ix_j t} \frac{Q_\lambda(x_j)}{r(x_j)} \right\| \leq \left\| \sum_{j=1}^N c_j e^{-ix_j(t+V)} \right\|_{L^\infty} \left\| \frac{Q_\lambda(x)}{r(x)} \right\| \leq M \left\| \sum_{j=1}^N c_j e^{-ix_j t} \right\|_{L^\infty}. \quad (12)$$

Следовательно, в силу (11) и (12) имеем

$$\left| \sum_{j=1}^N c_j \psi(x_j) Q_\lambda(x_j) \right| \leq MM_1 \left\| \sum_{j=1}^N c_j e^{-ix_j t} \right\|_{L^\infty}, \quad (13)$$

при всех комплексных c_j ($j = \overline{1, N}$) и вещественных x_j ($j = \overline{1, N}$). По теореме Бониера—Филлипса из (13) находим, что

$$\psi(x)Q_\lambda(x) \in E_{FS} \text{ и } \|\psi(x)Q_\lambda(x)\| \leq MM_1 = M_2 < +\infty$$

при всех λ . Так как

$$\|\psi(x)Q_\lambda(x)\| = \frac{\|\Delta_\lambda(f; x)\|_L}{\sqrt{2\pi}\gamma(\lambda)},$$

то имеем

$$\|\Delta_\lambda(f; x)\|_L \leq \sqrt{2\pi}M_2\gamma(\lambda) = O[\gamma(\lambda)],$$

что и требовалось доказать.

Из теорем 1 и 2 следует

Теорема 3. Пусть $f \in L(-\infty, \infty)$, $\frac{Q_\lambda(x)}{r(x)} \in E_{FS}$, $\left\| \frac{Q_\lambda(x)}{r(x)} \right\| \leq M < +\infty$ и выполняется условие (4). Тогда для того, чтобы имело

место соотношение (5) при $\lambda \rightarrow \infty$, необходимо и достаточно, что-
бы выполнялось условие (6).

Легко доказывается и следующая
Теорема 4. Пусть $f \in L(-\infty, \infty)$ и выполняется условие (4),
причем $r(x) \neq 0$ почти всюду на $(-\infty, \infty)$. Тогда из соотношения

$$\|\Delta_\lambda(f:x)\|_L = o[\gamma(\lambda)]$$

при $\lambda \rightarrow \infty$ следует, что $f(x)=0$ почти всюду на $(-\infty, \infty)$.

Теоремы 3 и 4 определяют класс и порядок насыщения (об этом см. [7]), приближения функций линейными операторами (1) в пространстве $L(-\infty, \infty)$. Именно из указанных теорем следует, что порядок насыщения линейных операторов (1) есть $o[\gamma(\lambda)]$ и класс насыщения состоит из тех функций $f(x)$, для которых удовлетворяется условие (6).

Аналогичные результаты справедливы и при приближении функций линейными операторами (1) в пространстве $L_p(-\infty, \infty)$ ($p > 1$).

Полученные здесь утверждения являются обобщениями соответствующих результатов Суноути [6], Бутцера [5] и автора [7, 8].

ЛИТЕРАТУРА

1. Мамедов Р. Г. О порядке сходимости m -сингулярных интегралов. ДАН Азерб. ССР*, 17, 1951, 1127—1131.
2. Мамедов Р. Г. О порядке сходимости m -сингулярных интегралов в обобщенных точках Лебега и в пространстве $L_p(-\infty, \infty)$. Изв. АН СССР*, серия матем., 27, 1953, 237—304.
3. Воснегер S. A theorem on Fourier-Stieltjes Integrals. Bull. Amer. Math. Soc., 40, 1934, 271—276.
4. Phillips R. S. On Fourier-Stieltjes Integrals. Trans. Amer. Math. Soc., 69, 1950, 312—323.
5. Витцер P. L. Fourier-Transform methods in the theory of approximation. Arch. Rat. Mech. Analysis, 5, 1930, 390—415.
6. Сипонччи G. J. On the class of saturation in the theory of approximation. Токио. Math. Journ., 12, 1960, 339—344.
7. Мамедов Р. Г. Прямые и обратные теоремы теории приближения функций m -сингулярными интегралами. ДАН СССР*, 144, 1962, 272—274.
8. Мамедов Р. Г. Прямые и обратные теоремы теории приближения периодических функций m -сингулярными интегралами. ДАН Азерб. ССР*, 18, 1962, 3—6.

Азербайджанский Политехнический Институт

Р. Н. Мамедов

Функционалының $L(-\infty, \infty)$ фәзасында хәтти операторларла јахынлашмасы мәсэләси нагында

ХУЛАСЭ

Мәгаләдә интегралланан функционалының (1) хәтти интеграл операторлары васитәсилә $L(-\infty, \infty)$ фәзасында јахынлашмасы нагында дүз вә тәрс теоремләр исбат олунур. Алынан иәтичәләр бир сыра мә'лум тәклифләрин үмумиләшмәсидир.

ОРГАНИЧЕСКАЯ ХИМИЯ

Ш. Г. САДЫХОВ, С. Д. МЕХТИЕВ, В. А. СОЛДАТОВА

СИНТЕЗ АЛКИЛ- β -ЦИКЛОГЕКСИЛЭТИЛОВЫХ СПИРТОВ

Имеющийся в литературе материал по вопросу синтеза циклоалкилэтиловых спиртов главным образом относится к получению циклогексилэтилового спирта по Гриньяру [1, 2, 5] и гидрированием фенилэтилового спирта [3, 4]. Из алкилзамещенных производных циклогексилэтилового спирта описаны лишь метилциклогексилэтиловые спирты [6], которые были получены по Гриньяру.

В настоящей статье представляются результаты работы по синтезу ряда алкил- β -циклогексилэтиловых спиртов гидролизом соответствующих ацетатов.

ЭКСПЕРИМЕНТАЛЬНАЯ ЧАСТЬ

Исходным продуктом для синтеза спиртов служили алкилциклогексилэтилацетаты, полученные по методу [7], физико-химические константы которых приводятся в табл. 1.

Реакция проводилась в круглодонной колбе, снабженной термометром, капельной воронкой, обратным холодильником и механической мешалкой. Реакционная колба, содержащая рассчитанное количество спирто-водного раствора едкого калия, нагревалась на водяной бане до 60°C.

По достижении заданной температуры по каплям при интенсивном перемешивании в колбу вводился исходный алкилциклогексилэтилацетат. Во всех случаях продолжительность реакции составляла 6—7 часов. Молярное соотношение ацетата и едкого калия было выбрано 1:1.

По окончании опыта продукты реакции экстрагировали серным эфиром, промывали водой и сушили безводным сульфатом натрия, а затем расфракционировали с выделением соответствующих узких фракций.

В табл. 2 приведены результаты опытов гидролиза ацетатов и физико-химические константы полученных при этом спиртов.

Физико-химические константы ацетатов

Таблица 1

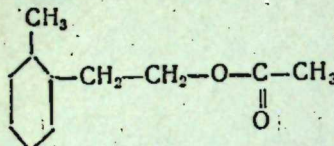
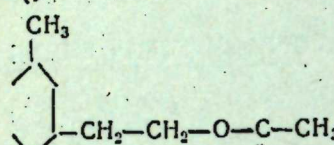
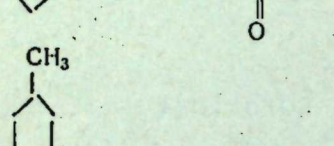
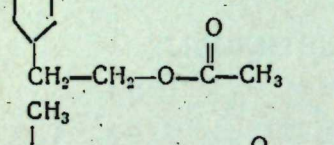
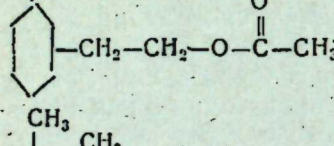
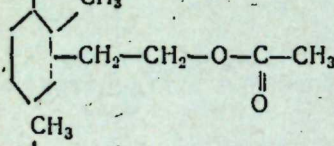
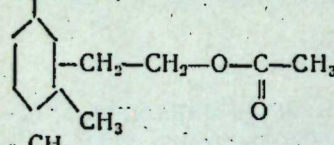
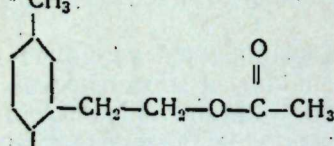
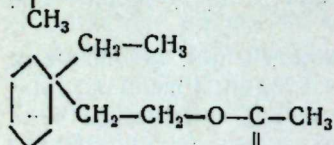
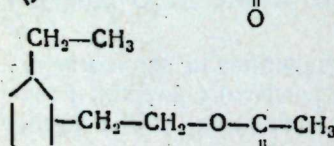
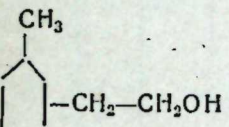
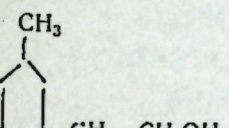
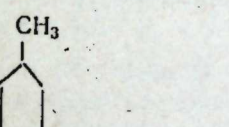
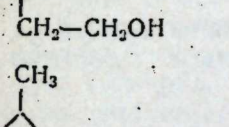
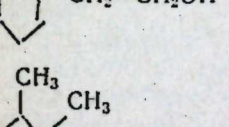
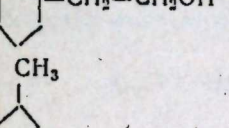
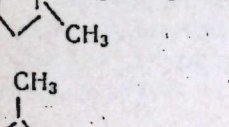
Формула ацетата	Пределы кипения, °С при 10 мм рт. ст.	n_D^{20}	d_4^{20}	Молекулярный вес (найден)
	100—101	1,4538	0,9521	184,2
	101—102	1,4542*	0,9528	183,8
	102—103	1,4556	0,9549	184,3
	100—104	1,4540	0,9506	184,0
	113—114	1,4563	0,9434	196,0
	111—113	1,4530	0,9376	197,0
	116—118	1,4518	0,9367	198,0
	116—119	1,4574	0,9519	195,0
	105—110	1,4590	0,9510	198,2
	123—128	1,4584	0,9374	210,9

Таблица 2

Физико-химические константы алкил- β -циклогексилэтитоловых спиртов

Формулы спиртов	Пределы кипения, °С при 10 мм рт. ст.	d_4^{20}	n_D^{20}	Молек. вес (найден)	MRD		% OH групп		Выход спирта от теории на превращение ацетата, %
					Вычислено	Найдено	Вычислено	Найдено	
	97—99	0,9283	1,4620	140,3	43,087	42,9	11,27	11,6	86,5
	98—102	0,9312	1,4645	141,2	43,087	43,2	11,27	10,95	86,0
	104—106	0,9338	1,4660	142,6	43,087	43,5	11,27	10,9	84,6
	97—102	0,9304	1,4680	143,0	43,087	43,0	11,27	11	81,0
	110—114	0,9170	1,4680	157,1	47,705	47,61	10,9	10,0	78,1
	110—112	0,9130	1,4640	156,3	47,705	47,15	10,9	10,6	80,3
	111—113	0,9150	1,4622	156,8	47,705	47,18	10,9	11	82,1

Окончание таблицы 2

Формулы спиртов	Пределы кипения, °C при 10 мм рт. ст.	d_4^{20}	n_D^{20}	Молек. вес (найден)	MRD		% OH групп		Выход спиртов от теории на превращение ацетата, % весов.
					Вычислено	Найдено	Вычислено	Найдено	
<chem>CH2-CH3</chem> 	115—117	0,9118	1,4730	155,0	47,705	47,75	10,9	10,2	83,0
<chem>CH2-CH2OH</chem>									
<chem>CH2-CH3</chem> 	114—116	0,9278	1,4732	155,4	47,705	47,0	10,9	10,1	84,0
<chem>CH3-CH-CH3</chem> 	117—119	0,9151	1,4694	168,0	52,324	51,9	10,0	9,6	79,0
<chem>-CH2-CH2OH</chem>									

Выводы

1. Синтезированы и впервые охарактеризованы физико-химическими константами семь алкил- β -циклогексиловых спиртов с выходами, достигающими 86,5% от теории.

ЛИТЕРАТУРА

- Егорова В. И. ЖРХО, 43, 1116, 1911.
- Левина Р. Я., Цуриков Ф. Ф. ЖХО, 4, 1250, 1934.
- Розанов Н. А. ЖРФХО, 61, 2309, 1929.
- Топчиев А. В. Мушкина Е. А., Перельман А. Н., Кренцель Б. А. ДАН СССР, 130, 2, 1960.
- G. S. Hiers and Adams Amer. chem Soc 43, 1089, 1926.
- Oveberg C. G. Amer. chem Soc. 81, 17, 1959.
- Топчиев А. В., Мехтиев С. Д., Садыхов Ш. Г., Солдатова В. А. Азерб. хим. журнал, № 1, 1962.

Институт нефтехимических процессов

Поступило 8. I 1965

АЗЭРБАЙЧАН ССР ЕЛМЛЭР АКАДЕМИЯСЫНЫН МЭРҮЗЭЛЭРИ
ДОКЛАДЫ АКАДЕМИИ НАУК АЗЕРБАЙДЖАНСКОЙ ССР

том XXI

№ 8

1965

ФИЗИЧЕСКАЯ ХИМИЯ

З. Г. ЗУЛЬФУГАРОВ, Л. Ш. ЗУЛЬФУГАРОВА, Э. М. ДЖАФАРОВА

ВЛИЯНИЕ ХИМИЧЕСКОГО СОСТАВА НОСИТЕЛЕЙ И РАСТВОРИТЕЛЕЙ НА ОКИСЛИТЕЛЬНО-ВОССТАНОВИТЕЛЬНЫЕ РЕАКЦИИ ХРОМОКИСНЫХ КАТАЛИЗАТОРОВ

(Представлено академиком АН Азербайджанской ССР М. А. Далиным)

Как известно [1, 2], активность хромокисных катализаторов полимеризации проявляется после их активации при высоких температурах кислородом воздуха, полная же потеря активности наступает при превращении шестивалентного хрома в их составе в трехвалентный.

Восстановление шестивалентного хрома в составе катализатора происходит в результате проявления окисляющей способности хромового ангидрида и восстанавливающей способности продуктов реакции и растворителей. Поэтому, определяя кинетику превращения шестивалентного хрома в трехвалентный в составе катализаторов под влиянием растворителей, по-видимому, можно будет судить о стабильности активных хромовых комплексов и стабилизирующей способности носителей [3, 4].

Настоящее исследование посвящено изучению влияния химического состава носителя и катализатора на термическую стабильность и окисляющую способность шестивалентного хрома в различных углеводородных средах и воздухе.

ЭКСПЕРИМЕНТАЛЬНАЯ ЧАСТЬ И ОБСУЖДЕНИЕ ПОЛУЧЕННЫХ РЕЗУЛЬТАТОВ

Определялась окисляющая способность шестивалентного хрома с изменением количества шестивалентного хрома в составе катализаторов до и после воздействия на них различных углеводородов при температуре их кипения.

Влияние pH-среды синтеза магнийсиликатных носителей на окисляющую способность шестивалентного хрома в различных растворителях

Синтезированные при различных значениях pH-среды магнийсиликатные носители делились на две части: в состав первой части носителя вносились 3% Cr_2O_3 , а вторая часть (после внесения Cr_2O_3)

обогащалась шестивалентным хромом. После сушки и прокалки образцы катализаторов подвергались активации кислородом воздуха, а затем подвергались действию растворителей: бензола, бензина, циклогексана и н-гептана. Результаты определений показаны на кривых рис. 1 (а, б), откуда видно, что окисляющая способность шестивалентного хрома зависит от pH-среды синтеза носителя и химической природы углеводородной среды. Наибольший % превращения Cr^{+6} в Cr^{+3} происходит в случае среды н-гептана, наименьший — в среде бензола. Причем наибольшую окисляющую способность шестивалентный хром проявляется в случае нанесения его на магнийсиликатный носитель, синтезированный при низком значении pH-среды синтеза. Аналогичные результаты получены для катализаторов, обогащенных хромовым ангидридом. Таким образом, носитель, синтезированный при кислой среде, обладает более низкой стабилизирующей способностью по отношению к хромовому ангидриду, чем носитель, синтезированный в щелочной среде. Это обстоятельство объясняется, по-видимому, прочностью связи, образованной между поверхностными соединениями носителя и шестивалентным хромом.

Влияние pH-среды синтеза носителя на окисление Cr^{+3} в Cr^{+6} в составе хроммагнийсиликатных катализаторов. Нами изучалось влияние pH-среды синтеза магнийсиликатного носителя на его катализирующую способность Cr^{+3} в Cr^{+6} при активации кислородом воздуха. По мере уменьшения значения pH-среды синтеза носителя его катализирующая способность реакции окисления Cr^{+3} в Cr^{+6} и стабилизирующая способность хромового ангидрида падают. Действие носителя в данном случае можно сравнить с действием H_2O_2 в кислой и щелочной среде [7]. В кислом растворе хром с H_2O_2 восстанавливается, а в щелочном H_2O_2 окисляет Cr^{+3} в Cr^{+6} .

Влияние окисла магния на стабилизирующую способность алюмосиликатного носителя шестивалентного хрома

В наших предыдущих работах [5, 6] было показано, что магнийсиликатные носители обладают более высокой катализирующей способностью превращения Cr^{+3} в Cr^{+6} , чем алюмомагнийсиликатные, в то время как по мере повышения количества Cr^{+6} в магнийсиликате активность падает, а в алюмомагнийсиликате увеличивается. Представляло интерес исследовать влияние окиси магния на стабилизирующую способность алюмосиликатного носителя, для чего мы в состав алюмосиликатного гидрогеля внесли 2,4 и 6% окиси магния и 5% окиси хрома. После сушки и окисления кислородом воздуха образцы подвергались воздействию бензина экстра при температуре его кипения. Превращение Cr^{+6} в Cr^{+3} вначале зависит от содержания на носителе окисла магния, но с увеличением времени контакта эта зависимость исчезает. Причем она аналогична ходу кривых превращения $\text{Cr}^{+6}\text{BCr}^{+3}$ в случае магнийсиликатных носителей (рис. 1). Процент же превращения Cr^{+3} в Cr^{+6} при активации воздухом почти не зависит от содержания MgO на носителе.

Влияние химического состава носителя и количества Cr^{+3} и Cr^{+6} на окислительно-восстановительные реакции

Нами были синтезированы магнийсиликатные и никельсиликатные носители, на которые было нанесено различное количество Cr_2O_3 или хромового ангидрида.

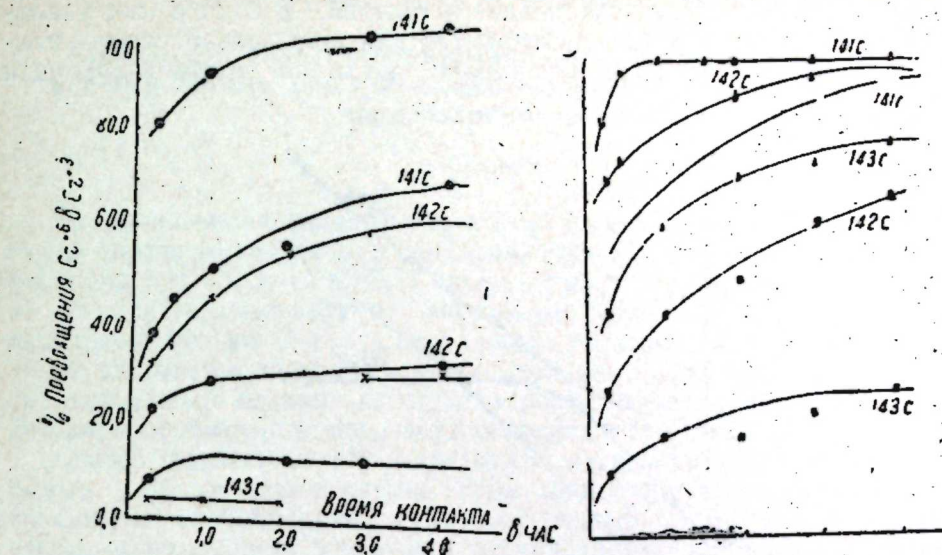


Рис. 1. 141c — Cr^{+3} магний-силикат pH=3; 142c — Cr^{+3} магний-силикат pH=6; 143c — Cr^{+3} магний-силикат pH=9. — бензол; X бензин; ▲ гептан; ■ циклогексан.

Из данных таблицы видно, что никельсиликатные носители обладают несколько большей восстанавливающей способностью по отношению к шестивалентному хруму, чем магнийсиликатные носители. Такой же результат мы наблюдаем и после термической обработки катализаторов, содержащих различные количества Cr_2O_3 и обогащенных Cr_2O_3 , полученных на базе никель-и магнийсиликатных носителей. При этом магнийсиликатные носители обладают большей окисляющей способностью Cr^{+3} , чем никельсиликатные носители.

Носитель	Катализатор, пропитанный Cr_2O_3				Катализатор, пропитанный Cr_2O_3			
	Наименование катализатора	% внесенного Cr^{+3}	Содержание Cr^{+6} после активации	% превращения Cr^{+6} в Cr^{+3}	Наименование катализатора	% внесенного Cr_2O_3	Содержание Cr^{+6} после активации	% превращения Cr^{+6} в Cr^{+3}
Никель-силикат	129A ₁	0,25	0,16	36,0	121—1c	10,0	6,6	48,5
	129A ₂	0,5	0,32	36,0	121—2c	5,0	3,8	57,9
	129A ₃	0,75	0,32	57,4	121—3c	2,5	2,0	58,8
	129A ₄	1,0	0,55	45,0	121—4c	1,0	1,0	61,2
	129A ₅	1,5	0,88	41,3	121—5c	0,5	0,4	50,0
Магний-силикат	128A ₁	0,25	—	—	122—1c	10,0	6,8	49,5
	128A ₂	0,5	0,28	44,0				
	123A ₃	0,75	0,46	38,7				
	128A ₄	1,0	0,67	33,0				
	128A ₅	1,5	1,05	30,0				

Совершенно другая картина наблюдается в случае действия на указанные катализаторы восстановителя бензина экстра. Как видно из кривых рис. 2, стабилизирующая способность в углеводородной среде никельсиликатных носителей Cr^{+6} больше стабилизирующей способности магнийсиликатных носителей. Такое положение наблюдается в том случае, когда хромовые окислы находятся под непосредственным

влиянием поверхностных соединений носителей. В случае же увеличения количества Cr_2O_3 , достаточного для образования слоя, полностью экранирующего поверхность носителя, стабилизирующая

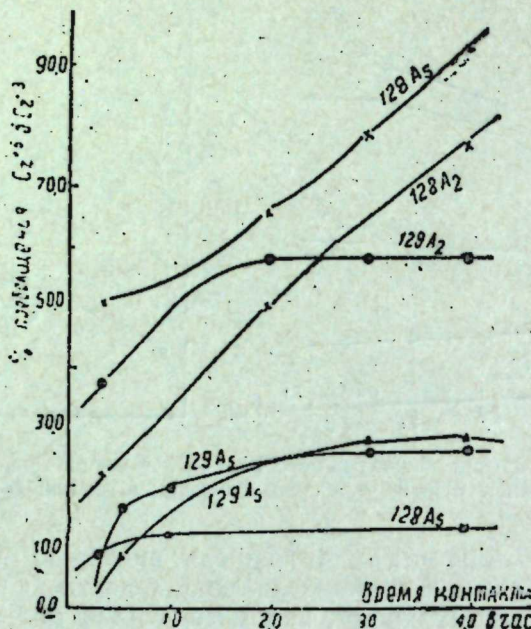


Рис. 2 Ni-силикаты (◎) и Mg-силикаты (×) в бензине. Ni-силикаты (Δ) и Mg-силикаты (■) в бензоле.

способность носителя, как видно, исключается. Сказанное хорошо проследить при превращении Cr^{+6} в Cr^{+3} в бензине на никель- и магнийсиликатных катализаторах, содержащих 10% Cr_2O_3 .

Выводы

В результате исследования влияния pH-среды синтеза магнийсиликатных носителей количество Cr_2O_3 и CrO_3 , внесенных в состав никельсиликатных, магнийсиликатных и Mg-алюмосиликатных носителей на окислительно-восстановительные реакции шестивалентного хрома в средах углеводородов: и. гептана, бензола, бензина и циклогексана, а также воздуха, установлено, что восстанавливаемость шестивалентного хрома зависит как от природы носителей, так и от pH-среды их синтеза.

ЛИТЕРАТУРА

1. Гейлорд Н., Марк Г. Линейные и стереорегулярные полимеры. ИЛ, 1962.
2. Топчиев А. В., Кренцель Б. А., Перельман А. И. Успехи химии, 1957, 26, 1355.
3. Алимарданов Г. И., Агамирзоева З. С., Зульфугаров З. Г. ДАН Азерб. ССР*, 1961, т. XVII, № 11, 1033.
4. Зульфугаров З. Г., Алимарданов Г. И. ДАН Азерб. ССР*, 1963, т. XIX, № 7, 27.
5. Зульфугарова Л. Ш., Ширинова Э. Б., Мурадова С. А., Агдамский Г. А., Зульфугаров З. Г. Азерб. хим. журн., 1961, № 4, 6.
6. Зульфугаров З. Г., Зульфугарова Л. Ш., Мурадова С. А., Ширинова Э. Б., Агдамский Г. А., Алиев А. С. Азерб. хим. журн., 1960, № 2, 7.
7. Пономарев А. Н. Методы химического анализа силикатных и карбонатных горных пород. Изд. АН СССР, М., 1961.

3. Ә. Зұлфұгаров, Л. Ш. Зұлфұгарова, Е. М. Чәфәрова

Хром-оксид катализаторларында оксидләшмә вә редуксија реакцијаларына дашијычыларын вә һәлледичиләрин кимҗәви тәркибләринин тә'сирі

ХУЛАСЭ

Мәгаләдә никел силикат, Mg-алюмосиликат вә мүхтәлиф pH-муни-тинде синтез олунмуш магнезиум силикат дашијычыларының һаванын окискени илә Cr_2O_3 -үн CrO_3 -ә оксидләшмәси реакцијаларының сур'ети-нә тә'сирі өјрәнилмиш вә көстәрилмишdir ки, магнезиум силикат дашијычыларының Cr_2O_3 -үн оксидләшмә реакцијасына тә'сирі никел си-ликат дашијычысының тә'сириндән чох олмасына баҳмајараг, никел силикат дашијычыларының карбоидрокен мүһитиндә CrO_3 -ү стаби-ләшдирмә габилиjjәти магнезиум силикатдан јүксәkdir.

Синтез шәраптиинин pH-ы артдыгча, магнезиум силикат дашијычысының үзәринә чекдүрүлмүш хром анидридинин оксидләшдиричин габилиjjәти карбоидрокен мүһитиндә азалыр. Алюмосиликат дашијычысының тәркибиндә магнезиум оксиди артдыгча, дашијычының хром анидридинин стабилләшдирмә габилиjjәти артыр. Катализаторларын тәркибиндә Cr_2O_3 -үн мигдары артдыгча, дашијычының оксидләшмә вә редуксија реакцијаларында иштиракы мәһдудлашыр.

Катализаторларын тәркибиндәки хром анидридинин редуксијасы: карбоидрокенләрин тәркибиндән асылыдыр. n -нептан ән јүксәк редуксијаетмә габилиjjәтинә маликдир. Бензолун тә'сирі зәйфдир, бензин вә тиклонексан исә орта вәзијјәти тутур.

ФИЗИЧЕСКАЯ ХИМИЯ

А. К. МИСКАРЛИ, В. Я. ЗЕМЛЯНСКАЯ, Т. АГАРУНОВА

**ВЛИЯНИЕ НЕКОТОРЫХ АНИОНГОЕННЫХ
ПОВЕРХНОСТНО-АКТИВНЫХ ВЕЩЕСТВ НА
СТРУКТУРНО-РЕОЛОГИЧЕСКИЕ СВОЙСТВА СУСПЕНЗИЙ
КАОЛИНИТОВОЙ ГЛИНЫ**

(Представлено академиком АН Азербайджанской ССР М. Ф. Нагиевым)

Изучение устойчивости коллоидных систем [1—5] имеет большое значение для объяснения характера протекания многообразных процессов в водных дисперсиях глины.

Цель настоящей работы — изучение влияния солей одно- и двуосновных кислот жирного ряда, входящих в состав многих поверхностно-активных реагентов, применяемых в нефтяном бурении, на коллоидные и структурно-реологические свойства водных дисперсий каолинитовой (Зыхской) глины. На водных растворах солей указанных кислот приготавливались дисперсии глини, в которых определялись прочность структуры — θ_s , на ротационном пластометре (СНС-2), пластическая вязкость — η_{pl} , на пластовискозиметре типа Шведова, динамическое напряжение сдвига θ_d , скорость и объем фильтрующейся жидкости и агрегативная устойчивость систем (в g/cm^3) по суточному отстою. Результаты определения зависимости скорости фильтрации дисперсий каолинитовой глины от концентрации солей исследованных кислот в составе дисперсионной среды показывают, что добавки Na-солей низших гомологов жирного ряда кислот с содержанием атомов углерода от C_2 до C_7 не только не уменьшают объема свободно фильтрующейся жидкости, а, напротив, увеличивают его и тем значительнее, чем выше концентрация соли (рис. 1). Снижение скорости фильтрации наблюдается при действии Na-солей высших гомологов жирных кислот начиная с C_8 и выше. При концентрации Na-пеларгоновой кислоты, равной 1%, величина объема фильтрующейся жидкости снижается от 10 до 5,0 $ml/30\ min$; с увеличением концентрации соли до 1,5% скорость фильтрации достигает первоначальной величины. Кривая зависимости скорости фильтрации системы глина — вода, содержащей добавки Na-соли каприновой кислоты, имеет монотонно убывающий характер.

Добавки Na-стеарата от 0,5 до 1% приводят к уменьшению скорости фильтрации от 10,0 до 2,5 $ml/30\ min$; при дальнейшем увеличе-

нии концентрации соли до 1,5% скорость фильтрации несколько увеличивается. Na-олеат вначале вызывает увеличение скорости фильтрации, затем объем отфильтровывающейся жидкости становится равным 10 $ml/30\ min$.

Введение добавок Na-солей нафтионовой и сульфаниловой кислот сопровождается резким увеличением скорости фильтрации по сравнению с исходной системой (от 10,0 до 25—35 $ml/30\ min$).

Сравнение хода кривых зависимости скорости фильтрации от концентрации Na-солей исследованных кислот показывает, что двуосновные кислоты вообще не снижают скорости фильтрации исходных дисперсий глинистых систем в отличие от соответствующих высших гомологов одноосновных кислот. Например, Na-капронат и Na-пимелинат; Na-пеларгонат и Na-себацинат (рис. 1).

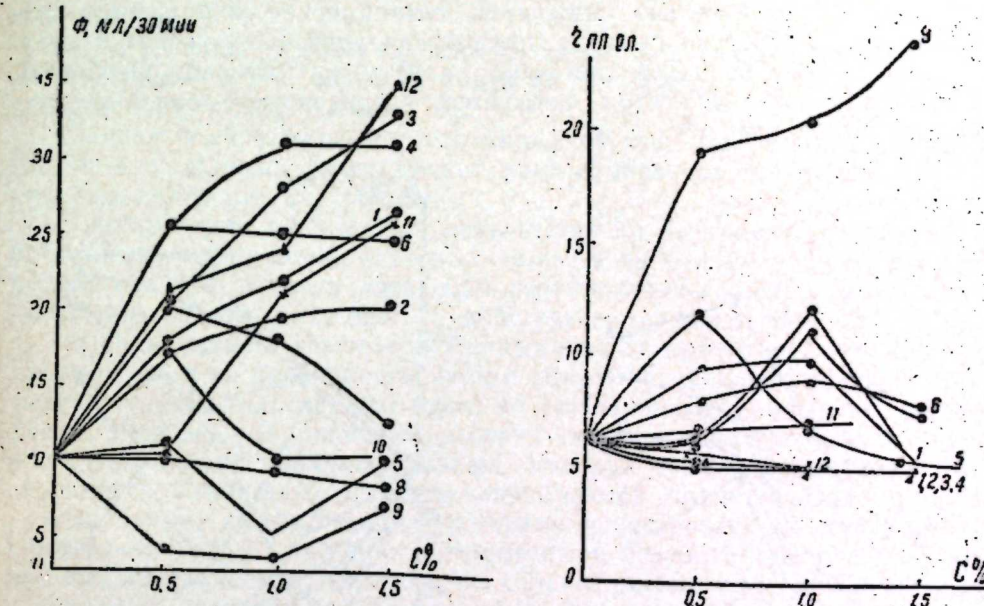


Рис. 1. Зависимость скорости фильтрации 15% об. дисперсий каолинитовой глины от добавок: 1 — CH_3CH_2COONa ; 2 — $NaOOCCH_2CH_2COONa$; 3 — $C_5H_{11}COONa$; 4 — $NaOOC_{C_5H_{10}}COONa$; 5 — $C_8H_{17}COONa$; 6 — $NaOOC_{C_8H_{16}}COONa$; 7 — $C_7H_{15}COONa$; 8 — $C_9H_{19}COONa$; 9 — $C_{11}H_{23}COONa$; 10 — $C_{17}H_{33}COONa$; II — Na-нафтионат; 12 — Na-сульфанилат.

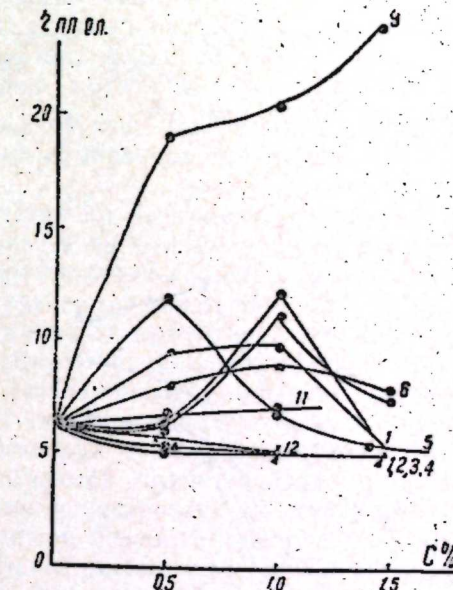


Рис. 2. Влияние добавок:
1 — CH_3CH_2COONa ; 2 — $C_5H_{11}COONa$;
3 — $NaOOCCH_2CH_2COONa$;
4 — $NaOOC_{C_5H_{10}}COONa$;
5 — $C_8H_{17}COONa$;
6 — $NaOOC_{C_8H_{16}}COONa$;
7 — $C_7H_{15}COONa$;
8 — $C_9H_{19}COONa$;
9 — $C_{11}H_{23}COONa$;
II — Na-нафтионат;
III — Na-сульфанилат на величину η_{pl} 15% об. водных дисперсий каолинитовой глины.

Интересно, что агрегативная устойчивость водных дисперсий каолинитовой глины с удлинением углеводородной цепи в молекуле солей кислот, вводимых в состав дисперсионной среды, повышается. Системы, содержащие Na-соли кислот высших гомологов начиная с капроната натрия вообще не имеют отстоя. Na-соли двуосновных кислот, наоборот, снижают агрегативную устойчивость исходных водных дисперсий глины; суточный отстой их повышается от 1 до 13% — происходит расслаивание системы (синерезис). Аналогично ведут себя Na-соли нафтионовой и сульфаниловой кислот.

На рис. 2—4 приведены реологические характеристики водных дисперсий каолинитовой глины, содержащих добавки Na-солей исследованных кислот. Низшие гомологи кислот или почти не изменяют

величины пластической вязкости или незначительно понижают ее (соответствующие низшие гомологи двуосновных кислот (см. на рис. 2).

Na-соли высших гомологов кислот начиная с Na-каприлата приводят к увеличению η_{pl} . Причем кривая зависимости величины пластической вязкости от концентрации соли в составе дисперсионной среды проходит через максимум в точке, соответствующей концентрации, равной 1,0%, затем снижается (см. рис. 2). Исключение представляет Na-стеарат. η_{pl} системы, содержащей добавки этой соли, закономерно возрастает. Для Na-олеата максимум величины η_{pl} перемещается в точку, соответствующую концентрации, равной 0,5%. Na-нафтионат и Na-сульфанилат мало изменяют значение величины пластической вязкости исходной системы.

Прочность структуры систем, содержащих Na-соли низших гомологов кислот, значительно снижается: динамическое напряжение сдвига водных дисперсий глины в присутствии указанных кислот падает (по сравнению с исходной системой) от 40 до 5,0 дин/см². Особенно резко прочность структуры снижается в присутствии солей двуосновных кислот (см. рис. 2, 3).

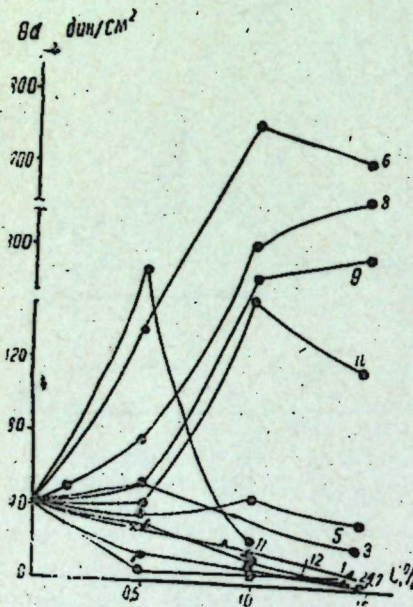


Рис. 3. Зависимость динамического напряжения сдвига 15% об. водных дисперсий каолинитовой глины от добавок: 1— $\text{CH}_3\text{CH}_2\text{COONa}$; 2— $\text{C}_5\text{H}_{11}\text{COONa}$; 3— $\text{NaOOCCH}_2\text{CH}_2\text{COONa}$; 4— $\text{NaOOCCH}_5\text{H}_{10}\text{COONa}$; 5— $\text{C}_7\text{H}_{15}\text{COONa}$; 6— $\text{C}_9\text{H}_{19}\text{COONa}$; 7— $\text{NaOOCCH}_6\text{C}_{16}\text{H}_{33}\text{COONa}$; 8— $\text{C}_9\text{H}_{19}\text{COONa}$; 9— $\text{C}_{17}\text{H}_{35}\text{COONa}$; 10— $\text{C}_{17}\text{H}_{33}\text{COONa}$; 11—Na-нафтионат; 12—Na-сульфанилат.

Прочность структуры исследованных водных дисперсий каолинитовой глины возрастает начиная с добавок Na-соли пеларгоновой кислоты и достигает максимальной величины в точке, соответствующей концентрации, равной 1%, затем изменяется мало (от 40 до 120 дин/см²) (рис. 3). Na-нафтионат вначале способствует упрочнению

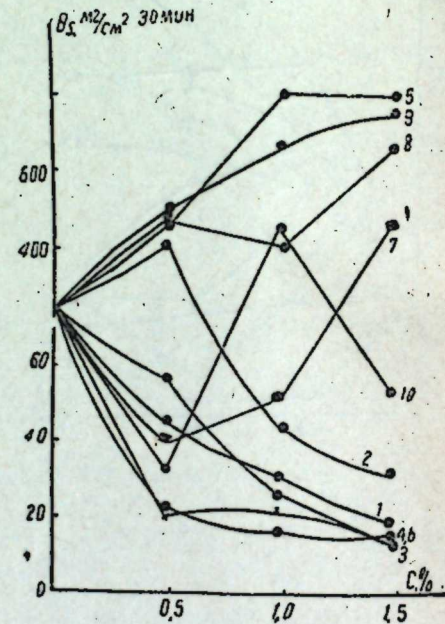


Рис. 4. Зависимость статистического напряжения сдвига 15% об. водных дисперсий каолинитовой глины от добавок: 1— $\text{CH}_3\text{CH}_2\text{COONa}$; 2— $\text{NaOOCCH}_2\text{CH}_2\text{COONa}$; 3— $\text{C}_5\text{H}_{11}\text{COONa}$; 4— $\text{NaOOCCH}_5\text{H}_{10}\text{COONa}$; 5— $\text{C}_7\text{H}_{15}\text{COONa}$; 6— $\text{NaOOCCH}_6\text{C}_{16}\text{H}_{33}\text{COONa}$; 7— $\text{C}_9\text{H}_{19}\text{COONa}$; 8— $\text{C}_9\text{H}_{19}\text{COONa}$; 9— $\text{C}_{17}\text{H}_{35}\text{COONa}$; 10— $\text{C}_{17}\text{H}_{33}\text{COONa}$.

системы, затем прочность последней падает до 20,0 дин/см². Na-сульфанилат и Na- себацинат настолько разжижают исходную систему глина—вода, что при конечной исследованной нами концентрации соли мы имеем бесструктурную систему.

Прочность структуры водных дисперсий, глины содержащих в составе дисперсионной среды добавки Na-стеарата и Na-олеата, ниже, нежели в случае добавок Na-пеларгоната, несмотря на более высокий молекулярный вес последних.

Прочность структуры исследованных систем, замеренная по величине статического напряжения сдвига, подчиняется той же зависимости (рис. 4). Действие Na-солей низших гомологов кислот сопровождается падением прочности от 80 до 20—17 мг/см² за 30 мин, наиболее значительное разжижение вызывает действие Na-солей двуосновных кислот.

Соли высших гомологов кислот имеют максимум прочности при концентрации в 1% затем θ_s почти не изменяется или снижается, за исключением олеата Na (рис. 4).

Прочность структуры исследованных систем, содержащих добавки Na-солей указанных выше кислот мало изменяется во времени, т. е. системы почти нетиксотропны.

Сопоставление полученных результатов по изучению действия анионогенных поверхностно-активных веществ на коллоидные и реологические свойства водных дисперсий каолинитовой глины дает возможность представить механизм их действия следующим образом.

Na-соли низших гомологов жирных кислот, ориентируясь в адсорбционном слое на поверхности частиц глины, разъединяют агрегаты в силу того, что гидрофобная часть их молекул имеет незначительную длину, поэтому не может образовать переплетенный с углеводородными радикалами адсорбированных молекул на соседних глинистых агрегатах. Глинистые агрегаты оказываются соединенными друг с другом только лиофильными участками через тонкие прослойки дисперсионной среды, прочность структуры в результате снижается, величина пластической вязкости несколько уменьшается по сравнению с исходной системой, а объем отфильтровывающейся свободой жидкости резко возрастает вследствие высвобождения значительного количества иммобилизованной воды. Возможность такого объяснения действия Na-солей низших гомологов жирных кислот находит подтверждение в работе по изучению процесса адсорбции их глинами [6]. Изотермы адсорбции, полученные для солей этих кислот, не имеют S-образного изгиба, поэтому обратной ориентации молекул гидрофобными частями и лиофилизации поверхности глины в этом случае быть не может. Причем равновесные концентрации Na-солей низших гомологов жирных кислот измеряются в пределах 1%, т. е. правильной ориентацией в точках критической концентрации солей кислот следует считать вертикальную. С удлинением длины углеводородной цепи кислот оказывается возможным взаимное переплетение гидрофобных частей молекул кислот, адсорбированных на соседних агрегатах глинистых частиц. Возникает сплошной каркас структуры значительной прочности, с одной стороны, образованный гидрофобными, с другой—лиофильными участками поверхности через гидратные прослойки дисперсионной среды [7]. Происходит значительное снижение скорости фильтрации в результате захвата большого количества свободной дисперсионной среды агрегатами структуры.

Некоторое снижение прочности структуры системы глина—вода, а также уменьшение величины пластической вязкости при дальнейшем увеличении концентрации карбоксилатов Na происходит, очевидно,

вследствие блокировки гидрофильных участков структуры. Это в свою очередь приводит к большей плотности упаковки частиц и высвобождению части иммобилизованной воды (рис. 2 и 4). Na-соли двуосновных кислот, имеющие в составе две карбоксильные (одинаковой активности) гидрофильные группы, представляют собой совершенно симметричные соединения, поэтому при адсорбции они ориентируются на поверхности глины обеими группами одновременно. При такой ориентации происходит не только гидрофобизация отдельных участков поверхности глины, но и частичное, а с увеличением концентрации соли — и полное вытеснение дисперсионной среды с гидрофильных участков. Выгнутые наружу гидрофобные части молекул кислот не могут образовать переплетений углеводородными радикалами в объеме структуры, в результате чего происходит плотная упаковка частиц глины посредством контакта частиц друг с другом, т. е. фактически объем дисперсной фазы уменьшается, а это приводит к потере прочности структуры и агрегативной устойчивости системы, в связи с чем резко увеличивается отстой и скорость фильтраций исследованных дисперсий глины (рис. 1, 2, 3).

Особо следует выделить олеат и стеарат натрия, действие которых нельзя отождествлять с другими карбоксилатами натрия. В интервалах исследованных нами концентраций олеат и стеарат натрия образуют растворы мыла. Адсорбция мицелл мыла очень загруженна, поэтому правильнее представить стабилизацию водной системы глины не путем адсорбции мицелл мыла на поверхности глины, а путем распределения частиц глины в структурированных растворах мыла [7, 8] и образования прочной пространственной структуры во всем объеме системы с захватом большого количества дисперсионной среды. Очевидно, по этой причине прочность структуры таких систем ниже, нежели у систем, содержащих добавки, например, Na-пеларгоната (рис. 4, 3).

Действие Na-солей нафтионовой и сульфаниловой кислот можно сравнить с действием Na-солей двуосновных кислот. Ориентация молекул этих кислот происходит гидрофильной группой к поверхности, а гидрофобная часть оказывается направленной в дисперсионную среду. Путем вытеснения дисперсионной среды с гидрофильных участков и непосредственного сцепления частиц гидрофобными поверхностями происходит резкое уменьшение объема дисперсионной фазы, в результате чего наступает потеря прочности структуры и агрегативной устойчивости водных систем каолинитовой глины.

Выводы

1. Исследовано влияние Na-солей гомологического ряда жирных одно- и двуосновных кислот на коллоидные и реологические свойства водных дисперсий каолинитовой (зыхской) глины. Показано, что коллоидные и структурно-реологические свойства водных систем глин зависят от длины углеводородной цепи и строения молекул кислот.

2. Na-соли низших гомологов исследованных кислот не приводят к упрочнению структуры системы глина—вода.

3. Na-соли последующих гомологов, начиная с Na-соли каприловой и пеларгоновой кислот, вызывают повышение агрегативной устойчивости и прочности структуры исследованных систем. На кривых $\theta_s - C$, $\theta_d - C$ и $\eta_{pl} - C$ отмечаются максимумы, соответствующие концентрации солей, равной 1%.

4. Установлено, что Na-соли двуосновных кислот приводят к резкому разжижению водных глинистых систем.

5. Высказано предположение причин различного характера действия Na-солей одноосновных, двуосновных, а также нафтионовой и сульфаниловой кислот.

ЛИТЕРАТУРА

1. Ребиндер П. А., Таубман А. Б. „Коллоид. ж.“, 1961, 23, 359.
2. Дерягин Б. В. „Коллоид. ж.“, 1961, 23, 361.
3. Боларович М. П., Лиштван И. И., Чураев Н. В. „Коллоид. ж.“, 1960, 22, 546.
4. Дзян Лун, Серб—Сербина Н. Н., Ребиндер П. А. „Коллоид. ж.“, 1961, 23, 5.
5. Мискарли А. К., Байрамов А. М. „Коллоид. ж.“, 1963, т. XXV, 3.
6. Абдурагимова Л. А. „Коллоид. ж.“, 1963, т. XXV, 6.
7. Яхнин Е. Д., Таубман А. Б. „Коллоид. ж.“, 1964, XXVI, 126, 1.
8. Белугина Г. Б., Закиева С. Х., Ребиндер П. А., Таубман А. Б. „ДАН СССР“, 1959, 126, 318.
9. Белугина Г. В., Закиева С. Х., Константинов В. В., Ребиндер П. А. „Коллоид. ж.“, 1961, т. XXIII, 658, 6.

Институт неорганической и физической химии

Поступило 4. VII 1964

А. Г. Мискарли, В. І. Землјанскаја, Т. Агарунова

Каолинит кили суспензијасынын структур-реологи хассәләринә анионокен сәтни-актив маддәләрин тә'сири.

ХУЛАСӘ

Мүэллифләр бу мәгаләдә бир вә икиәсаслы үзви туршуларын Na-дузларынын кил суспензијаларынын коллоид вә структур-механики хассәләринә тә'сирини тәсдиг етмишләр.

Тәдгигат нәтиҗәсендә мүэлләр кил суспензијаларынын коллоид кимәлләрдән үзүнлүгүндөн асылы олараг кил мәһлүлларынын коллоид-кимәвни хассәләри әсаслы олараг дәјишиләр. Каприл вә пеларгон туршуларынын Na-дузларындан башлајараг карбоидрокен зәнчиринин артмасы кил системләринин агрегатив давамлылығынын вә структурунун мөһәмләнмәснә сәбәб олур. Бирәсаслы туршулардан фәргли олараг икиәсаслы туршуларын Na-дузлары кил суспензијаларынын өзлүлүјүнү вә структуруну азалдыр вә һәмин мәһлүллары дурулашдырыр.

С. М. КУЛИЕВ, А. А. ИБРАГИМОВ

О ВРЕМЕНИ КОНТАКТА ЗУБА ШАРОШКИ С ПОРОДОЙ ПРИ БУРЕНИИ

Для установления закономерностей разрушения пород шарошечными долотами определение скорости встречи зубьев шарошек с забоем имеет важное теоретическое и практическое значение.

В работе [1] для определения скорости динамического удара зуба шарошки о забой были получены следующие выражения:

$$v_z = -\varphi R \sin \theta \left[\sin \varphi + \sin \left(\frac{2\pi}{z} - \varphi \right) \right] \quad (1)$$

или

$$v_z = \frac{\pi}{15} R K n \sin \theta \sin \frac{\pi}{z}, \quad (2)$$

где φ — угловая скорость вращения шарошки вокруг своей оси;
 n — число оборотов долота в минуту;

R, z — радиус и число зубьев венца;

θ — угол между осями шарошки и долота;

K — передаточное отношение шарошки.

Анализ формулы (2) показывает, что уменьшение числа зубьев z интенсивнее увеличивает величину прямого удара о забой, чем параметры n , R и θ , что имеет немаловажное значение при конструировании долот для пород, склонных к разрушению динамическими ударами.

Следует отметить, что в формуле (2) коэффициент K в общем случае зависит от ряда факторов, в том числе и от конструкции долота, параметров режима бурения, физико-механических свойств породы и т. д. Причем с увеличением величины скольжения шарошки K уменьшается.

Для конической шарошки при отсутствии скольжения значение этого коэффициента может быть определено по формуле (2):

$$K = \frac{\sin(\alpha + \theta)}{\sin \alpha}, \quad (3)$$

где α — половина угла конусности шарошки.

В случае, когда забой под опорным зубом деформирован на некоторую величину δ_t , удоряющий зуб будет встречаться с забоем при определенном значении угла поворота шарошки φ_z .

Значение этого угла может быть определено из рис. 1.

$$\varphi_z = \frac{\pi}{z} - \alpha.$$

Так как

$$\sin \alpha = \frac{\delta_t}{AB} = \frac{\delta_t}{2R \sin \frac{\pi}{z}},$$

$$\text{то } \alpha = \arcsin \frac{\delta_t}{2R \sin \frac{\pi}{z}}.$$

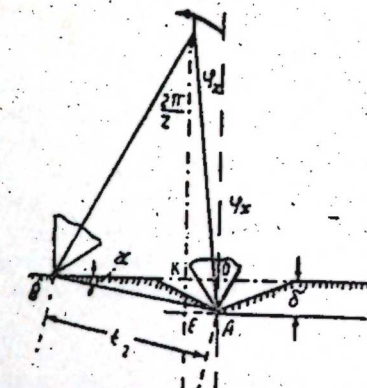


Рис. 1

$$\text{Тогда } \varphi_z = \frac{\pi}{z} - \arcsin \frac{\delta_t}{2R \sin \frac{\pi}{z}}. \quad (4)$$

Если полагать, что в момент встречи последующего зуба с забоем деформация породы под опорным зубом завершена, т. е.

$\frac{d\delta_t}{dt} = 0$, то подстановка (4) в (1) даст:

$$\begin{aligned} v_z &= -\varphi R \sin \left[\sin \left(\frac{\pi}{z} - \arcsin \frac{\delta_t}{2R \sin \frac{\pi}{z}} \right) + \sin \left(\frac{\pi}{z} + \arcsin \frac{\delta_t}{2R \sin \frac{\pi}{z}} \right) \right] = \\ &= -2\varphi R \sin \theta \sin \frac{\pi}{z} \cos \left(\arcsin \frac{\delta_t}{2R \sin \frac{\pi}{z}} \right) = \\ &= -2\varphi R \sin \theta \sin \frac{\pi}{z} \sqrt{1 - \left(\frac{\delta_t}{2R \sin \frac{\pi}{z}} \right)^2} \end{aligned}$$

Если угловую скорость вращения шарошки φ связать с угловой скоростью вращения долота ψ через коэффициент K , имея в виду, что $\psi = \frac{\pi n}{30}$, можно получить следующее окончательное выражение:

$$v_z = -\frac{\pi n}{30} K \sin \sqrt{4R^2 \sin^2 \frac{\pi}{z} - \delta_t^2}. \quad (5)$$

В случае многовенечности и смежности зубьев шарошки значения R и z следует определять по В. С. Федорову [3].

Р. М. Эйгелес математическим путем установил [4], что минимальное время контакта зубьев долота с породой при хрупком разрушении может быть выражено:

$$\tau = \frac{P_1}{v_0 K f}. \quad (6)$$

Если учесть жесткость инструмента, то

$$\tau = \frac{P_1 \left[1 + \frac{K_1 f}{c} \right]}{v_0 K_1 f}, \quad (7)$$

где P_1 — разрушающая сила первого скачка;

K_1 — коэффициент, характеризующий упругие свойства породы;

f — площадь контактной поверхности зуба;

v_0 — скорость встречи зуба с породой, т. е. $v_0 = v_z$;

c — сила, которую необходимо приложить для сжатия упругого элемента единицы длины.

Если время взаимодействия зуба шарошки с забоем (t_k) связать с передаточным отношением шарошки (k), то

$$t_k = \frac{60}{znK} = \frac{60 \sin \alpha}{zn \sin(\alpha + \theta)}. \quad (8)$$

Следует отметить, что для эффективного разрушения породы шарошечными долотами время действия зуба шарошки должно удовлетворять условию $\tau < t_k$.

Приравнивая правые части формул (7) и (8), можно определить число зубьев z шарошки, при котором разрушение породы будет происходить в основном динамическими ударами

$$\frac{P_1 \left(1 + \frac{K_1 f}{c} \right)}{v_z K_1 f} = \frac{60 \sin \alpha}{zn \sin(\alpha + \theta)},$$

откуда

$$z = \frac{60 v_z K_1 f \sin \alpha}{P_1 n \left(1 + \frac{K_1 f}{c} \right) \sin(\alpha + \theta)}. \quad (9)$$

Анализ выражения (9) показывает, что уменьшение числа зубьев z приводит к пропорциональному увеличению t_k за счет увеличения скорости встречи зуба с забоем v_z .

Рассмотрим на конкретном примере, как изменяется t_k в зависимости от работы различных типоразмеров турбобуров и долот.

Для этого возьмем следующие примеры:

1. Турбобуры T12M3-10", TC4-10", долото 1B12ML.
2. Турбобуры T12M3-9", TC4-9", долото 3B11ML.
3. Турбобуры T12M3-8, TC4-8", долото 1B10ML.

Числа оборотов турбобура [5] и необходимые для работы характеристики трехшарошечных долот приведены в табл. 1 и 2 [6].

Подставляя в формулу (8) соответствующие значения из табл. 1 и 2, получим время действия зуба шарошки на забой, которые приведены в табл. 3. Из табл. 3 видно, что при одинаковых n время действия зуба шарошки на забой в зависимости от z различно. Чтобы объяснить это явление на основе полученных данных, построены кривые зависимости $t_k(z)$ при различных числах оборотов долота (рис. 2). Из графиков зависимости t_k от z нетрудно установить следующее. Во-первых, при одинаковых числах оборотов долота время взаимодействия зуба шарошки с забоем можно увеличить за счет уменьшения числа зубьев венца. Во-вторых, с уменьшением зубьев z шарошки разрушения приобретают ударный характер. Следовательно, различие в характере зависимости t_k от z для долот указанных типов при указан-

Таблица 1

Тип турбобура	Расход промыв. жидкости, л/сек	Число оборотов турбобура в минуту	Тип долота	Диаметр, мм		Число зубьев шарошки		
				долота	шарошки	I	II	III
T12M3-10"	42	550	1B12ML	295	190	48	64	58
	60	730						
TC4-10"	40	490	3B11ML	269	170	53	37	42
	45	550						
T12M3-9"	45	590	1B10ML	243	155	48	38	42
	55	770						
TC4-9"	35	492	1B10ML	243	155	48	38	42
	40	560						
T12M3-8"	38	615	1B10ML	243	155	48	38	42
	48	775						
TC4-8"	30	485	1B10ML	243	155	48	38	42
	35	565						

Таблица 2

Тип долота	α	0			
			1B12ML	3B11ML	1B10ML
			45°	57°30'	
			45°	57°30'	
			45°	55°	

Таблица 3

Тип долота	Число оборотов в минуту		Время взаимодействия зуба шарошки на забой, сек		
	долота	шарошки	I	II	III
1B12ML	550	757	0,0016	0,0012	0,0013
	730	1007	0,0012	0,0010	0,0011
	490	675	0,0018	0,0013	0,0015
	550	757	0,0017	0,0012	0,0013
3B11ML	590	815	0,0013	0,0019	0,0017
	770	1063	0,0010	0,0015	0,0013
	492	680	0,0016	0,0023	0,0021
	560	774	0,0014	0,0021	0,0018
1B10ML	615	857	0,0015	0,0018	0,0017
	775	1077	0,0012	0,0015	0,0013
	485	673	0,0019	0,0023	0,0021
	565	786	0,0016	0,0020	0,0018

ных числах оборотов обусловлено разницей величин динамических усилий при действии зубьев шарошек на породу. Производственные и экспериментальные данные подтверждают сказанное. Так, например, при испытании долот типа 3B11ML и 3B11C на площади "Ширванбурнефть" было установлено, что во всех случаях углубления долота за один оборот механическая скорость проходки оказалась большей у долота, имеющего меньшее число зубьев [7].

Причина этого явления заключается в том, что при бурении долотом ЗБ11С, обладающим меньшей динамичностью работы, прироста энергии удара зуба о породу за счет повышения n недостаточно, т. е. уменьшение t_k не компенсируется приростом энергии динамического удара. В то время при работе долотом ЗБ11МЛ, имеющим большую динамичность, уменьшение t_k при увеличении n компенсируется усилениями динамического воздействия вооружения шарошек, и эффект разрушения повышается. Таким образом, причина повышения глубины внедрения с уменьшением числа зубьев шарошек заключается в том, что время контакта и кинетическая энергия последнего интенсивно возрастают, что приводит к более рациональной реализации расходуемой энергии на разрушение.

Рис. 2.

Необходимо отметить, что величины P_1 и K_1 , входящие в формулу (9), легко могут быть определены для различных пород экспериментальным путем. Величина скорости v_z , характеризующей процесс динамического внедрения зуба, может быть определена из формулы (2).

Формулы (2) и (9) могут быть использованы при конструировании вооружения шарошечных долот.

Повышение эффективности разрушения упруго-хрупких пород в результате динамических ударов подтверждается также работами других исследователей [8,9,10,11,12].

ЛИТЕРАТУРА

1. Абдулзаде А. М., Ибрагимов А. А. О скорости динамического удара зуба шарошечных долот на забой. АНХ, 2, 1963.
2. Кулев С. М., Абдулзаде А. М., Ибрагимов А. А. О влиянии параметров режима бурения на механическую скорость проходки. Изв. АН Азерб. ССР*, серия геол.-геогр. наук и нефти, № 4, 1963.
3. Федоров В. С. Проектирование режимов бурения. Гостоптехиздат, 1958.
4. Эйгелес Р. М. О некоторых закономерностях динамического внедрения долота в породу. НХ, № 8, 1956.
5. Кирия Т. А. Теория и практика бурения секционными турбобурами. Азернефтешр, Баку, 1958.
6. Корнеев К. Е., Палий П. А. Буровые долота. Гостоптехиздат, 1958.
7. Ибрагимов А. А. О влиянии конструкции долота на процесс разрушения забоя. АНХ, № 9, 1963.
8. Варламов П. С. О механизме разрушения горных пород трехшарошечными долотами. НХ, № 8, 1961.
9. Бадалов Р. А. Вопросы динамического взаимодействия долота с породой. «Нефть и газ», № 5, 1961.
10. Бицута В. К. К вопросу о динамическом взаимодействии с горной породой. «Нефть и газ», 2, 1959.
11. Владиславлев В. С. Разрушение пород при бурении скважин. Гостоптехиздат, 1958.
12. Потапов Ю. В., Симонов В. В. Разрушение горных пород трехшарошечными долотами малого диаметра. Гостоптехиздат 1961.

Институт проблем глубинных нефтегазовых месторождений

Поступило 22. V 1964

С. М. Гулиев, Э. А. Ибраимов

Газымада шарошка дишинин сүхурла тәмас мүддәти барәсиндә

ХУЛАСӘ

Мәгаләдә сүхурларын үчшарошканы балта илә дағыдылмасы заманы шарошка дишиләринин сүхурла тәмас мүддәти мәсәләсинә баҳылышы. Көстәрилир ки, шарошка дишиләри сајынын азалдылмасы тәмас мүддәтинин вә набелә зәрбә гүввәсиинин артмасына сәбәб олур. Бундан әlavә, мәгаләдә балта дишиләринин азалдылмасы онун мұхтәлиф дәвәрләр сајында тәмас мүддәтинә тә'сири характери дә изән едилир.

Н. А. ТРИВУС, М. А. ШИХАЛИЕВА

МЕТОДИКА СОСТАВЛЕНИЯ ИСКУССТВЕННОЙ ПРОБЫ СТАБИЛЬНОЙ ФРАКЦИИ ПЛАСТОВОГО КОНДЕНСАТА

(Представлено академиком АН Азербайджанской ССР А. А. Ализаде)

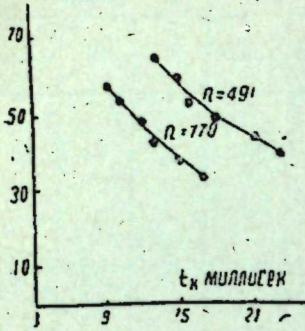
После длительной разработки вопроса об истощении газоконденсатного месторождения возникнет ряд новых вопросов, связанных с выбором метода дальнейшей его эксплуатации. К этим вопросам относятся: исследование процесса нормального испарения пластового конденсата, позволяющее определить, какое количество конденсата и какого состава можно еще извлечь из залежи при дальнейшей ее разработке на истощение, определение эффективности извлечения пластового конденсата на поверхность при применении различных методов воздействия на залежь и др.

Для проведения всех этих исследований необходимо располагать пробой пластового конденсата, находящегося в данный момент в залежи. Однако такую пробу отобрать нет возможности, так как на поверхность извлекается лишь конденсат, содержащийся в газовой фазе залежи. Поэтому возникла необходимость в новом методе рекомбинирования.

В основе разработанного нами метода лежат следующие положения.

Известно, что при снижении давления в многокомпонентной системе ниже давления начала конденсации происходит перераспределение компонентов между жидкой и газовой фазами таким образом, что газовая фаза обедняется тяжелыми компонентами, а жидкая, наоборот, ими обогащается. Однако, вследствие того, что любая жидкость является в той или иной степени летучей, в газовой фазе должны непременно содержаться пары всех компонентов жидкой смеси.

Следовательно, все компоненты исходной системы, находящейся перед снижением давления в однофазном газовом состоянии, должны содержаться как в газовой, так и в жидкой фазах. Если при этом происходит при постоянном объеме системы постепенный выпуск газовой фазы, аналогичный процессу разработки залежи на истощение, то в этом случае при непрерывном изменении состава системы в сторону уменьшения содержания в ней высокомолекулярных угле-



водородов в состав оставшейся системы входят те же углеводороды, что и в исходную начальную систему.

Исходя из изложенного, мы считаем, что различие между добываемой, исходной и пластовой системами заключается только в относительных количествах отдельных компонентов.

Так как не представляется возможным определить концентрацию отдельных компонентов в указанных системах, нами были использованы некоторые упрощения.

Пластовая система рассматривалась состоящей из трех основных составляющих: 1) сепарированного газа, 2) растворенного в конденсате газа (при условиях сепарации 40 атм, 20°C) и 3) стабильной фракции конденсата. Соотношение между этими составляющими известно.

Многолетние наблюдения показали, что составы сепарированного газа и газа, растворенного в конденсате (40 атм и 20°C), практически остаются неизменными.

Что касается стабильной фракции конденсата, то ее состав в процессе разработки месторождения сильно меняется за счет изменения в соотношении между отдельными углеводородами, образующими начальную систему. Эти углеводороды были нами сгруппированы в четыре широкие фракции, выкипающие в пределах: НК-175° (бензин), 175-220° (лигроин), 220-300° (керосин) и 300° (остаток).

Допустимость подобной группировки углеводородов, образующих конденсат, была подтверждена данными по удельным весам широких фракций.

Как показали многочисленные анализы, удельные веса отдельных фракций, полученных из конденсатов в различные периоды разработки одного и того же месторождения, колеблются в очень небольших пределах. Отсюда следует, что широкие фракции—бензин, лигроин, керосин и остаток—имеют практически неизменный состав для конденсатов одного и того же месторождения.

Экспериментальная проверка нашего заключения о том, что из широких фракций конденсата можно путем их смешения в определенном соотношении получить необходимую пробу стабильного конденсата, заключалась в следующем.

Стабильный конденсат, добытый из скв. 258 VII горизонта Карадага, был разогнан на аппарате Гадаскина на широкие фракции. Из этих фракций путем их смешения в объемных соотношениях, равных фактическим для конденсатов, добытых из VII и VIII горизонтов месторождения Карадаг в различные периоды их разработки, были составлены девять рекомбинированных искусственных проб.

Анализ этих проб показал, что их свойства, (температура начала и конца кипения, молекулярный и удельный веса) почти полностью совпадали с соответствующими свойствами добытого стабильного конденсата.

Удовлетворительное совпадение в значениях физико-химических свойств стабильной фракции различных конденсатов и их искусственных проб свидетельствует о правильности предложенного метода составления искусственных проб путем смешения в известных соотношениях широких фракций стабильного конденсата данного месторождения.

Этот метод составления искусственной пробы стабильной фракции конденсата в сочетании с расчетным методом вычисления ее физико-химических свойств [1] был нами использован для составления искусственной пробы стабильной фракции пластового конденсата VII горизонта месторождения Карадаг.

Расчетом, произведенным по методу, разработанному Тривус [1], определялись молекулярный и удельный веса стабильной фракции пластового конденсата, а также процентное содержание в ней бензина, лигроина, керосина и остатка.

Молекулярный вес стабильной фракции пластового конденсата вычисляется по уравнению (1):

$$\mu_n = \frac{x_n}{1 - \sum x_d}, \quad (1)$$

где μ_n , μ_d и x_d —молекулярные веса стабильной фракции текущего пластового конденсата, первоначального и добываемого по годам; x_n и x_d —весовые доли пластового и добываемого в различные годы конденсата по отношению к его начальным запасам ($x_n + \sum x_d = 1$).

Процентное содержание бензина в стабильной фракции пластового конденсата вычисляется по уравнению (2):

$$r_n^1 = \frac{r_n^1}{\gamma_n} - \sum x_d \frac{r_d^1}{\gamma_d} \gamma_n, \quad (2)$$

где r_n^1 , r_d^1 и r_d^1 —объемные доли бензина в стабильной фракции текущего пластового конденсата, начального и добываемого по годам; γ_n , γ_d и γ_n —удельные веса стабильной фракции соответствующих конденсатов.

Процентное содержание в стабильной фракции пластового конденсата лигроина, керосина и остатка вычисляется по уравнениям, аналогичным уравнению (2), с той разницей, что в них вместо объемных долей бензина записываются соответствующие объемные доли лигроина, керосина или остатка.

Удельный вес стабильной фракции пластового конденсата определяется по графику, на котором представлена зависимость между удельным и молекулярными весами стабильных конденсатов данного месторождения.

Необходимые для расчета данные о начальных запасах конденсата, о количествах добываемого конденсата по годам, а также о среднегодовых значениях эксплуатационного газового фактора взяты из книги А. Г. Дурмишьяна [2] и из промысловой документации. Физико-химические свойства соответствующих стабильных конденсатов заимствованы из статьи [3].

По этим данным и уравнениям (1) и (2) были вычислены для пластового конденсата, находящегося в залежи VII горизонта месторождения Карадаг, в январе 1960, 1961, 1962 и 1963 гг. молекулярные и удельные веса его стабильной фракции и объемные доли в ней бензина, лигроина, керосина и остатка и записаны в таблицу.

Искусственные пробы стабильной фракции этих пластовых конденсатов были составлены путем смешения в расчетных объемных соотношениях бензина, лигроина, керосина и остатка, полученных при разгонке стабильного конденсата, добываемого в 1963 г. из скв. 258.

Определенные экспериментальным путем молекулярные и удельные веса, а также температура начала и конца кипения искусственных проб почти полностью совпадали с их расчетными значениями.

При любых способах рекомбинирования делаются определенные допущения, снижающие качество полученных проб, в связи с чем

надежность и доброкачественность способа могут быть оценены лишь экспериментально.

Поэтому получение нами удовлетворительное совпадение в опытных и расчетных значениях свойств рекомбинированных проб дает основание рекомендовать описанный в статье метод для составления рекомбинированных проб стабильной фракции пластового конденсата.

Годы	Газовый фактор, м ³ /т	Удельный вес, г/см ³	Молекулярный вес	Содержание фракций в объем. %			
				Бензин	Лигроин	Керосин	Остаток
1955	5 350	0,779	141	51	17	22	10
1956	6 010	0,773	136	56	17	19	8
1957	6 600	0,768	132	58	17	18	7
1958	7 220	0,763	126	62	16	16	6
1959	9 580	0,755	122	72	15	10,5	2,5
1960	13 560	0,751	116	78	13,5	7,0	1,5
1961	18 500	0,749	114	81,5	13,0	4,5	1,0
1962	25 000	0,746	111	83,5	12,5	4,0	—
Вычисленные свойства пластового конденсата							
1.1960	4700	0,783	146	47,5	17,4	24,6	10,5
1.1961	4180	0,785	148	46,1	17,6	25,3	11,0
1.1962	3540	0,788	150	44,5	18,0	26,0	11,5
1.1963	2810	0,790	152	43,0	18,0	27,0	12,0

ЛИТЕРАТУРА

1. Тривус Н. А. Научно-технический сборник по добыче нефти, вып. 26, Гостоптехиздат, 1964. 2. Дурмишья А. Г. Вопросы геологии, разведки и разработки газоконденсатного месторождения Карадаг, Азернефтешр, 1960. 3. Тривус Н. А., Садых-заде Э. С. Газовое дело, № 9, 1963.

АЗНИИ по добыче нефти

Поступило 17. XI 1964

Н. А. Тривус, М. Э. Шыхэлијева

Лај конденсат стабил фраксијасының сүни нұмунасынин тәжінолунма үсулу

ХУЛАСӘ

Бөлік наслатла ишләдилмиш лајларда лај системиниң хұсусијеттеринің чыхарылыш лај мәндеруна көрә тәжін етмәк дүзкүн деійдір.

Газ-конденсат жатаглары узун мүддәт ишләдикдән соң оның көләчәк истисмары үчүн мейдана чыхан чәтиңликләрдән бири дә лај конденсатының нормал бүхарлау ма просесине аиддир. Бу просеси өткөннөң үчүн мүтләг лај шәралитиндәкі конденсаты әлдә етмәк лазымыры. Бу исә мұмкүн олмадығынан мұәзлиффер тәрәфиндән сүниң сурәтдә лај конденсатының дүзәлтмәк үчүн хұсуси рекомбинация олунады. Бу үсул насыл олунан конденсатын кениш фраксијаларын қарастыру көзінде олунады.

Мәгеләдә тәклиф олунмуш үсулун нәзәри, әсаслары вә тәчрубы жохланмасы верилмешdir. Мұғалайсә жаңы нәтижә вердијиндән, рекомбинация үсулу тәддигат ишләріндә кениш истифада олуда биләр.

А. И. КАЛАНТАРОВ, Д. Ш. ВЕЗИРОВ

О ВЛИЯНИИ ЛИТОЛОГИЧЕСКОГО СОСТАВА ПОРОД-КОЛЛЕКТОРОВ НА НЕФТЕОТДАЧУ

(Представлено академиком АН Азербайджанской ССР [М. А. Абрамовичем])

В предлагаемой статье рассматривается влияние литологического состава пород на величину конечной нефтеотдачи и сравнение результатов промысловых и экспериментальных исследований.

В качестве исследуемых объектов выбраны ПК свита площади Чахнагляр, НКП-площади Бибиэйтат и КС-площади Бузовны Апшеронского полуострова.

Сравнение геолого-эксплуатационных характеристик рассматриваемых залежей показывает близость всех основных показателей, определяющих их нефтеотдачу. Однако, вязкости нефти этих залежей, измеренные в поверхностных условиях, резко отличаются по своей величине. В пластовых условиях при высокой температуре (температура в рассматриваемых залежах выше 50° С) и наличии растворенного в нефти газа, происходит выравнивание величин вязкостей нефти. Построенные зависимости вязкости соответствующих нефти от температуры показывают, что примерно при температуре 60° С их вязкости одинаковы.

Сравнение коллекторских свойств показывает, что пористость пород, слагающих эти свиты, почти одинакова. Проницаемости, измеренные непосредственно по кернам, немногим отличаются друг от друга и колеблются в пределах 177—260 мдарси. По классификации А. Г. Алиева, Г. А. Ахмедова [3], породы относятся к среднепроницаемым.

Несмотря на такую близость коллекторских свойств пород, характеристики нефти, вод и газов, а также режима эксплуатации залежей, расчетные конечные коэффициенты нефтеотдачи свит ПК, КС и НКП резко различаются. Проектируемая конечная нефтеотдача этих свит колеблется в пределах от 0,82 до 0,35. Такая разница в нефтеотдаче указанных залежей при сравнительной близости основных показателей, по-видимому, обусловливается литологическими особенностями и минералогическим составом пород исследуемых свит. В ряде работ [1, 2, 4] исследовалась зависимость нефтеотдачи от литологии и минералогического состава пород. Однако экспериментальные исследования проводились на пористых средах, по своей литологии не соответствующих исследуемым залежкам.

Для исследования влияния литологического состава пород на нефтеотдачу, была проведена серия экспериментов в условиях, сравнительно близких к естественным, т. е. к условиям, существующим в свитах ПК, КС и НКП исследуемых площадей. Из комплекса литофизических факторов, определяющих величину конечного коэффициента нефтеотдачи залежей, в проведенных экспериментах изменялись песчанистость (фракции $>0,1$ мм), глинистость (фракции $<0,01$ мм), средневзвешенный диаметр зерен, а также минералогический состав пород.

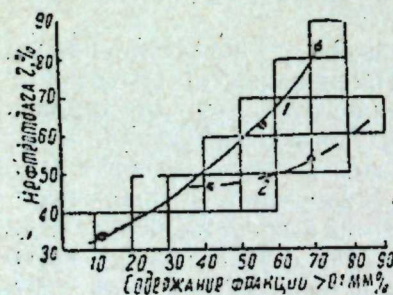
Эксперименты проводились на насыпных моделях естественных пород, составленных из различных по литологическому составу образцов, отобранных из поверхностных обнажений ПК, КС и НКП свит в Кирмакинской долине. Указанные породы по своей литологической характеристике соответствуют характеристике ПК свиты площади Чахнагляр, КС-площади Бузовны и НКП-площади Бибиэйбат.

Моделью нефти служила нефть вязкостью 146 спуз и плотностью 0,917 г/см³, отобранная из КС-площади Бузовны. В качестве вытесняющей фазы и для создания связанной воды использована морская вода.

Свиты, использо- ванные в эксперименте	Гранулометрический состав фракции, % мм				Средневзвешен- ный диаметр зерен, мм	Пористость, %	Проницаемость по воздуху, дБары	Нефтеотдача
	>0,25	0,25–0,1	0,1–0,01	<0,01				
ПК	24,4	58,5	9,4	7,7	0,171	32,6	3,323	62,5
ПК	22,0	57,6	11,5	8,9	0,174	34,0	3,583	59,5
КС	0,2	39,4	40,2	20,2	0,092	38,4	0,606	47,2
КС	0,2	39,7	41,5	18,6	0,091	38,8	0,586	49,4
НКП	0,1	66,4	19,7	13,8	0,128	36,4	1,970	54,3
НКП	0,2	67,3	19,7	12,8	0,131	36,4	1,798	55,9

Было проведено три пары опытов, результаты которых приведены в таблице и на рисунке. Условия каждой пары опытов находятся в пределах изменений литологического состава реальных свит ПК-, КС- и НКП-площадей Чахнагляр, Бузовны и Бибиэйбат соответственно.

На рисунке показана зависимость конечных коэффициентов нефтеотдачи свит ПК, КС и НКП, подсчитанных по предварительным данным эксплуатации исследуемых залежей, от литологического состава пород (кривая 1). Кривая 2 отражает результаты экспериментов. Общий качественный характер этих кривых совпадает, т. е. с увеличением песчанистости конечный коэффициент нефтеотдачи залежей возрастает и, наоборот, с увеличением фракций меньше 0,01 мм конечный коэффициент нефтеотдачи резко падает. Экспериментальная же кривая проходит более полого, т. е. в условиях опытов влияние литологического состава пород на конечный коэффициент нефтеотдачи проявляется в менее выраженной форме. Следует отметить, что проведенный в последнее время анализ разработки исследуемых свит показал, что для свиты ПК-площади Чахнагляр конечный коэффициент нефтеотдачи был вначале взят несколько завышенным, а для КС-площади



был вначале взят несколько завышенным, а для КС-площади

Бузовны — заниженным. Для НКП свиты площасти Бибиэйбат величина коэффициента нефтеотдачи остается примерно на том же уровне. При учете этих поправок кривая, построенная по предварительным промысловым данным, располагается почти параллельно экспериментальной кривой. Таким образом, существует качественное соответствие между кривой нефтеотдачи исследуемых реальных залежей и их экспериментальных моделей. Полученные результаты количественно не характеризуют конечную нефтеотдачу указанных залежей нефти. Для количественной оценки нефтеотдачи этих свит следует воссоздать все основные условия вытеснения нефти из них, используя теорию подобия и размерностей. Однако полученные результаты дают возможность качественно охарактеризовать подобную зависимость и объяснить изменение нефтеотдачи в зависимости от литологического состава пород.

С увеличением песчанистости пород, как в рассматриваемых залежах нефти, так и в экспериментальных моделях, увеличивается количество кварцевого песка, возрастает средневзвешенный диаметр зерен и улучшаются коллекторские свойства. Вытеснение нефти из таких пород происходит в более благоприятных условиях, что приводит к эффективному извлечению запасов нефти. В коллекторах, где преобладающее значение имеют фракции меньше 0,01 мм, увеличивается процент глин, уменьшается средневзвешенный диаметр зерен, увеличивается удельная поверхность и ухудшаются коллекторские свойства пород. Это приводит к уменьшению конечного коэффициента их нефтеотдачи.

ЛИТЕРАТУРА

- Абдуллаева А. А., Таиров Н. Д. АНХ, 12, 1959.
- Авдусин П. П. Батурина В. П. Труды АзНИИ, Баку, 1930.
- Алиев А. Г., Ахмедов Г. А. Коллекции нефти и газа мезозойских и третичных отложений Азербайджана. Азнефтепиздат, 1956.
- Рзабеков З. Ф., Мелик-Асланов Л. С., Аванесов В. Т. Труды ВНИИ, вып. XXIV, 1951.

Институт проблем глубинных нефтегазовых месторождений

Поступило 15. X 1964

А. И. Кәләнтаров, Д. Ш. Вәзиров

Коллектор-сүхурларын литоложи тәркибинин нефтвермә әмсалына тә'сири һагында

ХУЛАСӘ

Коллектор-сүхурларын мәсамәләриндә јөрләшмиш мајенин физики-кимәви хүсусијәтләри илә бәрабәр, лајы тәшкىл едән сүхурларын литоложи хүсусијәтләрини дә коллектор-сүхурларын нефтвермә әмсалына тә'сири мүшәнидә едилемишdir.

Гејд олунмуш тә'сири тәдгиг етмәк учун Чахнаглар саһәсиндә КАЛД, Бузовна саһәсиндә КҮЛД вә Бибиәйбәт саһәсиндә КҮГЛД кими уч ятаг көтүрүлмүшдүр.

Бу ятагларын кеоложи-истисмар шәрәнтинин өјрәнилмәси көстәрир ки, бүнларын ятам дәрилиji, нефтин физики-кимәви хүсусијәтләри, режим вә башга әламәтләри тәхминән еңидир.

Литоложи хүсусијәтләринин мүхтәлифлili илә фәргләнән бу ятагларын үмуми нефтвермә әмсалы 0,35—0,83 арасында дәжишир. Белә бир фәргин, литоложи тәркибдән асылылығы лабораторија шәрәнтиндә дә өјрәнилмишdir.

Мә'dән материаллары вә лабораторија ишләринн комплексы сурәттә арашдырылмасы көстәрир ки, литоложи хүсусијәтләр нефт ятагларынын үмуми нефтвермә әмсалына мүәјҗән тә'сири көстәрир.

Беләліклә, нефт ятагларынын үмуми нефтвермә әмсалының дүзүн һесабланмасы учун литоложи хүсусијәтләrin нәзәрә алынмасы фикри мејдана кәлир.

СТРАТИГРАФИЯ

Х. М. ШЕЙДАЕВА-КУЛИЕВА, Х. С. ДЖАБАРОВА, Н. А. ИСКЕНДЕРОВ

К СТРАТИГРАФИИ АПШЕРОНСКОГО ЯРУСА

ЛЕНГЕБИЗСКОЙ ГРЯДЫ

(микрофауна, спорово-пыльцы, геохимия)

(Представлено академиком АН Азербайджанской ССР К. А. Ализаде)

Проблема границы антропогена и неогена в настоящее время имеет чрезвычайно важное значение. Антропогеновые отложения прикрывают ашеронские, акчагыльские ярусы, продуктивную толщу, которые заключают в себе залежи нефти и газа.

Перед нами была поставлена задача комплексного изучения стратиграфии, палеоклимата, палеоландшафта и геохимии ашеронского яруса Ленгебизской гряды для уточнения верхней границы ашерона с антропогеном.

Ленгебизская площадь расположена на северо-западной границе Прикуриńskiej низменности, около 25–30 км к юго-востоку от города Шемахи, между долиной р. Пирсагат и Прикуринской низменностью. Здесь Н. И. Андрусовым (1923), В. П. Батуриным (1929), В. В. Вебером (1933), А. Д. Султановым (1963) был изучен литологический состав и фауна ашеронского яруса. Детальное расчленение слоев этого яруса на основании палеонтологических данных предложен К. А. Ализаде и К. М. Султановым и др. При послойном изучении микрофлоры ашеронского яруса юго-западного окончания Ленгебизской гряды нам удалось произвести трехчленное расчленение, совпадающее с ранее предложенным макрофаунистическим (нижний, средний, верхний), к которому приурочиваются впервые изученные спорово-пыльцевые спектры.

Нижний подъярус ашерона представлен глинистой литофацией чередованием темно-серых уплотненных глин с прослойками песков и песчаников (мощность 380 м). Из встреченных здесь в глинах и определенных нами микрофлоры самыми характерными являются: *Mediocyctherideis apatoica* (Schw.), *Leptocythere semichatovae* Mark., *L. baciana* (Liv.), *Trachyleberis azerbaidjanica* (Liv.), *Leptocythere multituberculata* Liv., количество видов остракод в этом подъярусе сравнительно небольшое.

Флористический состав характерен для нижнего подъяруса ашерона: *Selaginella* встречается редко; *Cyatheaceae*—редко; *Coniopteris*—1–2; *Cibotium*—редко; *Polypodiaceae*—2–6; *Pteris*—редко; *Polypo-*

dium—единично; *Gleichenia*—1–6; *Schizaeaceae*—редко; *Osmunda*—редко; *Podocarpus*—1–5; *Pinaceae*—7–14; *Abies*—редко; *Tsuga*—единично; *Picea*—единично; *Cedrus*—редко; *Pinus*—6–20; *Taxodiaceae*—1–24; *Taxodium*—2–3; *Ephedra*—1–2; *Salix*—1–3; *Carya*—единично; *Pterocarya*—редко; *Juglans*—единично; *Juglandaceae*—редко; *Alnus*—1–6; *Betula*—1–4; *Corylus*—редко; *Carpinus*—редко; *Ostrya*—редко; *Acer*—единично; *Rhamnaceae*—редко; *Potamogeton*—редко; *Cyperaceae* (*Carex*)—редко; *Polygonaceae*—редко; *Chenopodiaceae*—6–27; *Onagraceae*—редко; *Umbelliferae*—1–2; *Compositae*—1–2; *Angiospermae*—трехбороздные беспоровые—1–11; *Angiospermae*—трехпоровые безбороздные—1–5. Преобладают пыльцы древесных пород (58,2–79,4%), где доминируют пыльцы хвойных растений—*Pinus* и сем. *Taxodiaceae*. Из лиственных древесных пород—*Betulaceae* (*Alnus*, *Betula*); *Fagaceae* (*Quercus*, *Fagus*, *Castanea*). Травянистых и кустарниковых растений (*Chenopodiaceae*+*Compositae*+*Umbelliferae*+*Ephedra*)—18,0–18,5%. Состав спорово-пыльцевых спектров по всему ашеронскому ярусу довольно однообразен, однако содержание отдельных компонентов в спектрах различных интервалов разреза неодинаково.

Содержание битума в породах нижнего подъяруса доходит до 1,12%. Гуминовые кислоты встречаются в количестве 0,1–0,03%, а в некоторых образцах они вообще не обнаружены. Наблюдается закономерное уменьшение органического углерода снизу вверх по разрезу—от 1,02 до 0,45%. Количество азота составляет в среднем 0,04%.

Средний подъярус ашерона характеризуется чередованием пестроцветных песков, песчаников и глин, где мощность отдельных прослоев песчаника доходит до 10–12 м. Мощность 440 м. В конце нижнего и в начале среднего ашерона происходят коренные изменения в составе и условиях обитания остракодовой фауны, в связи с чем появляются новые виды, которые отсутствуют в нижнеашеронское время, как *Leptocythere caspia* Liv., *L. arevina* Liv., *L. andrusovi* Liv., *L. malva* Liv., *L. camelii* Liv., *Trachyleberis pseudoconvexa* (Liv.). Наряду с указанными формами в среднем подъярусе продолжают существовать нижнеашеронские формы: *Trachyleberis azerbaidjanica* (Liv.), *Leptocythere baciana* (Liv.), *Mediocyctherideis apatoica* (Schw.) и др.

Этот подъярус характеризуется уменьшением участия пыльцы сем. *Taxodiaceae*, что, возможно, объясняется уменьшением фитоландшафтов влажного обитания. В комплексе пыльцы покрытосемянных среди травянистых растений наибольшее участие принимает сем. *Chenopodiaceae* (17,6–61,7%) и род. *Ephedra* (1–3%). Они встречаются неравномерно по разрезу, и к середине среднего ашерона процентное содержание *Chenopodiaceae* увеличивается, что, видимо, следует объяснить развитием фитоландшафтов открытого типа.

В исследованных образцах среднего подъяруса битум встречен в виде следов; лишь в 5 образцах количество битума варьирует в пределах 0,02–0,05%, гуминовые кислоты, обнаруженные в 6 образцах, варьируют в пределах 0,01–0,02%, в остальных же образцах не встречены. Содержание органического углерода не превышает 1,11%. Среднее содержание азота составляет 0,115%.

Верхний подъярус ашерона представлен почти той же литофацией, что и средний подъярус; при переходе от среднего к верхнему ашерону происходит уменьшение количественного состава некоторых видов остракод. Характер микрофлоры тот же, что и в среднем подъярусе. Продолжают встречаться виды, перешедшие из среднего и

нижнего подъярусов и акчагыльского яруса. Из среднего ашерона перешли *Trachyleberis pseudoconvexa* (Liv.), *Leptocythere camelli* Liv., *L. arevina* Liv. и др. Наиболее характерными формами для верхнего подъяруса являются: *Caspiolla livenalina* (Liv.), *C. acronasuta* (Liv.), *Caspiocyparis filosa* (Liv.), *Cytherissa bogatschovi* Liv., *Trachyleberis bailloui* (Liv.), *Tr. cavernosa* Schagарова. Исчезновение в верхнем подъярусе некоторых остракод среднего ашерона и появление новых групп, по всей вероятности, являются результатом осолонения бассейна в это время, о чем свидетельствует отсутствие таких форм, как *Leptocythere malva* Liv., *L. andrussovi* Liv., *Mediocytherideis apatoica* (Schw.), и др. и появление *Candonella elohgata* (Schw.), *Caspiolla acronasuta* (Liv.), *Candonella subelliptosida* (Schag.) и др., имеющих непосредственную связь с бакинским бассейном. Несомненно, что эти формы указывают на повышенную соленость воды в верхнеапшеронскую эпоху сравнительно с средне-ашеронской.

В этом подъярусе спорово-пыльцевые спектры не отличаются от таковых среднего ашерона, за исключением незначительного увеличения спор *Gleichenia*. Анализ спорово-пыльцевого состава позволил нам выделить 6 географических групп в ашеронском ярусе указанного разреза, среди которых спорово-пыльцевой комплекс в основном представлен панголарктическими: *Pinus*, *Picea*, *Salix*, *Betula*, *Alnus*, *Rhamnus* и американо-североазиатскими родами: *Carpinus*, *Corylus*, *Fagus*, *Quercus*, *Acer*. Растительная группировка свидетельствует о существовании в ашеронском ярусе фитоландшафтов: 1) темнохвойных лесов с участием *Pinus*, *Picea*, *Cedrus* и т. д.; 2) широколиственных лесов—*Castanea*, *Quercus*, *Fagus* и т. д. (сем. *Cyatheaceae*, *Polypodiaceae*, *Gleichenia* являются эпифитами); 3) заболоченных лесов—*Taxodium*; приречных лесов—*Carya*, *Ptarocarya*, *Alnus*.

На основании изложенного можно сказать, что состав растительности близок к современному, но не тождествен, потому что в спорово-пыльцевом комплексе ашеронского яруса встречаются пыльцы и споры либо совершенно исчезнувшие из современной флоры Кавказа—*Taxodiaceae*, *Tsuga*, все папоротники и *Podocarpus*, либо являющиеся в них реликтами—*Ostrya*. Климат умеренно теплый, о чем свидетельствует присутствие пыльцы американо-средиземноморско-азиатских родов: *Juglans*, *Castanea* и т. д.

Здесь в глинистых породах битум встречен в количестве 0,051–0,117%. Содержание гуминовых кислот изменяется в пределах 0,01–0,02%, органического углерода—0,56–0,80%, азота—0,05–0,14%.

Следует отметить, что относительно большие скопления рассеянного битума наблюдаются в нижнем и в верхнем ашероне. Битум, извлеченный из пород, преимущественно парафинистый и сернистый. Полученные данные при комплексном изучении микрофауны, спор и пыльцы и геохимического исследования дают ценный материал не только для уточнения верхней границы ашерона, но и помогают выяснить по составу микрофауны, спор и пыльцы физико-географический характер бассейна и окружающей суши в момент образования этих отложений.

ЛИТЕРАТУРА

- Ализаде К. А. 1939. Некоторые пресноводные формы из фауны плиоценовых отложений Азербайджана. Тр. АКИИ, геол. сб., 1/18.
- Андрусов Н. И. 1923. Ашеронский ярус. Тр. геол. ком., нов. сер., вып. 10.
- Батурина В. П. 1929. О маршрутных исследованиях в Куба-Гекчайском районе. Головной отчет за 1929 г. №Х, № 3.
- Вебер В. В. 1933. Рекогносцировочный обьеезд полосы кайнозойских

отложений между Шемахой и Аджиноурской степью. Тр. НГРИ, серия А, вып. 33.

- Гросгейм А. А. 1949. Определитель растений Кавказа. «Наука».
- Ливенталь В. Э. 1929. *Ostracoda* акчагыльского и ашеронского ярусов по Бабазанскому разрезу. Изд. АКНИ.
- Мехтиев Ш. Ф., Алиев Ад. А. 1965. Геолого-геохимическая характеристика верхнеплиоценовых отложений восточной части Куриńskiej впадины. Азербайжан.
- Палибин И. В. 1936. Этапы развития флоры Прикаспийских стран со временем мелового периода. Изд. АН СССР.
- Султанов К. М. 1964. Ашеронский ярус Азербайджана. Азерб. гос. изд.
- Султанов А. Д., Алиев А. Г., Акаев В. П., Гадиева Т. М. 1963. Литология ашеронских отложений Азербайджана. Изд. АН Азерб. ССР.

Институт геологии

Поступило 15. IV. 1965

Х. М. Шејдаева-Гулијева, Х. С. Чабарова, Н. А. Искәндәров

Ләнкәбиз силсиләсинин Ашерон ярусынн стратиграфијасына аид

ХУЛАСЭ

Ләнкәбиз силсиләсиндә Ашерон мәртәбәсинин комплекс тәдгигаты ашағыдахи нәтичәләри вермишdir:

- Ашерон мәртәбәси үч: алт, орта вә үст ярыммәртәбләрә айрылыр.
- Һәр бир ярыммәртәбә өзүнә мәхсус микрофауна, спор, тозчуг вә кеокимја хүсусијәтләринә көрә мүэjjән комплекслә сәчиijәләнир.
- Комплекс тәдгигат Ашеронун јухары сәрһәддини дәгигләшдirmәклә бәрабәр, бу чөкүнүләр әмәлә кәлән вахт дәнисин вә ону әhatә едән гурунун физики-чографи шәраитини бәрәнмәjә имкан верир.

ПАЛЕОНТОЛОГИЯ

Т. А. ГАСАНОВ, Т. А. МАМЕДОВ

**О ПРИСУТСТВИИ НИЖНЕЭОЦЕНОВЫХ ОТЛОЖЕНИЙ
В РАЙОНЕ СЕЛ. НОВО-ИВАНОВКА (КЕДАБЕКСКИЙ РАЙОН)**

(Представлено академиком АН Азербайджанской ССР К. А. Ализаде)

Палеогеновые отложения в северо-восточной части оз. Севан имеют обширное развитие и представлены эоценовыми ярусом.

Многочисленные исследователи, проводившие здесь те или иные виды геологических работ, не сходились во взглядах о возрастных взаимоотношениях описываемых нами вулканогенно-осадочных пород. Объяснялось это в основном тем, что не были обнаружены фаунистически охарактеризованные маркирующие горизонты, а находки единичных палеонтологических остатков не давали желаемых результатов из-за плохой сохранности.

Возраст этой толщи, находящейся в северной части г. Шахдаг, фаунистически впервые установлен Р. Н. Абдуллаевым (1956). Им на западном склоне г. Ганлы в прослоях плотного тонкозернистого известкового песчаника была собрана нуммулитовая фауна: *Nuttillites cf. irregularis* Desh., *Nut. sp.* (определение Н. И. Муревишили), свидетельствующая о среднеэоценовом возрасте вмещающих пород. Однако Р. Н. Абдуллаев, учитывая геолого-тектоническое строение района развития этих образований, считает возраст мощных вулканогенно-осадочных пород, распространенных как в районе сел. Ново-Ивановка, так и на Кечалдаг-Шахдагском хребте нижнесредним эоценом, позже подтвержденным работой А. А. Габриеляна (1957).

В 1961 г. Г. М. Акопяном и Д. А. Оганесяном среди известковистых песчаников и известняков в районе сел. Джил и г. Адатепе собран *Nuttillites atacicus* Leyt. (определение А. А. Габриеляна), „датирующая возраст вмещающих пород как палеоцен—нижний эоцен“. Ими же среди известковистых песчаников между сел. Шорджа и Арданыш обнаружена типичная нижнеэоценовая фауна *Nuttillites cf. planulatus* Lam. (определение И. В. Кацарова).

Эти авторы, сопоставляя известняки и известковистые песчаники, выступающие на Башкендской дороге и между сел. Ново-Ивановка и Ново-Саратовка, с вышеуказанными фаунистически обоснованными образованиями, считают их нижним эоценом.

Основываясь на этом, они осадочно-пирокластические породы, подстилающие новоивановские известняки до сел. Килисали, считают

нижней частью нижнего эоцена, а перекрывающие—нижнесредним эоценом.

Они не признавали тот факт, что возраст новоивановских известняков впервые в 1947 г. был установлен Р. Н. Абдуллаевым как кампан-маастрихт на основании собранной им обильной фауны на юго-западном склоне г. Дарвадаг: *Inoceramus balticus* I. Boehm., *In. salisburgensis* Fugg. et Kastn., *In. pertenuis* Meek., *In. cf. nebrascensis* Owen., *Coraster cf. sphaericus* Seunes(?) (определение А. Л. Цагарели).

В 1962 г. Т. Аб. Гасановым из самой верхней части новоивановских известняков (северная часть вершины с. Дарвадаг), на Башкендской дороге и в южной части сел. Мутудара (местность коч. Карадаш) собрана богатая верхнемаастрихтская фауна: *Simplorbites gensacicus* var. *secans* Leyt., *Sim. gensacicus* var. *popaniformis* Reng., *Orbitalia apiculata* Schlumb. var. *apiculata* Schlumb., *Orb. apiculata* Schlumb. var. *segmentoidea* Reng., *Orb. apiculata* Schlumb. var. *aplanata* Reng., *Lepidoorbitoides socialis* Leyt. var. *regularis* H. Douv.

В двух других пунктах (в 4 км юго-западнее сел. Ново-Ивановка и южнее вершины г. Сарыял) среди линз гравелистых известняков собрана обильная фауна: *Nuttillites pustulosus* H. Douville, *N. praelucasi* H. Douville, *N. cf. planulatus* (Lam.), *N. praemurchisoni* Nemcov et Barkhatova, *N. globulus* Leymerie (определение Т. А. Мамедова), определяющая возраст вмещающих пород как нижний эоцен.

Отложения нижнего эоцена в района сел. Ново-Ивановка представлены светло-голубоватыми песчаниками, светло-серыми туфопесчаниками, туффитами, загрязненными, плохо отсортированными, рассланцованными полимиктовыми туфопесчаниками, линзами гравелистых известняков, известковистыми песчаниками, мелкообломочными туфоконгломератами, андезитами и, наконец, туфобрекчиями в подчиненном виде. Наибольшим распространением среди них пользуются туфопесчаники, составляющие не менее 60% мощности толщи. Они представляют собой плотные мелко- и среднезернистые породы серого, серовато-зеленого, желтовато-серого, светло-бурого цвета.

Нижняя граница нижнеэоценовых образований хорошо отбивается в районе сел. Ново-Ивановка, где они с угловым несогласием залегают над верхнемаастрихтскими среднеслоистыми известняками, которые прослеживаются в юго-западной части сел. Мутудара (рис. 1). Далее они имеют тектонический контакт с коньякскими осадочными породами, где данное нарушение в 1,5 км южнее сел. Сарлар меняет направление на близширотное и входит в среднеэоценовые породы. В связи с этим нижнеэоценовые отложения несогласно перекрывают коньякские образования, доходящие до северо-западной части г. Назылхаял. Фаунистически обоснованные нижнеэоценовые песчанистые известняки в юго-западной части сел. Ново-Ивановка (верховье р. Баглыдж) и на южном склоне г. Сарыял постепенно переходят в слабоизвестковистые туфопесчаники среднего эоцена (рис. 2).

Для полного представления о нижнеэоценовых образованиях ниже приводится послойный разрез, снятый в северо-западной части сел. Ново-Ивановка (направление разреза почти параллельно магистральной дороге, идущей от сел. Башкенд к сел. Красносельск. Аз. пад. пород юж. 220° — 10° — 20°).

Над верхнемаастрихтскими среднеслоистыми известняками с угловым несогласием залегают:

1. Пачки загрязненных, плохо отсортированных полевошпатовых туфопесчаников, с содержанием линз мелкообломочных туфоконгломератов, туфопесчаники местами слабо известковистые и содержат неопределенные отпечатки флоры. Мощность—50 м.

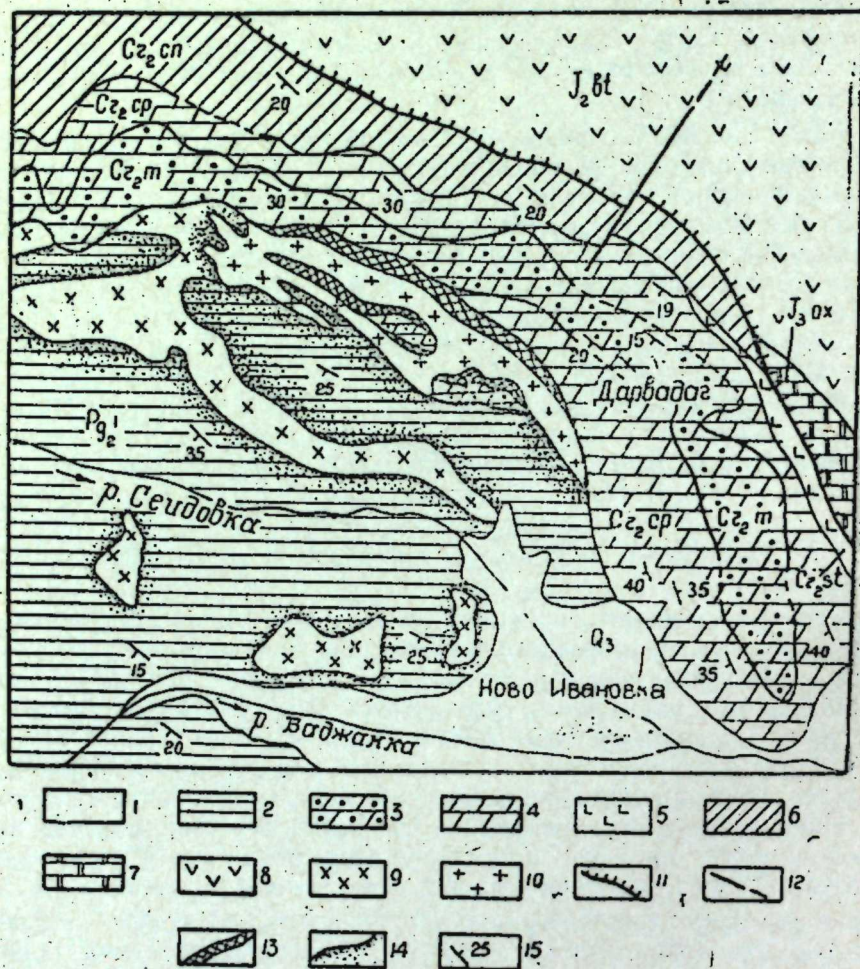


Рис. 1. Схематическая геологическая карта района сел. Ново-Ивановка (1963 г.)
(Составил Т. Аб. Гасанов).

1—современные отложения: суглиники, гравий, песок и галечники; 2—нижний эоцен: туфы, туфопесчаники с подчиненными известняками, туфоконгломератами и андезитами; 3—маастрихт: чередование известняков с известковистыми туфитами, туфопесчаниками и мелкообломочными известняками; 4—кампан: среднеслоистые известняки с подчиненными туфопесчаниками; 5—сантон: порфиры, туфогенные песчаники и известняки; 6—коньак: известковые песчаники и мелкообломочные туфоконгломераты; 7—оксфорд: пелитоморфные известняки; 8—бат: порфиры их туфы и туфогенные песчаники; 9—последнеэоцен: габбро, габбро-порит (I фаза); 10—последнеэоцен: синцит, синцито-диорит (II фаза); 11—надвиг; 12—бросы и сдвиги; 13—сквирированные породы; 14—контактовое воздействие; 15—наклонное залегание слоев.

2. Пачки окремелых песчаников светло-голубоватого цвета, среднеслоистые, сильно рассланцованные, местами загрязненные, по простираннию меняясь, становятся светло-зеленоватым. По плоскостям слоев редко встречаются неотсортированные прослойки (1—5 см) туффитов. Мощность—40 м.

3. Пачки плохо отсортированных туффитов серого и буровато-серого цвета. В верхней части разреза чередуются с туфопесчаниками. Мощность—10 м.

4. Чередование окремелых голубоватых песчаников со светло-серыми песчаниками с преобладанием последних, среди которых места наблюдается линзы известковых песчаников. Мощность—25 м.

5. Пачки среднеслоистых светло-серых песчаников, местами каолинизированных, лимонитизированных и рассланцованных. Среди слоев песчаников редко наблюдаются линзы пироксеновых и авгитовых андезитов. Мощность—20 м.

6. Пачка слабо известковых, загрязненных грубозернистых туфопесчаников серого цвета, где в средней части разреза встречаются прослойки (5—10 см) известковисто-полимиктовых песчаников и гравелистых известняков (10—20 см). Мощность—25 м.

7. Пачки песчано-глинистых сланцев темно-серого цвета.

Мощность—10 м.

8. Чередование пачек мелко- и среднезернистых песчаников серого, буровато-серого и светло-зеленоватого цвета с грубозернистыми туфопесчаниками с преобладанием последних.

Туфопесчаники местами сильно известковистые и в самой верхней части разреза данной пачки чередуются с тонкослоистыми известняками, среди которых встречаются неопределенные нуммулиты. Мощность—100 м.

9. Чередование лиловато-серых песчаников и туфопесчаников с аргиллитами и мелкообломочными туфоконгломератами с преобладанием последних. Обломки туфоконгломератов состоят из диабазовых, пироксеновых, плагиоклавовых андезитов. Цементирующим материалом служат хлоритизированные туфопесчаники.

Мощность—30 м.

10. Чередование грубообломочных туфоконгломератов с туфобрекчией с преобладанием первых. Обломки их состоят в основном из диабазовых, пироксеновых андезитов и реже андезито-дацитов. Цементирующим материалом является хлоритизированный туфит. Мощность—20 м.

11. Чередование туфопесчаников с туфоконгломератами, где первые в верхней части разреза становятся достаточно отсортированными и в свою очередь чередуются с алевритами и глинистыми сланцами. Туфопесчаники местами известковые. Мощность—17 м.

12. Пачки оскольчатых аргиллитов светло-серого цвета, по простираннию постепенно переходят в известковистые достаточно отсортированные песчаники. Мощность—3 м.

13. Чередование голубовато-известковистых мелкозернистых песчаников с темно-серыми глинистыми сланцами с преобладанием первых, где редко встречаются линзы песчанистых и гравелистых известняков темно-серого цвета, длина линз не более 5 м. Среди гравелистых известняков собрана обильная фауна: *Nuttallites pustulosus* N. Dou-

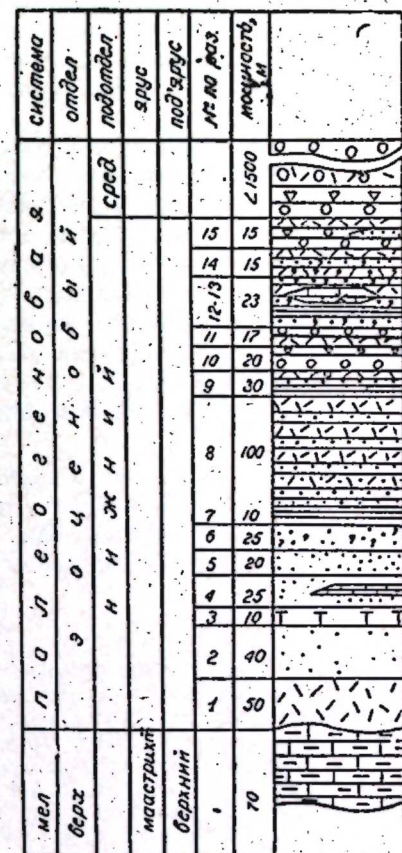


Рис. 2. Стратиграфическое положение нижнеэоценовых отложений в районе сел. Ново-Ивановка.
(23(Х) — нуммулитовые слои).

villie., *N. praelucasi* H. Douville., *N. cf. planulatus* (Lam.), *N. praemurchisoni* Nemkov et Barkhatova., *N. globulus* Leymarie. (определение Т. А. Ммаедова), датирующая возраст вмещающих пород как нижний эоцен.

Мощность—20 м.

14. Чертежование известковистых туфопесчаников с песчанистыми известняками с преобладанием первых, которые в верхней части разреза становятся грубозернистыми и в свою очередь чередуются с мелкообломочными туфоконгломератами. Мощность—15 м.

15. Чертежование туфоконгломератов с туфобрекчией, среди которых наблюдаются линзы андезиотов (0,5—1,5 м) и прослойки известковистых песчаников, где туфоконгломераты являются преобладающими. Мощность—15 м.

Мощность нижнеэоценовых отложений в данном разрезе—400 м.

Из сказанного можно заключить, что в нижнеэоценовое время режим бассейна как в районе сел. Ново-Ивановка, так и в северо-восточной части оз. Севан оставался более или менее постоянным о чем свидетельствует накопление мощной однообразной толщи слоистых терригенных пород. Однако этот бассейн был неблагоприятным для развития организмов, о чем свидетельствует неповсеместное нахождение фауны. Вся найденная фауна была обнаружена исключительно в верхней части разреза, что говорит о наличии здесь карбонатного материала, явившегося жизненной потребностью для развития организмов.

Приводимые данные о присутствии нижнеэоценовых отложений в районе сел. Ново-Ивановка безусловно представляют большой научно-практический интерес для уточнения стратиграфии, тектогенеза и палеогеографии палеогенового периода.

ЛИТЕРАТУРА

1. Абдуллаев Р. Н. Открытие верхнемеловых отложений в Кедабекском районе. ДАН Азерб. ССР, т. III, № 12, 1947.
2. Абдуллаев Р. Н. О возрасте эффузивно-пирокластической толщи северного склона Шахдагского хребта (Малый Кавказ). ДАН Азерб. ССР, № 5, 1956.
3. Акопян Г. М., Оганесян Д. А. Новые данные о возрасте вулканогенно-осадочных толщ северной и северо-восточной частей Армянской ССР. Изв. АН Арм. ССР, серия геол.-географ. наук, т. XIV, № 6, 1961.
4. Габриелян А. А. Новые данные по стратиграфии палеогена СВ побережья оз. Севан. ДАН Арм. ССР, т. XXV, № 1, 1957.
5. Гасанов Т. Аб. О присутствии отложений верхнемаастрихтского яруса в Кедабекском р-не. ДАН Азерб. ССР, т. XIX, № 9, 1963.

Азерб. геолого-съемочная экспедиция
и Институт нефти и химии

Поступило 3. XII 1963

Т. Аб. Ысэнов, Т. Э. Мэммэдов

Ново-Ивановка кәнди саһесинде Алт Еосен
чөкүнүләринин варлығы һағында

ХУЛАСЭ

Ново-Ивановка кәнди әтрағында кениш յағымыш чөкмә вә вулканокен-чөкмә сүхурларын җашы илк дәфә Р. Н. Абдуллаев (1956) тәрәфиндән Шаһдағын шимал саһесинде сүхурларла мугайисе олунараг Алт-Орта Еосен гәбул едилмишdir. Бу фикир Ермәнистан қеологларындан А. А. Габриелян тәрәфиндән мұдағиә едилмишdir. Лакин Ново-Ивановка кәнди саһесинде сүхурлардан билаваситә фауна յығылмадығына көрә һәмни сүхурларын җашы бир чох қеологлар арасында мұбаһисәjә сәбәб олмушудур.

Т. Аб. Ысэнов тәрәфиндән 1952-чи илдә Ново-Ивановка кәндinin чәнуб-гәрбинде (Бачанка ҹаянын јухарысында) чөкмә сүхурлар ичәрисинде јерләшмиш гравелитли әһәнкдашылардан илк дәфә олараг Алт Еосени сөчијјеләндирән зәнкин палеонтологи галыглар топланышдыр. Тә'ин олунан палеонтологи галыглара көрә Ново-Ивановка кәнди саһесинде чөкмә вә вулканокен-чөкмә сүхурларын җашы Алт-Орта Еосен дејил, Алт Еосен гәбул едилir. Көстәрилән чөкүнүләр исә Ново-Ивановкадан башлајараг Назлыханjal данығына кими давам едир.

ПОЛЕЗНЫЕ ИСКОПАЕМЫЕ

Т. И. НАСИБОВ, Ф. И. ЗЕЙНАЛОВ, У. Г. МАМЕДОВ

НОВОЕ РТУТНОЕ РУДНОЕ ПОЛЕ В ПРЕДЕЛАХ
СЕВАНО-АКЕРИНСКОЙ ЗОНЫ МАЛОГО КАВКАЗА

(Представлено академиком АН Азербайджанской ССР А. Д. Султановым)

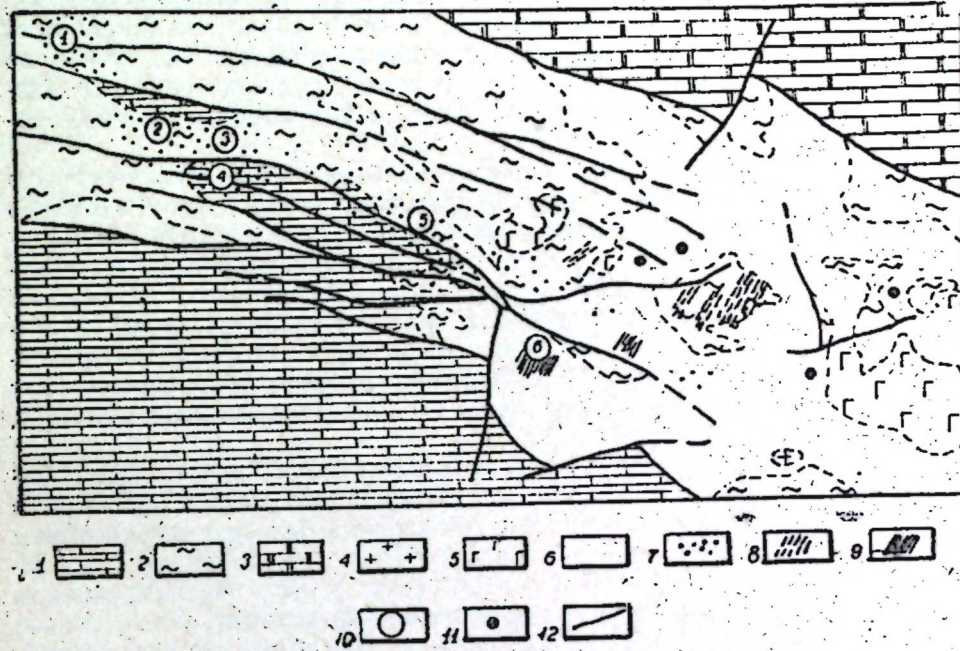
В последнее десятилетие в пределах описываемой зоны был обнаружен ряд ртутных рудопроявлений и минерализаций [1–3].

В связи с этим, проведенными нами геологическими исследованиями в Кельбаджарском районе, в верховых р. Левчай, выявлено новое ртутное рудное поле, которое включает ряд рудопроявлений в коренном залегании, множество первичных ореолов рассеяния ртути и ее сопутствующих компонентов (мышьяк, медь, цинк и т. д.) и вторичных ореолов рассеяния киновари в современных отложениях (рисунок).

В геолого-тектоническом отношении данная зона ртутного оруднения тяготеет к осевой полосе Левчайского антиклиниория, являющегося северо-западным погребенным продолжением Карабахского антиклиниория [4]. Это—сложнопостроенная структура, у которой северо-восточное крыло осложнено надвигом мощной карбонатной толщи валанжина¹. Осевая полоса антиклиниория в исследованной его части сложена порфиритами, диабазами и их пирокластолитами, нормально осадочными породами (аргиллиты, песчаники и т. д.) нижнего сенона, интрузированными ультраосновными и основными интрузиями. Юго-западное крыло его сложено верхнесенонскими известняками, которые трансгрессивно покрывают вулканогенно-осадочные образования нижнего сенона.

Распределения ртутной минерализации в пределах рудного поля неравномерные; повышенное содержание ее наблюдается на локальных участках центральной полосы рудного поля, где интенсивно дислокированные верхнемеловые отложения пересечены частыми разрывами, относящимися по характеру к сбросам и выбросам. На правом борту р. Левчай наблюдается также надвиговая структура, вдоль которой произошло надвигание пород конька-сантона на известняки верхнего сенона. Эти продольные разрывы обычно размещены в осевых частях сжатых антиклинальных складок и простираются согласно складчатости в широтном направлении с вертикальным или же крутым падением в различные стороны. Перемещения по разрывам происходили с преоб-

ладанием вертикальных составляющих. Амплитуда вертикального перемещения составляет от нескольких до 100–150 м, редко (в надвиге) около 300 м. Отмечаются также разрывы близмеридионального и северо-восточного простирия. На ряде участков они пересекают разрывы широтного простирия и по характеру относятся к сбросо-сдвигам с преобладанием горизонтального перемещения над вертикальным.



Схематическая геологическая карта Левчайского рудного поля.

1—верхний сенон (известняки); 2—коньк-сантон (порфириты, диабазы, туфы, туффиты, аргиллиты, песчаники и пр.); 3—валанжин (известняки); 4—диоритовые порфириты; 5—габброиды; 6—серпентиниты; 7—вторичный ореол рассеяния киновари; 8—первичный ореол рассеяния ртути; 9—вторичный ореал рассеяния платины; 10—ртутные рудопроявления (1—Гиналдагский; 2—Каракаинский; 3—Западно-Левский; 4—Ширранский; 5—Ново-Левский; 6—Левский; 11—рудопроявления хромита; 12—разрывы).

Зона субширотных разрывов в общей сложности придает рудному полю блоковое строение, что и наряду с другими факторами благоприятствовало локализации ртутного оруднения.

Выявлены следующие рудные участки (с запада на восток): Гиналдагский, Каракаинский, Западно-Левский, Ширранский, Ново-Левский и Левский. Все участки, за исключением Левского, характеризуются простым минералогическим составом. Основным минералом является киноварь, в ассоциации с которой находятся пирит, марказит, халькопирит, на некоторых участках она сопровождается кальцитом, изредка кварцем. Из гипогенических минералов присутствуют лимонит, реже малахит. Согласно косвенным данным, можно сказать о наличии самородной ртути, имеющей, по всей вероятности, гипогенное происхождение.

Рудовмещающими являются конгломераты, гравелиты, песчаники и т. д. Все они подвергнуты в различной степени гидротермальному метаморфизму, выразившемуся в окремнении, кальцитизации, осветлении и окварцевании их, а также в лиственизации серпентинитов на Левском участке. В последнем случае минерализация ртути становится сложной за счет минералов меди, свинца, цинка, а также хромита,

¹ Валанжинский возраст фаунистически обоснован О. Алиевым.

магнезита, силикатно-никелевых минералов и сопровождается кварцем и разновидностями его. В шлихах из района рудопроявления отмечены знаки платины (определенна Р. Гусейновой).

Рудные участки по структурным особенностям отличаются друг от друга. Так, на Каракайинском участке оруденение приурочено к северному крылу антиклинали, сводовая полоса которой осложнена сериями разрывов широтного простирания с крутым падением плоскостей смещителя к северу. Оруденение контролируется мелкими трещинами, которые на отдельных участках образуют густую трещиноватость пород, содержащих, как правило, повышенное количество ртути по сравнению с таковыми в остальных участках рудоносной зоны. Разрывные нарушения сопровождаются дроблением пород и почти не содержат ртутной минерализации.

Западно-Левский участок занимает сводовую часть и южное крыло Каракайинской антиклинали. Здесь на площади около 0,3 км² выявлено более 20 рудоносных зон, характеризующихся прожилково-вкрашенным типом оруденения. Рудовмещающие зоны ориентированы в широтном, меридиональном и в северо-восточном направлениях. Размещены они в конгломератах, туфогравелитах, реже песчаниках. Зоны трещиноватости в толще известняков заражены ртутной минерализацией. Весьма слабо или вовсе лишены ее. Содержание ртути в рудоносных зонах неравномерное, богатая концентрация ее отмечена в зонах № 1, 11, 12 и др.

Известияки верхнего сенона, слагающие южное крутое крыло описанной антиклинали, в южном направлении принимают участие в строении ряда небольших, часто сжатых складчатых структур, которые осложнены разрывами широтного простирания с вертикальным или же крутым падением плоскости к северу, реже к югу. На Шырранском участке они образуют крутую антиклинальную складку, вдоль осевой полосы которой выступают рудовмещающие конгломераты и гравелиты. Основная рудоносная зона приурочена к зоне трещиноватости и размещена в конгломератах, среди которых тянется трещина-разрыв широтного простирания. Здесь же отмечена прерывистая многоярусность в распространении оруденения по вертикали.

На Ново-Левском участке оруденение приурочено к мощной зоне дробления пород, приуроченной к разрыву северо-западного простирания. При общей рассеянности ртутной минерализации выделены рудные тела, занимающие согласное, а в редких случаях — секущее положение по отношению к общей рудоносной зоне.

Не останавливаясь на характеристике других рудных участков, отметим, что важное значение в размещении киноварной минерализации имели разрывные нарушения и связанные с ними, а также со складчатыми нарушениями трещиноватость пород. Тонкорассеянная минерализация ртути, связанная с первичной пористостью пород, особого значения не имеет, тем не менее и она обычно сопровождается прожилково-вкрашенным оруденением в зоне интенсивной трещиноватости пород, образуя таким образом ореол рассеяния вокруг них.

Выяснило, что оруденения чаще приурочены не к самим разрывам (хотя наличие их предопределило размещения оруденения), а к второстепенным маломощным нарушениям, трещинам различного масштаба, ориентированным параллельно, косо, реже поперечно по отношению к основным разрывам, а также зонам дробления, сопровождающим их.

Благоприятными для рудоотложения явились конгломераты, гравелиты, расположенные в основании верхнего сенона, и фациально сложные образования коньяк-сантона. И напротив, известияки верхнего

сенона, характеризующиеся почти постоянной удельной слоистостью (количество слоев на 1 м 8—10), серпентиниты и габбройды являются неблагоприятной средой для отложения ртути.

Распространение первичных и вторичных ореолов рассеяния ртути в полосе развития коньяк-сантонах отложений, грубообломочных базальных образований верхнего сенона и в верхнесенонских известняков открывает реальные перспективы выявления новых рудных участков и рудных тел закрытого типа. При поисках последних особое внимание следует обратить на узлы пересечения конгломератов и гравелитов, подстилающих известияки верхнего сенона с разрывными нарушениями.

Выявление Лейчайское рудное поле представляет несомненный интерес благодаря ртути. Кроме того, оно представляет определенный интерес и благодаря нахождению здесь руд хромита и платины, генетически связанных с верхнемеловыми гипербазитами.

Авторы признательны Э. Ш. Шихалибейли за советы при составлении настоящей статьи.

ЛИТЕРАТУРА

1. Абдуллаев Р. Н., Азизбеков Ш. А., Кашкай М. А., Керимов Г. И., Мустафабейли М. А., Ситковский И. Н., Шихалибейли Э. Ш. Металлогения Азербайджана. Изд. АН Азерб. ССР, 1962.
2. Ситковский И. Н., Мустафабейли М. А. и др. Уч. зап. АГУ, № 2, 1960.
3. Сулейманов С. М., Насибов Т. Н. Уч. зап. АГУ, № 6, 1963.
4. Шихалибейли Э. Ш. Тр. совещ. по тектоники альпийск. геосинклини. обл. юга СССР. Изд. АН Азерб. ССР, 1956.

Институт геологии

Поступило 8. IV 1964

Т. Н. Насибов, Ф. И. Зеяналов, У. Г. Маммадов

Кичик Гафгазын Севан-Экэрэ зонасында жени чивэ филиз саңэси

ХУЛАСЭ

Мүәллифләrin қеоложи тәдгигат ишләри нәтиҗәсindә Тәртәр чајынын сол голу олан Лев чајы нөвзәсindә жени филиз саңэси мүәjjән едилишидир. Филиз саңэси назырда алты филиз тәзәнүрләри илә сәчиijәләнмишdir. Бундан әlavә, чохлу биринчи вә икinci сәпәләнмә ореоллары да тапылышыдыр. Филиз тәзәнүрләри ашағыдақылардыр: Ынналдағ, Гарагаға, Гәрби Лев, Шырран, Тәзә Лев вә Лев. Мүәjjәn едилишидир ки, бу филиз тәзәнүрләри вә сәпәләнмә ореоллары филиз саңэсindән орта золағында груплашышыдыр. Бу золаг бою Жұхары Тәбашир чөкүнтүләри кәсқин гырышмыш вә чохлу гырылмаларла мүрәккәбләшидир.

Филиз саңэсindә хром вә платин филизләrinin тапылмасы еңтималы да ирәли сүрүлүр.

КЛИМАТОЛОГИЯ

С. Г. МАГЕРРАМОВА

К ВОПРОСУ О СКОРОСТИХ БАКИНСКОГО НОРДА

(Представлено академиком АН Азербайджанской ССР М. А. Кашиаем)

В данной статье ставится задача выяснения вопроса, какими скоростями может обладать „истинный норд“, т. е. ветер, порождаемый или усиливаемый действием восточной оконечности Главного Кавказского хребта, которая решается путем сопоставления ветров С-СЗ румбов на Апшеронском полуострове с ветрами вне действия Главного Кавказского хребта, но в однородных с Апшеронским полуостровом общих синоптических условиях на противоположном берегу Каспийского моря.

На восточном побережье Каспийского моря были выбраны метеорологические станции на о. Огурчинском, в Красноводске, на Кара-Богаз-Голе и на Апшеронском полуострове: в Сумгаите, Маштагах и Баку.

Все шесть выбранных метеорологических станций расположены почти на одинаковой широте: о. Огурчинский расположен лишь на 1° южнее, а Кара-Богаз-Гол на 1° севернее Апшеронского полуострова. Анализу были подвергнуты два экстремальных месяца: январь и июль за пятилетний период наблюдений (1953—1957 гг.).

Не все местные ветры С-СЗ направлений на Апшеронском полуострове, не отмечаемые на восточном побережье Каспийского моря, являются нордом; очевидно, среди них могут быть и бризы; и на восточном побережье Каспийского моря среди С-СЗ ветров, вероятно, также могут наблюдаться бризовые циркуляции. Поэтому на Апшеронском полуострове и на восточном побережье Каспийского моря среди С-СЗ ветров необходимо выделить повторяемость бризовых явлений. Для подсчета этих явлений были просмотрены все случаи ветра С-СЗ румбов со скоростью до 5 м/сек , а также других румбов, которые совпадают с направлением бриза. Если направления ветра на разных станциях Апшеронского полуострова и на восточном побережье Каспийского моря были различны и совпадали с направлением бриза (в 1 и 7 часов — с суши на море, в 13 и 19 часов — наоборот), то эти случаи относились к бризам и исключались из общего числа С-СЗ ветров, а также из общего числа других направлений. На восточном побережье Каспийского моря бризовые явления выделены только на станции Красноводск. Расположение других станций — Кара-

Богаз-Гола (на косе) и о. Огурчинского неблагоприятно для возникновения бриза.

В результате подсчета оказалось, что на Апшеронском п-ве в январе наблюдалось 86 случаев бриза, из них 41 случай С-СЗ направления, остальные другие румбы. При скорости С-СЗ ветра $1-2 \text{ м/сек}$ бризы наблюдались в 12 случаях, при скорости $3-4 \text{ м/сек}$ — в 20 случаях и при 5 м/сек — в 9 случаях. В Красноводске наблюдался 61 случай бриза, из них 17 случаев С-СЗ направления, остальные другие румбы. Все эти результаты представлены на рис. 1 нежирными кривыми (Красноводск — пунктирной, Апшеронский п-ов — сплошной). Остальные случаи С-СЗ ветров были подсчитаны по градациям скорости по каждой станции в отдельности, а затем эти повторяемости каждой градации были осреднены по 3 станциям Апшеронского полуострова и отдельно по 3 станциям на восточном побережье Каспийского моря.

В январе на Апшеронском полуострове из общего числа оставшихся 207 случаев ветра С-СЗ румбов в 113 случаях такие ветры наблюдались только на Апшеронском полуострове и не захватывали восточное побережье Каспийского моря, т. е. являлись „истинным нордом“ в указанном выше смысле. Если считать каждый из сроков наблюдений представляющим период в 6 часов, то за пять лет в январе истинный норд дул 28 суток.

Как видно из табл. 1, доля „истинного норда“ в % к общему числу случаев С-СЗ ветров (при данной скорости ветра) растет со скоростью и достигает 100% при скоростях 17 м/сек и более. Если же рассматривать число случаев „истинного норда“ при данной скорости ветра по отношению к общему числу случаев „истинного норда“, то наиболее часто „истинный норд“ наблюдается при скорости $9-10 \text{ м/сек}$ (17,3%). Удельный вес других скоростей ветра при норде убывает как в сторону уменьшения, так и в сторону роста скорости ветра.

На рис. 1 представлены совмещенные кривые распределения скоростей ветра С-СЗ направлений на Апшеронском полуострове и на восточном побережье Каспийского моря по градациям через 2 м/сек . Разность между этими кривыми представляет повторяемость „истинного норда“ при каждой конкретной скорости ветра. Эти кривые, как и данные табл. 1 показывают, что „истинный норд“ в январе может наблюдаться при любых скоростях ветра.

В исследованиях А. А. Мадатзаде (1948, 1959 гг.) для выделения штормовых нордовых ветров в прогностических целях был использован условный критерий норда, как ветра со скоростью не менее 10 м/сек , или силой не менее 6 баллов.

Согласно данным табл. 1, на С-СЗ ветры в январе со скоростями менее $9-10 \text{ м/сек}$ приходится 26% случаев „истинного норда“, что

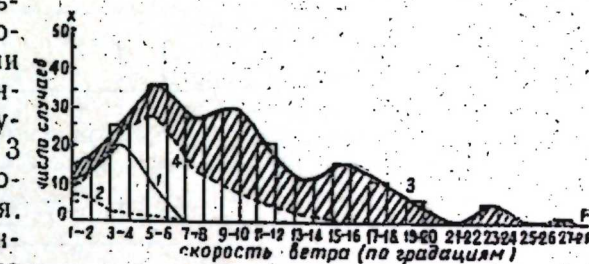


Рис. 1. Кривые распределения скоростей ветра С-СЗ направлений на Апшеронском полуострове и в Закаспии (по градациям через 2 м/сек) в январе. X — число случаев С-СЗ ветров; F — скорость ветра (по градациям);

1, 2 — бризовые случаи; 3 — повторяемость С-СЗ ветров на различных градациях на Апшеронском п-ве; 4 — повторяемость С-СЗ ветров на различных градациях в Закаспии.

Заштрихованное поле — разность между кривыми, представляющая собой повторяемость „истинного норда“ при каждой конкретной скорости ветра на Апшеронском полуострове.

Таблица 1

Повторяемость различных скоростей ветров С—СЗ румбов в январе за пять лет (1953—1957 гг.)

Название района	Градации скоростей ветра, м/сек							Сумма (без бриза)							
	1—2	3—4	5—6	7—8	9—10	11—12	13—14	15—16	17—18	19—20	21—22	23—24	25—26	27—28	
Апшеронский п-в	16	25	36	28	30	21	11	16	11	6	—	5	—	2	207
Восточное побережье Каспийского моря	10	23	28	14	10	5	3	1	—	—	—	—	—	—	94
Разница между ними	6	2	8	14	20	16	8	15	11	6	—	5	—	2	113
% случаев "истинного норда" при данной скорости ветра на Апшеронском п-ве	37	8	22	50	67	76	72	97	100	100	—	100	—	100	71
% случаев "истинного норда" при данной скорости норда по отношению к общему числу случаев норда	5,3	1,5	7,0	12,4	17,3	14,2	7,0	14,2	9,7	5,3	—	4,4	—	1,5	100%

доказывает неприменимость такого условного критерия в климатических целях по крайней мере для января.

На рис. 2 представлены кривые распределения скоростей ветра всех остальных ненордовых румбов по тем же районам с близовыми явлениями. Они показывают, что на Апшеронском полуострове ненордовы ветры в январе вообще имеют меньшую повторяемость, чем на восточном побережье Каспийского моря. Исключение составляют только самые большие скорости: начиная от 13—14 м/сек и более. Большие скорости более редки на ненордовых румбах, чем на нордовых, и на Апшеронском полуострове эти значительные скорости приходятся в основном на южные и юго-западные румбы.

Теперь проанализируем условия в июле месяце. На Апшеронском п-ве наблюдалось 147 случаев бриза, из них 37 случаев С-С3 направлений. На восточном побережье Каспийского моря был 131 случай бриза, из них в 30 случаях были С-С3 ветры. После исключения этих случаев бриза были построены кривые распределения скоростей ветров нордовых румбов. В июле эти кривые (рис. 3) радикальным образом отличаются от кривых для января (рис. 1). В июле ветры С-С3

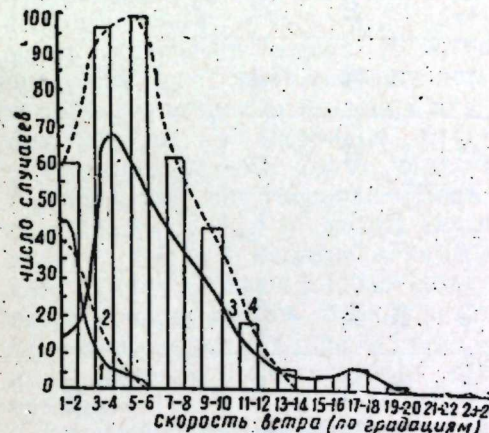


Рис. 2. Кривые распределения скоростей ветра всех остальных ненордовых румбов на Апшеронском полуострове и в Закаспии (по градациям через 2 м/сек) в январе. (Обозначения те же, что и на рис. 1).

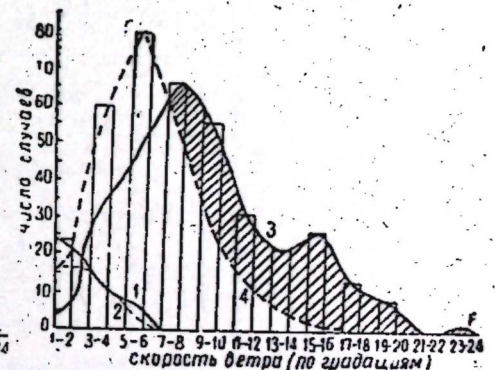


Рис. 3. Кривые распределения скоростей ветра С-С3 направлений на Апшеронском полуострове и в Закаспии (по градациям через 2 м/сек) в июле. (Обозначения те же, что и на рис. 1).

направлений со скоростями от 1 до 6 м/сек на восточном побережье Каспийского моря наблюдаются чаще, чем на Апшеронском полуострове, т. е. "истинный норд" с такими скоростями ветра не наблюдается вообще, и 7 м/сек может служить нижней скоростной границей возможности "истинного норда". Физическое объяснение этого факта, возможно, заключается в том, что летом при более неустойчивой стратификации атмосферы запружающее действие Главного Кавказского хребта на воздушные потоки проявляется слабее, чем зимой, а при малых барических градиентах вообще не проявляется. В этих последних случаях число С-С3 ветров на равнинных берегах Закаспия оказывается даже больше, чем на Апшеронском полуострове.

Из всех 291 случаев ветра С-С3 румбов на Апшеронском полуострове в июле только 106 случаев являются "истинным нордом", несмотря на возросшую повторяемость С-С3 румбов в июле по сравнению с январем. Если считать каждый из сроков наблюдений периодом в 6 часов, то за пять лет в июле "истинный норд" дул окруженно 27 суток. Эти результаты представлены в табл. 2. Из табл. 2 хорошо

Таблица 2

Повторяемость различных скоростей ветра С—С3 румбов в июле за пять лет (1953—1957 гг.)

Название района	Градация скоростей ветра, м/сек	Сумма бриза													
		1—2	3—4	5—6	7—8	9—10	11—12	13—14	15—16	17—18	19—20	21—22	23—24	25—26	27—28 (без бриза)
Апшеронский п-в	30	30	47	63	54	29	20	25	12	7	—	1	—	—	0
Восточное побережье Каспийского моря	16	57	77	55	30	13	5	1	0	0	—	0	—	—	—
Разница между ними	13	—27	—30	8	24	16	15	24	12	7	—	1	—	0	106
% случаев "истинного норда" при данной скорости ветра на Апшеронском п-ве	0	0	0	12	45	55	75	96	100	100	—	100	—	100	35%
% случаев "истинного норда" при данной скорости норда по отношению к общему числу норда	—	—	—	—	70	23,0	15,0	23,0	10,0	6,0	—	1,0	—	0	100%

видно, что как в январе, так и в июле случаи "истинного норда" достигают 100% при скоростях 17 м/сек и более.

Если рассматривать число случаев "истинного норда" при данной скорости ветра по отношению к общему числу случаев "истинного норда", то в июле наиболее часто "истинный норд" наблюдается при скорости 9—10 и 15—16 м/сек (23%). Эти данные показывают, что условный критерий норда, как ветра со скоростью 10 и более м/сек, неприемлем и для июля; "Истинный норд" возможен начиная со скорости 7—8 м/сек, но все ветры относятся к нему только при скоростях 17—18 м/сек и более.

На рис. 4 представлены кривые распределения скоростей ветра всех остальных ненордовых румбов (вместе с бризами) на Апшеронском полуострове и на восточном побережье Каспийского моря. Как в январе, так и в июле для ненордовых ветров в основном мода распределения приходится на слабые скорости—3—4 м/сек. Повторяемость скоростей выше 10 м/сек ничтожна; до 7 м/сек скорости повторяются ветров ненордовых румбов больше на восточном побережье Каспийского моря, чем на Апшеронском полуострове. Большие скорости (11—16 м/сек) как в январе, так и в июле на ненордовых румбах на Апшеронском полуострове наблюдаются гораздо реже, чем на нордовых. Редкие случаи больших скоростей ненордовых ветров на Апшеронском полуострове относятся к южным и юго-западным румбам.

Из сопоставления кривых распределения скоростей ветров С—С3 румбов на Апшеронском полуострове и на восточном побережье Каспийского моря можно сделать следующие выводы:

1. В январе "истинный норд" может иметь все скорости.
2. В июле "истинный норд" не может иметь скорости менее 7 м/сек.
3. Как в январе, так и в июле все С и С3 ветры со скоростями 17 м/сек и более принадлежат к группе "истинного норда".
4. В январе самая значительная часть случаев "истинного норда" приходится на скорости 9—10 м/сек (17,3%), в июле—на 9—10 м/сек и на 15—16 м/сек (23%).

ЛИТЕРАТУРА

1. Мадатзаде А. А. Штормы Южного Каспия. Труды Ин-та географии АН Азерб. ССР, т. 1, 1948. 2. Мадатзаде А. А. Бакинский норд. Изв. АН Азерб. ССР, серия геолого-геогр. наук, № 5, 1959.

Институт географии

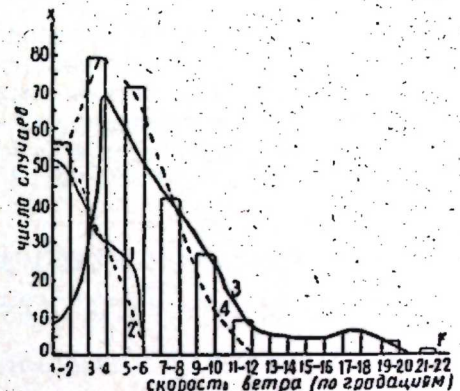
С. Мэхэррэмова

Бакы нордуун (хэзринин) сүр'эти һаггында

ХУЛАСЭ

Мэггалэ "эсил норду и" эсасэн һансы сүр'этлэрдэ эсдији мэсэлэснээ (јэ'ни Бөյүк Гафгаз дағ ларыны шэрг гуртарачафыны тэ'сирийн мэ'

Поступило 14. VII 1964



руз галан күләкләрин мұхтәлиф сүр'әтләрдә нечә олмасына) һәср едил-
мишdir.

Бу мәсәләнин һәлли Абшерон јарымадасында әсән шимал, шимал-
шimal-гәрб, шимал-гәрб күләкләринин мұхтәлиф сүр'әтләринин Абше-
рон илә ejni en даирәсіндә йерләшән раionун күләкләринин сүр'әти
илә тутуштурмаг нәтичәсіндә әлдә едилмишdir.

Абшерон јарымадасында вә Хәзәр дәнисинин шәрг саһилинде әсән
Ш, ШШГ, ШГ күләкләринин 2 мсан-дән бир бүтүн сүр'әтләринин
тәкрапланмасыны чәмләјәрәк мұхтәлиф сүр'әтләрин пајланмасы әјриси
алынышдыр.

Бу 2 раionун әјриләри арасында фәрг „әсил нордун“ һәр сүр'әтдә
нә гәдәр тәкрапландығыны көстәрир.

Нәтичәдә синоптик нәгтеји-нәзәрлә дејил, иглим нәгтеји-нәзәринчә
„әсил нордун“ јанвар аյында бүтүн сүр'әтләрдә, июл айында исә 7 м/сан-
дән аргыг сүр'әтләрдә әсдији алымыштыр.

ПОЧВЕННАЯ МИКРОБИОЛОГИЯ

Н. А. МЕХТИЕВА, Т. А. МАРТИРОСОВА

НЕКОТОРЫЕ ДАННЫЕ О РАСПРЕДЕЛЕНИИ МИКРОФЛОРЫ
ПОЧВ АЗЕРБАЙДЖАНА ПО ВЕРТИКАЛЬНОЙ ЗОНАЛЬНОСТИ

(Представлено академиком АН Азербайджанской ССР В. Р. Волобуевым)

Микрофлора почв Азербайджана в связи с вертикальной зональностью не изучена. Данная работа посвящена изучению микрофлоры некоторых почв Азербайджана с учетом ее вертикальной зональности и сезонной динамики.

Исследования по выявлению микрофлоры проводились нами на следующих почвах опытных участков Института генетики и селекции МП и З Азербайджанской ССР, находящихся на разных высотах от уровня моря: 1) сероземных (Абшерон); 2) каштановых давно орошаемых (Маргушевань); 3) темно-каштановых (сел. Мирикеид Шемахинского района); 4) черноземных (сел. Славянка Кедабекского района); 5) горнолуговых черноземовидных (сел. Сыных кильса Кельбаджарского района).

Образцы почв для исследования брались с целинных и окультуренных участков в марте, апреле, июне и июле 1962 г.¹. Общее количество бактерий учитывалось на мясопептонном агаре, спороносные бактерии — на смеси мясопептонного агара с сусло-агаром (1:1), актиномицеты — на крахмало-аммиачном агаре, грибы — на сусло-агаре, азотобактер — на почвенных пластинках, нитрифицирующие бактерии — методом титра на жидкой среде Виноградского.

Результаты, сведенные в табл. 1, показывают, что количество микроорганизмов заметно меняется в зависимости от типа почвы и вертикальной зональности. Наиболее богаты микроорганизмами каштановые и темно-каштановые почвы.

По мере продвижения от целинных сероземных почв к каштановым количество микроорганизмов увеличивается. С подъемом выше 1600—2000 м в целинной черноземной и горнолуговой черноземовидной почвах численность микроорганизмов несколько снижается.

При окультуривании количество микроорганизмов значительно возрастает.

¹ Почвенные образцы любезно представлены аспирантом отдела генетики и селекции полевых культур Института генетики и селекции МП и З Азербайджанской ССР М. М. Чобановым.

В общем числе микроорганизмов доминируют неспороносные формы бактерий (от 1,8 до 4,6 млн. на 1 г почвы). Бациллы составляют от 5 до 10% от бактерий. Значительную часть микробного населения этих почв составляют актиномицеты (от 23 до 50% от общего числа микробов). Микроскопические грибы составляют наименьший процент.

Таблица 1

Общее содержание микроорганизмов
(средние данные за вегетационный период)

Почва	Высота над уровнем моря, м	Состояние почв	В тыс. на 1 г почвы							% бактерий	% спор	% актиномицетов	% грибов
			Общее число микро- бов	Число бак- терий	Число бак- терий спо- роносных	Актиноми- цеты	Грибы	% бактерий					
Серозем	10—50	Целина	3208	1768	187	1413	27	55,1	10,5	44,1	—	—	0,8
		Окультур.	4674	2833	259	1817	24	60,6	9,1	38,8	0,6	—	—
Каштановая давно орошаемая	400	Целина	3899	2375	173	1462	6!	60,9	7,2	37,5	1,5	—	—
		Окультур.	6071	2992	293	3053	26	49,4	9,7	50,2	0,4	—	—
Темнокаштановая	600—800	Целина	5068	3538	229	1486	44	69,8	6,4	29,3	0,9	—	—
		Окультур.	5905	4102	224	1774	29	69,4	5,4	30	0,6	—	—
Чернозем	1400—1600	Целина	3575	2250	192	1305	20	62,8	8,5	36,6	0,6	—	—
		Окультур.	6104	4657	243	1433	14	76,3	5,2	23,4	0,3	—	—
Горнолуговая черноземовидная	1800—2000	Целина	3725	1861	204	1831	33	9,9	10,9	49,2	0,9	—	—
		Окультур.	4022	2628	269	1374	20	65,3	10,2	34,2	0,5	—	—

Одним из факторов, влияющих на динамику численности микроорганизмов, является влажность (рис. 1, 2, 3, 4, 5).

Наблюдения в разные сроки показывают, что наибольшее количество неспороносных бактерий наблюдается в марте—апреле. К июлю количество неспороносных бактерий падает до минимума, что происходит главным образом за счет значительного понижения влажности почвы и резкого увеличения актиномицетов и спороносных бактерий в этот период.

Микроскопические грибы менее подвержены сезонным изменениям.

Наблюдается строгая закономерность в распределении азотобактера по вертикальной зональности. Как правило, с высотой количество его убывает (табл. 2).

В целинных горнолуговых черноземовидных почвах азотобактер не обнаружен. В темно-каштановой почве азотобактер встречается только в апрельских образцах.

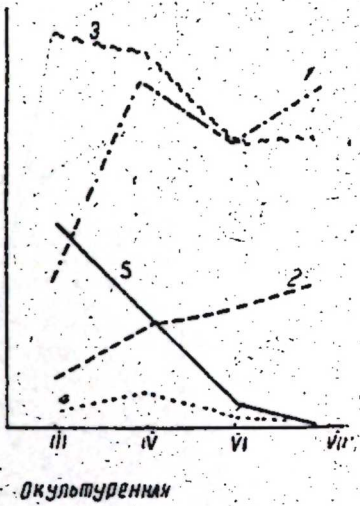
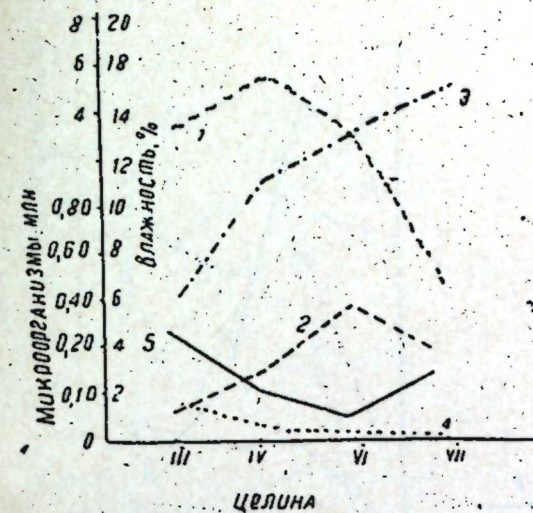


Рис. 1. Количество микроорганизмов в сероземе.
1—количество бактерий на МПА; 2—спороносные бактерии; 3—актиномицеты; 4—грибы; 5—влажность.

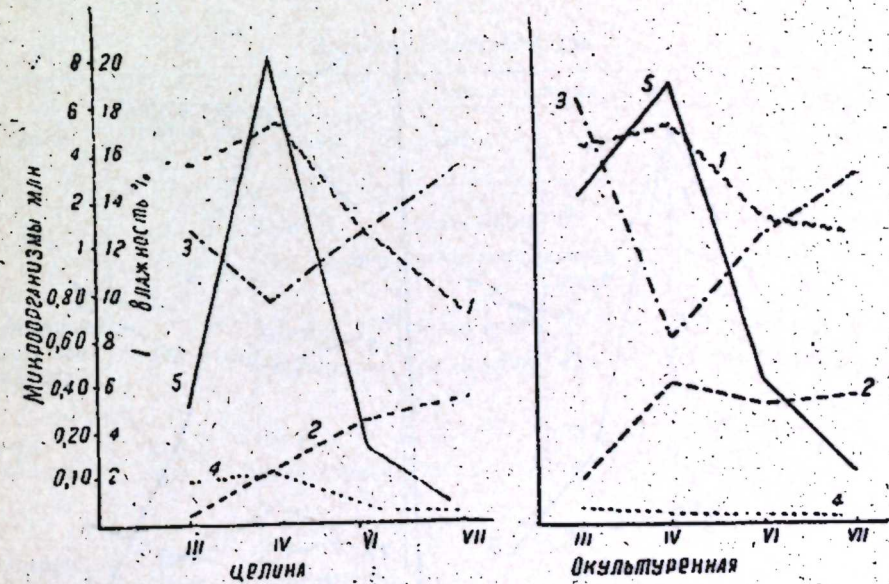


Рис. 2. Количество микроорганизмов в светло-каштановой почве.
(См. обозначения к рис. 1).

Результаты исследований нитрифицирующих бактерий в разные сроки наблюдения показывают, что в их распределении каких-либо закономерных изменений не наблюдается. Наибольшее количество нитрификаторов выявляется в почвенных образцах, взятых в июне (табл. 3).

В сероземной почве содержание нитрификаторов одинаково в апреле, июне и июле, в то время как в каштановой почве количество их достигает максимума только в июне.

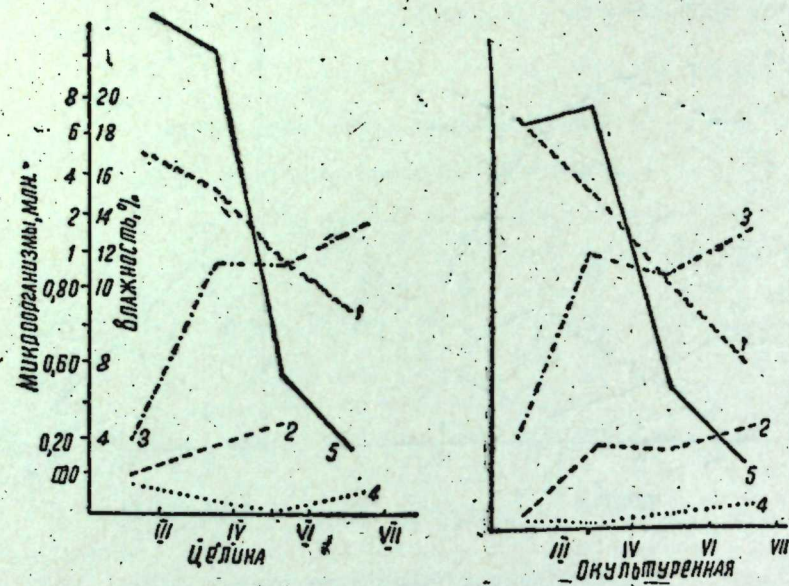


Рис. 3. Количество микроорганизмов в темно-каштановой почве. (См. обозначения к рис. 1).

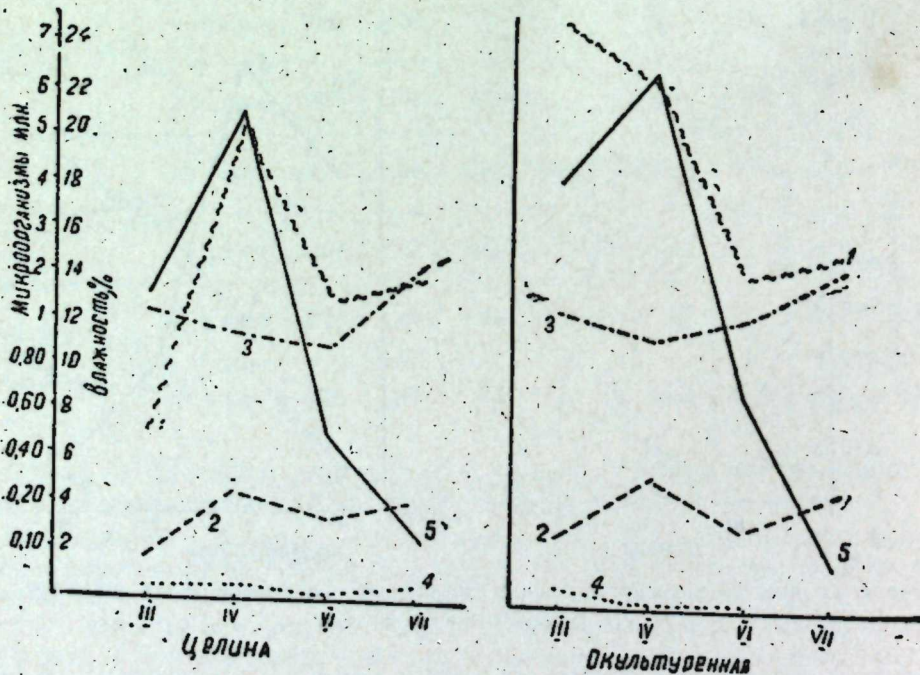


Рис. 4. Количество микроорганизмов в черноземе. (См. обозначения к рис. 1).

Заслуживают внимания результаты, полученные при исследовании видового состава микроорганизмов.

Из спороносных бактерий в сероземе и светло-каштановой почве наиболее часто встречаются *Bac. megatherium* и *Bac. idosus*.

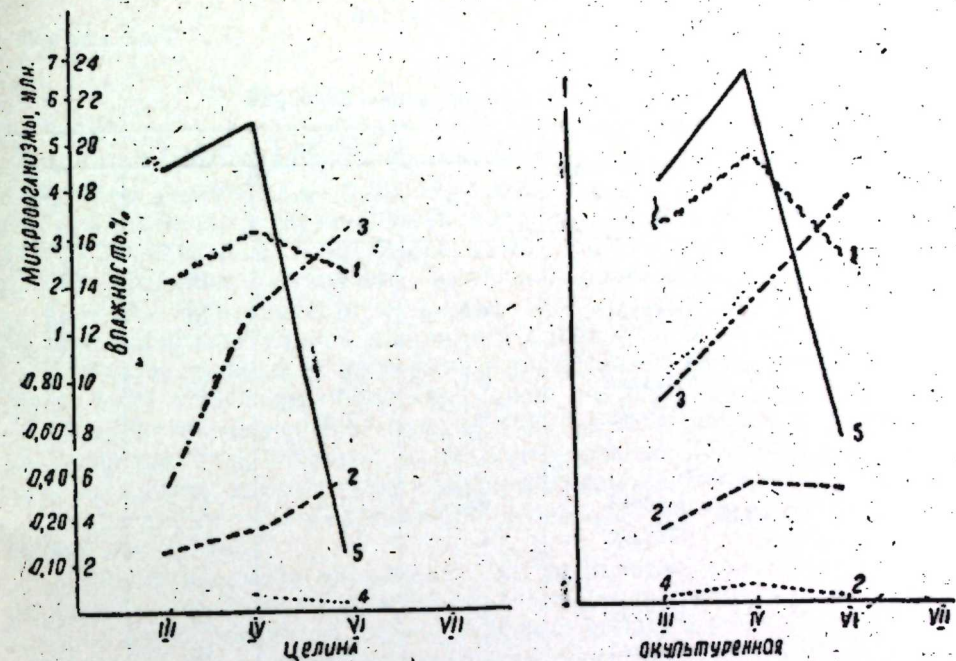


Рис. 5. Количество микроорганизмов в горнолуговой черноземовидной почве.

Таблица 2

Динамика азотобактера

Почва	Высота над уровнем моря, м	Состояние почвы	Число колоний на почвенной пластине			
			III	IV	VI	VII
Серозем	10—50	Целина Окультурен.	Очень много Очень много	50 Очень много	Очень много Очень много	Очень много Очень много
Каштановая давно орошаемая	400	Целина Окультурен.	Очень много Очень много	42 48	300 Очень много	30 250
Темно-каштановая	600—800	Целина Окультурен.	0 0	33 39	0 0	0 0
Чернозем	1400—1600	Целина Окультурен.	40 50	32 40	2 6	50 60
Горнолуговая черноземовидная	1800—2000	Целина Окультурен.	0 53	0 33	0 21	—

В темно-каштановой почве, наряду с указанными видами, в апрельских образцах обнаруживается в большом количестве и *Bac. cereus*.

В черноземе преобладающим видом является *Bac. idosus*. В горнолуговой черноземовидной обнаруживается в основном *Bac. megatherium*. *Bac. mycoides* чаще всего встречается в черноземе.

Таблица 3

Динамика нитрифицирующих бактерий

Почва	Высота над уровнем моря, м	Состояние почвы	В тыс. на 1 г. почвы:			
			III	IV	VI	VII
Серозем	10—50	Целина	0	10	10	10
		Окультур.	0	10	10	10
Каштановая давно орошаемая	400	Целина	0.1	1	10	1
		Окультур.	0.1	0.01	10	1
Темно-каштановая	600—800	Целина	0.1	10	10	1
		Окультур.	1	10	10	1
Чернозем	1400—1600	Целина	1	1	10	10
		Окультур.	1	1	10	10
Горнолуговая черноземовидная	1800—2000	Целина	0	10	10	—
		Окультур.	0	10	10	—

Наблюдалось различие и в видовом составе микроскопических грибов. Широко распространены во всех почвах представители родов *Penicillium*, *Aspergillus*, *Fusarium*, *Alternaria*, *Chaetomium*, *Stachybotrys*, *Dematiuum*.

Однако для каждой почвы характерна определенная доминирующая группа. Мукоровые грибы встречались во все сроки в сероземной почве. Они отмечены в июне и июле и в черноземе; *Stachybotrys* наиболее часто встречается в темно-каштановой и в черноземной почвах; *Spiearia* обнаружен в горнолуговой черноземовидной почве; *Artrobotrys*, *Dactylaria* отмечены только в черноземе.

Исследованные почвы содержат большое количество целлюлозоразрушающих бактерий и грибов. Количество грибов, принимающих участие в разложении целлюлозы значительно больше. Из грибов в сероземе часто встречаются представители родов *Stachybotrys*, *Chaetomium*.

В черноземной почве преобладают *Chaetomium Dematiuum*. В двух остальных доминируют роды *Stachybotrys*, *Chaetomium*, *Dematiuum*.

Из целлюлозоразрушающих бактерий чаще всего в исследуемых почвах встречаются *Cytophaga*, *Cellvibrio*. По составу целлюлозных бактерий и грибов светло- и темно-каштановые и горнолуговые черноземовидные почвы близки.

Н. Э. Меңдијева, Н. А. Мартиросова

Торпаг микрофлорасынын шагули зоналлығы нағында бә'зи мә'лumatлар

ХУЛАСЭ

Бу вахта гәдәр Азәрбајҹан торпагларынын микрофлорасынын шагули зоналлығы өјрәнилмәмишdir. Мәгаләдә боз (Абшерон); сохдан суварылан шабалыды (Гарабағ елми-тәчрүбә базасы); түнд шабалыды (Шамахы); гараторпаг (Кәдәбә]) вә дағ-чәмән гарамтыл (Кәлбәчәр) торпагларын микрофлорасынын шагули зоналлыгla әлагәдер олараг јаылмасы нағындақы материаллардан бәһс едилir.

Тәчрүбә үчүн торпаг нұмунәләри 1962-чи илин март, апрел, июн вә июл айларында хам вә ишләнмиш саһәләрдән көтүрүлмүшдүр.

Апарылан анализләр кәстәрмишdir ки, микроорганизмләр шабалыды вә түнд шабалыды торпагларда даға чохдур.

Микроорганизмләр боз торпагдан башлајараг шабалыды торпаглара гәдәр тәдричән чохалыр. Дәнiz сәвијїесиндән 1600—2000 м йүксәклијэ галхыгча микроорганизмләрин мигдары нисбәтән азалыр.

Торпагларын ишләнмәси микроорганизмләрин инкишафына мүсбәт тә'сир көстәрир.

Микроорганизмләр ичәрисиндә мигдарча әсас јери спорсуз бактеријалар тутур. Спорлу бактеријалар 5—10, актиномитсетләр 23—50%-и тәшкىл едир. Фаизчә ән аз микроскопик кебәләкләрdir.

Дәнiz сәтгіндиндән йүксәjé галхыгча азотбактерин сағы азалыр.

Нитрификасија бактеријаларынын јаылмасында неч бир ганунауј-ғунлуг геjд едилмәмишdir. Бу бактеријалар ән чох июн аյында геjд едилмишdir.

Тәдгигат апарылан торпагларда микроорганизмләр кеjfijjät ети-барилә дә нисбәтән фәргләнир.

Бу торпагларда селлүлозаны парчалајан микроорганизмләр кениш јаылмышдыр. Лакин бу процесдә кебәләкләрин ролу даға чохдур.

Селлүлозаны парчалајан микроорганизмләрдән ән чох раст кәләни ашағыдақыларды: *Cytophaga*, *Cellvibrio*, *Chaetomium*, *Stachybotrys*, *Dematiuum*.

БОТАНИКА

В. Ш. КУЛИЕВ

ЯДОВИТЫЕ И ВРЕДНЫЕ РАСТЕНИЯ ЗИМНИХ ПАСТБИЩ
АДЖИНАУРА

(Представлено академиком АН Азербайджанской ССР Г. А. Алиевым)

Зимние пастбища являются основной кормовой базой животноводства в Азербайджане (в течение 6 месяцев—с октября по апрель). Несмотря на большое хозяйственное значение зимних пастбищ в общем кормовом балансе республики, ядовитые и вредные растения на этих пастбищах остаются неизученными, и животноводство республики ежегодно несет большие потери из-за отравления животных этими ядовитыми растениями.

В задачу нашего исследования входит: изучение видового состава ядовитых и вредных растений, степень насыщенности ассоциации ядовитыми и вредными растениями, ареал распространения, степень ядовитости по fazам развития и некоторые меры борьбы с ядовитыми и вредными растениями.

С этой целью в 1959—1961 гг. нами были обследованы зимние пастбища Аджинаура¹. Полевое обследование зимних пастбищ Аджинаура проводилось детальному маршрутым методом: осенью, зимой и весной. Отмечены основные растительные группировки, пастбищные типы, произведено описание растительности и определена урожайность пастбищ. Во время обследования путем опроса животноводов, путем личного наблюдения и химического анализа алкалоидоносных растений собран материал по ядовитым и вредным растениям.

Определение содержания алкалоидов произведено в полевых условиях по методу В. С. Соколова (1948).

Растительный покров зимних пастбищ Аджинаура слагается в прямой зависимости от естественно-исторических факторов, которые обусловили развитие различных растительных группировок. В основном здесь развита полупустынная растительность, в меньшей степени распространена сухостепная и полустепная. В южной части окрестности озера Аджинаур распространена генгизовая полупустыня в виде небольшого пятна, которая переходит в полынно-вересковидно-солянковую и полынно-гэнгизовую полупустыню, опоясывающую озеро. Отсюда в юго-западном направлении от озера тянется полынно-верес-

ковидно-солянковая полупустыня в виде длинной и узкой полосы. На мелкоземистых и пологих склонах Аджинаура в Сарыджинских пастбищах встречается полынно-эфемеровая полупустыня. Значительную площадь на холмистой и горной части массива (пастбищные участки вблизи совхоза Даюз, окр. сел. Сучма-Гейбулах в Аджинауре) занимает бородачевая полустепь. Переходными группировками между бородачевой полустепью и полынной полупустыней являются полынно-бородачевая, полынно-ковыльная сухостепь, бородачево-ковыльная степь и чеврецовская степь.

Кроме этого, по склонам хребта, тянущегося параллельно оз. Аджинаур, встречаются заросли ксерофильных кустарников, наиболее распространенным представителем которых является можжевельник и другие кустарники. На речных террасах рр. Алазань и Агричай местами сохранилось аридное редколесье и небольшие массивы тугайного пойменного леса.

Наши маршрутные обследования показали, что ядовитые и вредные растения распространены по всей территории зимних пастбищ Аджинаура. Обычно большинство из них встречаются рассеяно и не представляют опасности для сельскохозяйственных животных, но нередко, распространяясь обильно на значительных площадях, они снижают ценность пастбищ и представляют опасность, особенно в ранневесенний период.

В результате химического анализа обнаружилось, что 30 видов содержали алкалоиды в различных своих органах,

В настоящей статье мы приводим краткую характеристику некоторых ядовитых и вредных растений зимних пастбищ Аджинаура.

Ядовитые растения содержат в своих органах различные ядовитые вещества. Живокость восточная (*Delfinium orientale* J.) содержит очень ядовитый алкалоид—дельфинин. На пастбищах скотом обычно не поедается, но является опасным для выпасающихся животных.

Виды лютика считаются ядовитыми растениями, особенно в свежем состоянии они опасны для всех сельскохозяйственных животных и часто вызывают отравления. Лютик ядовитый—самый опасный из всех лютиков.

Василисник малый (*Thalictrum minus* L.) содержит сильно действующее вещество—таликтрин. Василисник малый на пастбищах скотом не поедается.

Чистотел большой (*Chelidonium majus* L.) является сильно ядовитым растением, млечный сок которого содержит многочисленные алкалоиды. Скотом обычно не поедается. При поедании его животное сильно отравляется и погибает. Мясо животных, отравленных чистотелом, опасно для человека. Кроме того, сок чистотела раздражает кожу и иногда вызывает нарыва.

Гебелия листохвостная (*Gobelia alopecnroides* L.) обладает остро-горьким вкусом и скотом не поедается. Содержит алкалоиды—софоридин и софомарин.

Линь австрийский (*Linum austriacum* L.) на пастбищах скотом совсем не поедается, считается ядовитым. Содержит ядовитый глюкозид-линин.

Молочай солнцегляд (*Euphorbia helioscopia* L.). Встречающиеся виды молочая очень ядовитые растения. Млечный сок их содержит ядовитое вещество—эуфорбин. Представляет опасность для всех животных.

Белена черная (*Hyoscyamus niger*)—сильно ядовитое растение, во всех частях своих содержащая алкалоиды и глюкозиды. На пастбищах скотом не поедается из-за неприятного запаха.

¹ Работа выполнена под руководством чл.-кор. АН Азерб. ССР А. М. Кулиева.

Ломонос восточный (*Clematis orientale*) обладает жгучим соком, острый запахом, который вызывает слезотечение, слюноточение. Отравлений животных не наблюдалось. В химико-фармакологическом отношении азербайджанские ломоносы еще недостаточно изучены.

Гармала (*Peganum harmala* L.)—ядовитое растение, содержит алкалоид гармалин и др. Кроме этого, обладает резким неприятным запахом и горьким вкусом, поэтому обычно скотом не поедается. Считается ядовитым для скота. В случае поедания вызывает отравление животных.

Горчак (*Acropitilon Picris* C. A. M.) встречается группами и рассеяно. Особенно ядовит во время бутонизации и цветения. Отравление наблюдается у лошадей.

Парнолистник обыкновенный (*Lygophyllum fabago* L.) встречается группами на сухих засоленных почвах и у жилья. Все растения имеют неприятный, отталкивающий запах и едкий вкус. Скотом не поедается и считается ядовитым. Содержит следы алкалоидов. Местами на зимних пастбищах образует большие заросли.

Ежовник безлистный (*Anabasis aphylla* L.) и встречающийся местами хвойник двухколосковый (*Ephedra distachya* L.)—ядовитые растения. Ежовник безлистный содержит алкалоид анабазин, главным образом в молодых зеленых веточек. При поедании их наблюдается отравление животных ранней весной.

Кроме того, к числу ядовитых и непоедаемых растений следует отнести: пыльнистник мохнатый (*Haplophyllum villosum* (M. B.) W D. o.), ладьевидник укропный (*Cymbocarpum anethoides* D. C.), подорожникоцветник колосковидный (*Psylliostachys spicata* (Willd.) Nevski), железнница горная (*Sideritis montana* L.), рогоглавник серповидный (*Ceraticephalus falcatus* Pers.), горицвет летний (*Adonis aestivalis* L.), горицвет пламенный (*A. flammeus* jacq.), горицвет Бинерта (*A. Bienertii* Butk.), глициум рогатый (*Glaucium corniculatum* (L.) Curt.), клоповник проиженный (*Lepidium perforatum* L) и др.

Эти виды растений можно отнести к растениям менее ядовитым или же неядовитым, но окончательно не изученным.

Из вредных растений можно указать на держи-дерево (*Palmaria spinosa-christi* Mill.), можжевельник продолговатый (кавказский) (*Iniperus oblonga* M. B.), можжевельник тяжелопахучий (*J. foetidissima* Willd.), ноза (*Noaea mucrononata*), курчавка *Atrapahakis spinosa*, ежик (*Acantholimon lepturoides*), расторопша (*Silybum marianum*), цистанхе рассечённая (*Cistanche fissa*), бодяк (*Cirsium arvense*). Все они, имея колючие листья и кусты, скотом на пастбищах не поедаются. В случае поедания образуют механические повреждения кожи и слизистой оболочки пищеварительного тракта.

На зимних пастбищах Аджинаура встречается три вида ковыля: (*Stipa Lessingiana*)—ковыль Лессинга, (*S. capillata*)—ковыль волосатик, (*S. pulcherrima*)—ковыль красивый, которые в молодом состоянии в небольшом количестве поедаются овцами. Ранней весной в начале цветения стебли и листья их грубеют и поэтому не поедаются животными. Во время плодоношения твердые, острые, со щетинками плоды ковыля портят шерсть и повреждают тело животных, что нередко приводит их к гибели. Поэтому на тех пастбищах, где распространены ковыль, скот следует выпасать в два срока: весной до начала колошения и осенью после опадания плодов у ковыля.

Из дикорастущих ячменей ячмень длинноволосый (*Hordeum crinatum*) и ячмень заячий (*H. leporinum*) входят в состав полупустынного эфемеретума, встречаются на сухих глинистых и каменистых скло-

нах, в местах, заваленных мусором. В молодом состоянии они поедаются скотом. После цветения грубеют и становятся опасными для овец; жесткие ости их портят шерсть овец и ввинчиваются в их кожу. Выпас скота на пастбищах, где преобладают эти растения в период их плодоношения, не рекомендуется.

Таким образом, на зимних пастбищах Аджинаура распространено 75 видов ядовитых и вредных растений. Поэтому необходимо вести борьбу с ними. Особого внимания в борьбе с ядовитыми и вредными растениями заслуживает применение гербицидов.

ЛИТЕРАТУРА

1. Аббасов Р. М., Исмаилов Н. М., Рзазаде Р. Я. Предварительные данные по изучению флоры Азербайджана на содержание алкалоидов. Труды Ин-та ботаники АН Азерб. ССР, т. XIX, 1955.
2. Гусинин И. А. Токсикология ядовитых растений. Сельхозгиз, 1962.
3. Исаев Я. М. Паспортизация естественных коровьих угодий Азербайджана. Труды бот. ин-та АН Азерб. ССР, т. XV, 1950.
4. Сахокиа М. Ф. Очерк растительности зимних пастбищ Щекинского нагорья. Баку, 1931.
5. Флора Азербайджана т. I, VIII, Изд. АН Азерб. ССР, 1950—1961.
6. Ядовитые растения лугов и пастбищ. АН СССР. 1950.

Азербайджанский сельскохозяйственный институт

Поступило 25. XII 1963

В. Ш. Гулиев

Ачыноур гыш отлагларынын зәһәрли вә зәрәрли биткиләри

ХУЛАСӘ

АЗӘРБАЙЧАНЫН ӘН МҮҢҮМ ГЫШ ОТЛАГЛАРЫНАН БИРИ ДӘ АЧЫНОУР ГЫШЛАГЛАРЫДЫР. Мәгаләдә Ачыноур гышлагларынын јем базасындакы әһәмийјәти, битки өртујү, битки өртујүндә әсас јер тутан зәһәрли вә зәрәрли биткиләри изән едилир вә көстәрилир ки, сәмәрәсиз истифадә едиilmә вә јаҳшылашдырма ишләринин апарылмасы гышлагларда зәһәрли вә зәрәрли биткиләрин чохалмасына сәбәб олмуштур.

Мәгаләдә 75 зәһәрли вә зәрәрли битки нөвүнүн мүәјжән едиilmәси гејд едилир. Бу биткиләрә гарыш мубаризә апарылмасы учун һербисидләрин тәтбиғи әсас шәрт олараг ирәли сурулур.

ПОЧВОВЕДЕНИЕ

Х. М. МУСТАФАЕВ

О ГИДРОЛОГИЧЕСКОЙ РОЛИ ЛЕСНОЙ ПОДСТИЛКИ
РАЗЛИЧНЫХ ПОРОД

(Представлено академиком АН Азербайджанской ССР Д. М. Гусейновым)

В горных районах лесная растительность является самым мощным средством регулирования поверхностного стока и прекращения эрозионных процессов. Она, поглощая выпадающие атмосферные осадки, тем самым способствует благоприятному водному и гидрологическому режиму горных массивов и низменности. Гидрологическая роль лесов обусловлена совместным воздействием надземной, подземной части растительности и лесной подстилки. Последняя, являясь своего рода регулятором, обуславливает высокую фильтрационную способность лесных почв, предохраняет их от залежания и заплывания. Лесная подстилка создает на поверхности почвы огромное количество микропонижений и микроповышений, которые при появлении поверхностного стока распыляют ее, и вода медленно просачивается в почву.

Лесная подстилка оказывает также существенное влияние на почвообразовательный процесс. По данным Г. А. Харитонова (1958), из опавших листьев различных пород атмосферными осадками выносится известь от 3,03 до 20,89 гр. на 1 кг сухих листьев.

Большое влияние лесная подстилка оказывает и на состав минеральных источников. Среди присущих лесной подстилке свойств большое значение имеет ее почвозащитная и гидрологическая роль.

Исходя из этого часто считают, что для сохранения почвы на склонах следует создавать насаждения любой растительности, лишь бы она была достаточно густой, чтобы защитить почву от разрушения, смыва и размыва. В известной степени это безусловно правильно. Однако анализ гидрологической роли лесной подстилки различных древесно-кустарниковых пород показывает, что она у различных пород неодинакова. Поэтому необходимо учитывать это положение при создании противоэрозионных лесонасаждений на эродированных склонах.

Гидрологическая роль подстилки (влагоемкость и водовместимость) исследована и изучена достаточно Г. Ф. Морозовым (1926), Р. Зонном (1931), Н. С. Нестеровым (1952), Н. Ф. Созыкиным (1941), Г. А. Харитоновым (1958), М. Ю. Халиловым (1962) и др. в различных частях Союза.

В горных же условиях эта роль лесной подстилки изучена недостаточно полно. Для восполнения пробела в 1963 г. нами изучалась гидрологическая роль лесной подстилки различных пород в естественных насаждениях и в лесокультурах возраста 14—26 лет. Повторность опытов 3-кратная.

Таблица 1

Влагоемкость и водовместимость лесной подстилки различных пород

Порода и место взятия подстилки	Влагоемкость, %			Водовместимость, мм		
	после 10-минутного дождевания	после 20-часового намачивания	после 40-часового намачивания	после 10-минутного дождевания	после 20-часового намачивания	после 40-часового намачивания
Дуб естественный. Лес. Нуха	165	344	351	11,88	24,77	25,27
Клен широколистственный. Культура посадки 1951 г. Исмаиллы	227	376	411	6,13	10,15	11,10
Клен широколистственный. Культура посадки 1953 г. Нуха	261	380	420	9,39	13,68	15,12
Лещина. Плантация. Закаталы	217	341	350	6,51	10,23	10,62
Бук естественный лес. Нуха	166	245	268	4,73	6,98	7,64
Яблоня, культура посадки 1953 г. Нуха	164	294	308	2,79	4,99	5,24
Тополь естественный. Нуха	200	347	377	5,40	6,21	8,87
Абрикос. Культура посадки 1953 г. Нуха	192	322	—	5,18	8,69	—
Акация белая. Культура посадки 1951 г. Нуха	211	322	341	5,38	8,21	8,70
Каштан. Культура посадки 1938 г. Закаталы	153	218	224	5,81	8,66	8,51
Сосна. Культура посадки 1938 г. Нуха	130	132	197	2,64	3,94	4,06
Сосна. Культура посадки 1953 г. Нуха	136	231	233	2,72	4,62	4,66

Как видно из данных, приведенных в таблице, наибольшее количество влаги лесная подстилка исследуемых пород поглощает в течение первого 10-минутного дождевания и 20-часового намачивания. При 40-часовом намачивании влагоемкость подстилки изменяется незначительно. Так, при 10-минутном дождевании влагоемкость подстилки дуба составила 165%, при 20-часовом — 344%, а при 40-часовом — 351%. Такая же закономерность была выявлена и для подстилок других пород.

Таким образом, наибольшее количество воды поглощается лесной подстилкой в течение первых 20 часов. При этом вода, просочившись в толщу лесной подстилки, распределяется между ее слоями, которые обычно имеют рыхлое сложение. После насыщения подстилки до состояния полной влагоемкости подстилка сильно увеличивается в объеме. Излишек воды, не поместившийся между ее элементами под влиянием силы тяжести, постепеннодвигается вниз до поверхности почвы и фильтруется через нее.

Как видно из приведенных данных, после 10-минутного дождевания наибольшей влагоемкостью характеризуется подстилка лиственных

пород: клена—227—261%, лещины—267%, тополя—200%, бука—166%* дуба—165%. Наименьшая влагоемкость наблюдалась у хвойных пород (сосна—130—136%). В дальнейшем при 20-часовом намачивании влагоемкость в подстилке дуба увеличилась в 2 раза, что указывает на большую влагозадерживающую способность ее по сравнению с другими породами, за исключением клена. В данном случае по способности поглощать воду клен и дуб занимают первое место. Водопоглощение подстилкой клена при 20-часовом намачивании было в 3,7—3,8 раза больше веса ее. Подстилка дуба при 20-часовом намачивании поглощает воды в 3,1 раза больше своего веса.

Большая водопоглащающая способность была выявлена у подстилки акции и тополя.

Подстилка сосны поглощает наименьшее количество влаги, только в 2 раза больше своего веса. Высокая водопоглащающая способность подстилки лиственных пород по сравнению с хвойными объясняется тем, что у лиственных подстилка обычно имеет рыхлое сложение—элементы ее образуют многочисленные породы, в то время как у хвойных пород подстилка имеет плотное сложение.

Хвоя сосны ввиду ее жесткости характеризуется меньшей влагопоглащающей способностью, что сказывается на низкой влагоемкости всей подстилки.

Как видно из приведенных данных, водопоглащающая способность подстилок лесных культур, созданных в 1951—1953 гг. в Нухинском и Исмаиллинском районах, немногим отличается от водопоглащающей способности подстилок естественных лесов, а у отдельных пород лесных культур—даже больше. Это положение позволяет отметить, что у лесных культур по мере накопления лесной подстилки повышается ее гидрологическая роль.

Проведенные исследования показали, что подстилка различных пород характеризуется весьма различной водовместимостью. Так, лесная подстилка мощностью 1,5—5,0 см способна задерживать при 10-минутном дождевании 2,64—11,88 мм, при 20-часовом намачивании—3,94—24,77 мм и при 40-часовом намачивании—4,96—25,27 мм воды.

Наибольшей водовместимостью отличается подстилка лиственных пород (2,70—11,88 мм), а наименьшей—подстилка хвойных (2,64—2,72 мм).

Выявлено, что лесная подстилка тех или иных пород при 10-минутном дождевании и при 20-часовом намачивании поглощает наибольшее количество осадков. В дальнейшем поглощение воды подстилкой падает, и после 20-ти часового намачивания количество задерживаемой воды незначительно. Как видно из приведенных данных, наибольшей водовместимостью при 20-минутном дождевании и при дальнейшем намачивании характеризуется подстилка дуба водовместимостью в 1,2—4,6 раза больше, чем у бука, клена, лещины, яблони и других пород.

Водовместимость лесной подстилки лесокультур, посаженных в 1951 г., соответствует водовместимости подстилки естественных лесов, а иногда даже превышает ее. В данном случае это зависит от биологии самих пород и мощности подстилки.

На основе проведенных исследований выявлено, что водовместимость лесной подстилки отдельных пород (при мощности ее 1,5—5,0 см) такова: дуба—11,88 мм, клена—9,39 мм, каштана—5,81 мм, тополя—5,40 мм, акции белой—5,38 мм, абрикоса—5,18 мм, бука—4,73 мм, яблони—2,79 мм, сосны—2,72 мм.

При создании противоэррозионных лесонасаждений с учетом всех факторов предпочтение необходимо отдать лиственным породам, т. к.

их подстилка имеет большую гидрологическую значимость. Высокую водопоглощающую способность подстилки лиственных пород можно оценить двояко. Ввиду большой ее влагоемкости слабый поверхственный сток не создает опасности смыва почвы, т. к. через нее полностью просачиваются осадки. При обильных ливневых дождях, которые могут образовывать мощный сток, поглощение воды подстилкой способствует уменьшению стока и тем самым предохраняет почву от смыва.

ЛИТЕРАТУРА

1. Зони Р. Леса и воды в свете научных исследований Тифлис, 1931.
2. Морозов Г. Ф. Учение о лесе. Л., 1926.
3. Нестеров Н. С. Леса и наводнения. М., 1952.
4. Коблев Ю. И. Водные свойства лесной подстилки в противоэррозионных насаждениях. Сб. ВНИАЛВШ, Волгоград, 1960.
5. Созыкин Н. Ф. Гидрологическое значение лесной подстилки. Тр. ВЦИИЛХ, вып. 27. т. 1, 1941.
6. Харитонов Г. А. Агролесомелиорация Средне-Русской возвышенности. Воронеж, 1958.
7. Тарасашвили Г. М. Горнолесные и горнолуговые почвы восточной Грузии. Тбилиси, 1956.
8. Халилов М. Ю. Противоэррозионная голь лесной подстилки в горнолесной зоне Куткашенского района. Изв. АН Азерб. ССР, биол. серия, № 1, 1962.

Институт почвоведение и арохими

Поступило 1. VI 1964

Х. М. Мустафаев

Мұхтәлиф аач-кол чинсләри мешә дәшәнәјинин һидроложи ролу һағында

ХҮЛАСӘ

Дағ раёнларында йерләшән мешәләрдә мешә дәшәнәјинин һидроложи ролу бөјүкдүр. Мешә дәшәнәји јұксәк су сыздырмата малик олуб, дүшән յағынтылары һопдурааг, торпағы յујулмадан вә дагылмагдан мудафиә едир. Тәдгигатлар көстәрик ки, мұхтәлиф аач-кол чинсләри мешә дәшәнәјинин һидроложи (сусахлама вә су тутуму) ролу да мұхтәлифдір. Белә ки, 10 дәғиге әрзинде յағынты дүшдүкдә ағчагајын дәшәнәји 227—216%, фындыг дәшәнәји 267%, фыстығ дәшәнәји 160% вә палыд дәшәнәји 165% су сахлајыр. Иjnәjарпаглы ағачларын (шам) сусахлама габилиїтти енилжарпаглы ағачларын дәшәнәјине иисбәтән зәиф олуб, 132—136% тәшкил едир.

Мешә дәшәнәјинин јұксәк сусахлама габилиїтти биринчи 10 дәғиге әрзинде мұшаңидә олур. Мешәнин тәркибиндән асылы оларғ дәшәнәјин су тутуму 2,64—11,88 мм (биринчи 10 дәғигедә) вә 4,62—24,77 мм (20 saat әрзинде суда сахланығыда) арасында дәјишир. Эн јұксәк су тутумуна палыд дәшәнәји маликдір. Тәдгигатлар көстәрик ки, мешә әкни вә тәбии мешәләрні дәшәнәји сусахлама вә су тутумуна көрә өзү аз фәргләнир. Бу да ону көстәрик ки, мешә әкнинде дәшәнәк әмәлә көләндән онун һидроложи ролу јұксәлір.

Иjnәjарпаглы ағачларын мешә дәшәнәји енилжарпаглара иисбәтән зәиф су тутуму илә сәчиijәләндірилір. Оларын һидроложи ролу зәиф олур. Буна көрә дә дағ раёнларында ерозија, гаршы мешә салдығыда әсас етибарила енилжарпаглы ағач чинсләри әкмәк лазымдыры.

ГЕНЕТИКА

С. Б. ГУСЕЙНОВ

ВЛИЯНИЕ РАЗЛИЧНЫХ УСЛОВИЙ НА РОСТ, САХАРИСТОСТЬ И ПРОДУКТИВНОСТЬ САХАРНОЙ СВЕКЛЫ

(Представлено академиком АЧ Азгрбайджанской ССР И. К. Абдуллаевым)

Многократными опытами установлено, что условия выращивания резко влияют на изменение корнеплода сахарной свеклы (И. Ф. Бузанов, 1960). Однако ввиду неизученности в существующей литературе до сих пор отсутствуют данные, подтверждающие изменчивость свеклы при выращивании в различных условиях Азербайджана. Поэтому мы задались целью изучить влияние различных условий на рост, сахаристость и продуктивность сахарной свеклы в различных почвенно-климатических условиях нашей республики (в Кедабекском и Шамхорском районах).

Прежде чем перейти к изложению результатов экспериментальных работ по этому вопросу, вкратце остановимся на описании почвенно-климатических условий.

Шамхорский район расположен на высоте 411 м над ур. м. Среднемесечная температура воздуха в апреле составляет 10,1°C, в августе 30,6°C. Морозов не наблюдается. Количество осадков, выпадающих преимущественно в виде дождя, по многолетним данным составляет 334 мм, а в 1963 г.—450 мм. Почва здесь каштанового типа с содержанием 3–4% гумуса.

Кедабекский район расположен в горной зоне на высоте 1750 м над ур. м. Продолжительность безморозного периода составляет 179–180 дней. Среднемесечная температура воздуха (в апреле) 6,8°C. В середине вегетации 22,4°C. Среднегодовое количество осадков составляет 550–600 мм. Почвы Кедабекского района в основном черноземные с содержанием 7–8% гумуса.

Для изучения данного вопроса в условиях Кедабека испытывалось 7 сортов, из них 4 сахарных, 3 кормовых; в условиях Шамхора на поливе—4 сорта сахарной свеклы. В Кедабекском районе посев проводился при первой возможности выхода на поле, а в Шамхоре—в первой декаде апреля.

Опыты показали, что в условиях Кедабека всходы появляются через 15–20 дней после посева, в Шамхорском районе—через 6–8 дней. Причиной этого является разность температур воздуха, оказы-

вающая влияние не только на период посев—всходы, но и на другие межфазные периоды.

Однако следует отметить, что хотя сравнительно низкая температура в период посев—всходы в Кедабекском районе более затяжная, чем в Шамхорском районе, однако период созревания свеклы наступает в обеих зонах одновременно. После образования 4–5 пар настоящих листьев как в Кедабеке, так и в Шамхоре через каждые 15 дней брали пробы, производили взвешивание корнеплодов и определяли сухое вещество и содержание сахара. Результаты опытов показали, что в условиях Кедабека в начале вегетации рост свеклы идет очень медленно, а в условиях Шамхора, наоборот, интенсивнее. (табл. 1).

Таблица 1

Динамика формирования корнеплода у свеклы в различных условиях возделывания (вес в г)

Сорта	В условиях Кедабека								
	30. IV	16. VII	30. VII	15. VIII	30. VIII	15. IX	30. IX	15. X	
Р-036	1,5	34,2	63,0	376,4	842,0	1182,8	1445,7	1516,2	
БЦ (оди. сем.)	1,4	27,5	58,3	376,7	818,8	1088,8	1370,1	1430,6	
В-038	1,7	25,7	68,5	394,8	830,6	1168,7	1409,8	1496,2	
П-028	1,6	26,1	84,0	434,4	811,3	1135,3	1413,2	1483,6	
Баррес	2,1	27,7	92,2	452,4	1068,1	1860,7	2618,9	2396,1	
Эккендорф- ская желтая	1,7	26,7	101,3	470,9	1120,8	1864,2	2509,7	2660,4	
Эккендорф- ская красная	1,6	29,8	94,9	442,4	1140,4	1841,0	2349,2	2293,0	

	В условиях Шамхора								
	10. VII	25. VII	10. VIII	25. VIII	10. IX	25. IX	10. X	25. X	
Р-036	14,8	160,5	479,4	846,5	1341,8	1682,4	1811,7	1842,4	
БЦ (оди. сем.)	14,1	126,2	441,1	817,4	1294,3	1596,3	1798,1	1817,6	
В-038	14,4	127,4	472,6	834,7	1334,1	1619,7	1781,4	1822,7	
П-028	14,7	134,5	486,3	848,9	1362,5	1647,3	1847,8	1861,7	

Из табл. 1 видно, что в связи с постепенным повышением температуры, увеличивается среднесуточный прирост корнеплода. Это особенно наблюдается в начале вегетации в условиях Шамхора и в середине вегетации в условиях Кедабека.

Все испытуемые сорта отличаются друг от друга по интенсивности роста, и как закономерное явление до конца вегетации рост идет неодинаково.

Нами установлено, что в начале вегетации свекла отличается меньшим количеством листьев на одном растении и меньшей площадью листа; в середине вегетации резко увеличивается как количество листьев, так и листовая поверхность, а к концу вегетации в связи с высыханием листьев количество их сравнительно уменьшается. Так, в начале и в конце вегетации рост корнеплода идет сравнительно медленно, а в середине вегетации—интенсивно.

Кроме того, условия выращивания резко влияют на урожайность корней и сахаристость свеклы. Результаты опытов показывают, что с увеличением высоты местности уменьшается урожайность и сахаристость корня (табл. 2). Продуктивность свеклы в условиях Шамхора более высокая, чем в условиях Кедабека.

Таблица 2

Влияние условий на продуктивность свеклы

Сорта	В условиях Кедабека				
	Густота насаждения (в тыс.)	Урожай корней, ц/га	Сахаристость	Сбор сахара, ц/га	Сбор кормовых единиц, ц/га
Р-036	40	391,3	17,8	69,65	105,74
БЦ (одн. сем.)	40	375,8	16,4	63,91	97,71
В-038	40	389,7	16,6	64,69	101,32
П-028	40	382,5	17,6	67,42	94,45
Баррес	40	431,2	7,9	34,06	51,74
Эккендорфская желтая	40	419,8	8,6	35,10	50,38
Эккендорфская красная	40	420,5	8,9	37,42	50,46

В условиях Шамхора					
Сорта	Густота насаждения (в тыс.)	Урожай корней, ц/га	Сахаристость	Сбор сахара, ц/га	Сбор кормовых единиц, ц/га
Р-036	40	497,8	19,6	97,56	129,43
БЦ (одн. сем.)	40	405,7	18,5	75,06	105,48
В-038	40	477,8	18,6	88,85	124,23
П-028	40	493,9	20,3	100,26	128,41

Анализ полученных данных опытов по изучению влияния различных климатических условий на рост растений выявил коррелятивную связь между развитием и высыханием листьев и формированием корнеплода.

Таким образом, можно прийти к заключению, что с повышением высоты местности над уровнем моря существенно снижается продуктивность и сахаристость свеклы и рост растений, особенно корня, уменьшается. Влияние высоты местности по своему характеру сходно с увеличением климатических условий на рост свеклы при продвижении ее с юга на север. С увеличением высоты местности (Кедабек) сахаристость корня свеклы снижается с 19,6% до 17,8%, т. е. на 1,8% по сорту Р-36.

Результаты проведенных опытов дают основание заключить, что изменение климата в связи с высотой местности над уровнем моря оказывает закономерное влияние на вес, сахаристость и продуктивность свеклы.

Наши данные еще раз подтверждают выводы академика И. Ф. Бузанова в том, что пластические вещества, идущие на построение тела растения, распределяются неодинаково между его органами: на юге их больше притекает в корень, на севере они больше используются растением как строительный материал в листьях.

Результаты опытов показывают, что хотя в условиях районов проведения исследований получен более высокий урожай, отличающийся сахаристостью и другими качествами, чем во многих зонах свеклосеяния, однако закономерность изменения продуктивности в зависимости от вертикальной зональности сохраняется.

Выходы

1. Климатические условия Кедабекского и Шамхорского районов являются вполне благоприятными как для роста сахарной свеклы, так и для интенсивного образования и отложения сахара в корне.
2. Результаты опытов показали, что в условиях Кедабека продуктивность сахарной свеклы в несколько раз больше, чем кормовой.
3. Сравнительное изучение испытуемых сортов (по сахаристости и продуктивности) показали, что сорт Р-036 и П-028 превосходят остальные.
4. Продуктивность свеклы в условиях Кедабека сравнительно меньше, чем в Шамхоре, что объясняется влиянием высоты местности.

Институт генетики и селекции

С. Б. Нусеинов

Мүхтәлиф иглим шәраитинин чуғандурун бөјүмәсинә, шәкәрлилигинә вә мәңсүлдарлығына тә'сири

ХУЛАСӘ

Мүхтәлиф торпаг-иглим шәраитинин чуғандурун бөјүмәсинә, шәкәрлилигинә вә мәңсүлдарлығына тә'сирини өјрәнмәк мәгсәди иле Кәдәбәј вә Шамхор раionлары әразисинде тәчрүбә апармышыг.

Апарылмыш тәчрүбә ишләринин нәтичәләри көстәрир ки, Кәдәбәј вә Шамхор раionлары шәраити шәкәр чуғандурундан йүксәк мәңсүл көтүрмәк учун әлверишилди.

Тәчрүбәнин нәтичәләри шәкәр чуғандуру сортларының јем чуғандуру сортларынан хејли үстүн тәсәррүфат көстәричиләrinә малик олдуған тәсдиг едир. Шәкәр чуғандуру сортларының hәр ики шәкәрләт мұғајисәли сурәтдә өјрәнилмәси көстәрди ки, Р-036 вә П-028 сортлары галан сортлардан даға үстүн көстәричијә маликдир.

Алынмыш нәтичәләрин анализи көстәрир ки, Шамхор шәраитинең нисбәтән Кәдәбәј шәраитиндә чуғандурун мәңсүлдарлығы, шәкәрлилиги вә бөјүмәси нисбәтән аз олур.

ГЕНЕТИКА

И. М. АХУНД-ЗАДЕ, М. М. БАБАЕВ

**ПРОДОЛЖИТЕЛЬНОСТЬ ЖИЗНИ ЛИСТЬЕВ ЛАВРА
БЛАГОРОДНОГО В ПРИКАСПИЙСКИХ СУБТРОПИКАХ**

(Представлено академиком АН Азербайджанской ССР И. К. Абдуллаевым)

Наиболее ценной частью лавра благородного являются листья, широко используемые в пищевой промышленности, на предприятиях общественного питания населения, а также в медицине и фармакологии. Поэтому точное выявление продолжительности жизни листа лавра благородного в конкретных условиях внешней среды имеет большое значение.

Как известно, у древесных и кустарниковых растений в зависимости от происхождения, эволюционного развития и индивидуальных особенностей периодически происходит смена листьев. По циклам периодической смены листьев растения делятся на листопадные и вечнозеленые. Некоторые авторы (Г. И. Поплавская, 1948; Ф. С. Яковлев, 1948 и др.) к листопадным растениям применяют термин летозеленые, а к вечнозеленым — зимозеленые.

И. М. Ахунд-заде (1956), исходя из продолжительности нахождения листьев на растении, делит их на три группы: летозеленые, зимозеленые и вечнозеленые.

Под летозелеными имеются в виду растения, у которых листья появляются в начале вегетации, обычно весной, и держатся до их опадения. Листопад у них происходит осенью текущего года. К зимозеленым относятся растения, у которых начало листопада наступает весной следующего года и завершается в первой половине следующей вегетации. Под вечнозелеными подразумеваются растения, у которых листья держатся более одного или по нескольку лет.

При такой группировке лавр благородный относится к вечнозеленым растениям.

Однако до сир пор в прикаспийских субтропиках не было известно, когда же именно у этого растения происходит смена листьев, в связи с чем вопрос этот изучался нами в течение 1958—1961 гг. Работа проводилась в Астаринском совхозе субтропических культур.

Методика

Было выделено 5 деревьев одной из широкораспространенных разновидностей лавра благородного — ундулата (*Laurus nobilis* var. *undulata* Monil.). На каждом дереве выделялось по 12 однолетних

побегов текущего периода, на которых этикетировалась все имеющиеся листья. Опыты проводились на богаре и поливе. Два раза в месяц проводился учет оставшихся и опавших листьев. Ежегодно весь полученный материал обрабатывался и делались соответствующие заключения.

Результаты исследования

Опыты показали, что опадание листьев у лавра благородного в прикаспийских субтропиках, так же как и в других районах, носит последовательно периодический характер.

В наших опытах и на поливе, и на богаре листья в первый вегетационный период не опадают. Единичные листья начинают опадать на 12—15-м месяце после их появления. Опадение же основной массы листьев лавра благородного начинается в третий вегетационный период. На поливе листосмена происходит более медленными темпами, начинаясь в апреле третьего вегетационного периода. Она медленно протекает, задерживаясь в зимние месяцы и полностью завершается лишь в июле четвертого вегетационного года. Некоторая часть листьев опадает уже на второй год жизни, причем на поливе остаются единичные, а на богаре в нашем опыте более 16% учетных листьев. Наиболее интенсивное опадение листьев на поливе наступает в июле третьего вегетационного периода. В течение этого месяца опадает около 38% от числа оставшихся в предыдущем месяце листьев.

Периоды листосмены у лавра благородного характеризуются в приведенной таблице.

Как видно из данных таблицы, общая продолжительность индивидуальной жизни листьев лавра благородного в прикаспийских субтропиках колеблется от 11 до 29, а на поливе — от 14 до 37 месяцев.

Периоды листосмены у лавра в прикаспийских субтропиках

Годы учета	Количество учетных листьев	Количество листьев на учетных ветвях по месяцам наблюдений в годичном цикле											
		1	2	3	4	5	6	7	8	9	10	11	12
Полив													
1958	133	—	—	—	—	—	133	133	133	133	133	133	133
1959	133	133	133	133	133	133	133	131	131	131	131	131	131
1960	131	131	131	127	122	105	77	51	48	48	46	46	45
1961	46	46	46	43	41	7	—	—	—	—	—	—	—
Богара													
1958	150	—	—	—	—	—	150	150	150	150	150	150	150
1959	150	150	150	150	143	134	128	125	125	125	125	125	125
1960	125	125	125	125	111	93	66	30	17	3	—	—	—
1961	—	—	—	—	—	—	—	—	—	—	—	—	—

Следует отметить, что явление опадания листьев и образования новых находит свое выражение в известной ритмике — смене активных периодов на бездейственные в появлении новых образований, отмирании старых. Однако эта периодичность обусловлена не только природой самого растения, его филогенезом, но и влиянием внешних условий.

И не случайно, что при четырехкратном поливе за вегетационный период продолжительность жизни листьев лавра по сравнению с богородицей увеличивается на 8 месяцев.

Результаты наших исследований подтверждают высказывания известного физиолога Г. Молиша о том, что смена листьев на растении происходит в процессе развития кроны. В данном случае крона рассматривается как динамическая система, в которой все время протекают два взаимосвязанных процесса — возобновление и отмирание листьев. Это объясняется тем, что поступающая в лист вода постепенно испаряется, а минеральные вещества частично перерабатываются, а частично откладываются. Вот эти откладываемые вещества и приводят к старению листа, к потере жизненности, вследствие чего он и опадает.

В практическом отношении изучение продолжительности жизни листа имеет то значение, что оно определяет сроки эксплуатации лавровых насаждений. При условии учета результатов наших исследований, сбор листьев лавра в условиях прикаспийских субтропиков Азербайджана должен производиться не позже чем на второй год вегетации, т. е. до начала массового листопада.

ЛИТЕРАТУРА

1. Ахундзаде И. М. К вопросу об определении понятия субтропиков. Из в АН Азерб. ССР, № 6, Баку, 1958.
2. Бабаев М. М. Агробиологическое изучение лавра благородного в Ленкоранской зоне Азербайджанской ССР. Автореферат, Баку, 1964.
3. Поплавская Г. И. Экология растений. М., 1948.
4. Яковлев Ф. С. К эколого-анатомической характеристике вечнозеленых кустарников. Бот. журнал, т. XXXIII, 2, Л., 1948.

Институт генетики и селекции

Поступило 15. XI 1964

И. М. Ахундзаде, М. М. Бабаев

Хәзәрәтрафы субтропик рајонда нәчиб дәфнә биткисинин
јарпагларының өмрү һагында

ХУЛАСӘ

Нәчиб дәфнә биткисинин, ән гијмәтли һиссәси онун јарпагларыдыр. Бу јарпаглар јејинтидә, консерв истеңсалында, тәбабәтдә кениш истифадә олунур. Она көрә дә бу биткиниң јарпагларының ағач үзәриндә нә гәдәр чох галмасы мүһүм мәсәләдир. Буну, нәзәрә алараг биз үч ил әрзиндә Астара субтропик биткиләр совхозунда һәмин мәсәләни әтрафы өјрәнишиш.

Апарылан тәдгигат иәтичәсийдә мә’лум олмушдур ки, нәчиб дәфнә биткисинин јарпаглары деври олараг тәкулүр вә әмәлә қәлир.

Хәзәрәтрафы субтропик рајонларда нәчиб дәфнә биткиси јарпагларының өмрү 11 ајдан 37 аја гәдәр олур. Дәмәј шәраитдә јарпагларын тәкулмәси тез, јә’ни 11-чи ајдан башлајараг, 29-чу ајда тамамланып. Суварылан шәраитдә исә тәкулмә 14-чу ајдан 37-чи аја гәдәр давам едир.

Бүнлары нәзәрә алараг, һәмин шәраитдә (истифадә мәгсәдилә) нәчиб дәфнә биткиси јарпагларының топланмасы иккинчи векетасија дөврүндә, јә’ни онларын күтләви тәкулмәси башланана гәдәр апарылышы.

С. С. ЭФЕНДИЕВ

ВЫЖИВАЕМОСТЬ ПАЛОЧЕК БРЮШНОГО ТИФА В МОРСКОЙ ВОДЕ БАКИНСКОЙ БУХТЫ

(Представлено академиком АН Азербайджанской ССР М. К. Ганиевым)

Наблюдения показывают, что купание летом в загрязненных морских водах повышает процент заболеваемости среди населения (В. А. Яковенко, 1959).

В результате купания в загрязненных морских водах и применения последних для лечебных процедур распространяются брюшной тиф и дизентерия среди людей (Б. М. Раскин, 1958).

Поэтому изучение выживаемости палочек брюшного тифа в прибрежной воде Бакинской бухты имеет в настоящее время большое эпидемиологическое значение.

Как известно, основными источниками загрязнения Бакинской бухты являются промышленные и хозяйствственно-бытовые сточные воды, которые на очистной станции Баку очищаются неудовлетворительно. В то же время в связи с бурным развитием народного хозяйства и строительством жилых домов увеличивалось и количество сточных вод, сбрасываемых в бухту. Естественно, что такая загрязненность морской воды Бакинской бухты снижает его самоочищающие способности.

По литературным данным (В. А. Ваксман, 1947; Г. Г. Винберг, Т. Н. Сивко и др., 1955; Л. К. Перетц и К. Г. Медвинская, 1946, С. С. Эфендиев, 1963), при самоочищении вод от патогенных микробов определенную роль играют биологические факторы (сапрофитные микробы, бактериофаг, фитопланктоны и зоопланктоны).

Установлено, что загрязнение морской воды Бакинской бухты промышленными сточными водами угнетает антагонистические свойства сапрофитных микробов против *Staphylococcus aureus* (С. С. Эфендиев, 1964), и это одна из важных причин, отрицательно влияющих на процесс самоочищения. Нужно отметить, что в Азербайджанской ССР изучению вопроса выживаемости кишечной группы бактерий в рекой, колодезной и сточной воде посвящен ряд научных работ (С. Бабаева, С. Дадашева, 1948; С. Эфендиев, 1953, 1963). Однако еще не изучена выживаемость палочек брюшного тифа в воде прибрежной полосы Бакинской бухты, куда сбрасываются неочищенные сточные воды.

Таблица 2

В данной статье мы поставили перед собой задачу — изучить их выживаемость.

Для проведения опытов нами была взята морская вода около парашютной вышки на приморском бульваре, где сточные воды спускаются в бухту. Для сравнения полученных результатов дополнительно была взята морская вода в 3 км от берега. Для проведения опытов мы изучили санитарно-бактериологическую характеристику морской воды и установили, что морская вода, взятая из прибрежной зоны Бакинской бухты, загрязнена больше, чем вода, взятая вблизи о. Наргина.

Для заражения морской воды взяты следующие представители кишечной группы бактерий:

- 1) Музейный штамм палочек брюшного типа № 62;
- 2) свежевыделенный от больных штамм палочек брюшного типа № 511.

Нами были изучены морфологическое, серологическое, биохимическое свойства, устойчивость к фенолу и высокой температуре, отношение симтоматизма к бактериофагу указанных штаммов и определена смертельная доза этих штаммов.

Опыт ставился таким образом.

Флаконы заполнялись морской водой Бакинской бухты. После этого вода заражалась указанными бактериями в отдельности из расчета 6 млрд. микробных тел на 1 л воды с учетом, что морская вода заражается большим количеством сточных вод, где находятся патогенные микробы. Такой же опыт ставился с фильтрованной водой.

Зараженная вода хранилась при температуре +7°+10°+18°+20°+37°C. Наблюдения за опытами продолжались 15 дней.

Таблица 1

Наименование штаммов	Нефильтрованная вода			Фильтрованная вода		
	Температурные условия					
	37°C	18+20°C	7+10°C	37°C	18+20°C	7+10°C
Музейные штаммы палочек брюшного типа № 62	4	6	8	7	9	11
Свежевыделенные штаммы палочек брюшного типа № 511	7	8	9	6	11	13

Из табл. 1 видно, что музейные штаммы палочек брюшного типа № 62 в нефильтрованной морской воде прибрежной зоны Бакинской бухты выживают в меньшем времени, чем свежевыделенные культуры.

Как известно, устойчивые штаммы кишечных групп бактерий дольше выживают во внешней среде, чем музейные штаммы. Это подтвердилось и в нашем опыте. Например, фенолустойчивые музейные штаммы палочек брюшного типа выживают в морской воде 4—11 дней, тогда как фенолустойчивые, температуростойчивые и симтоматичноустойчивые свежевыделенные брюшнотифозные палочки выживают 7—13 дней.

Это показывает, что выживаемость кишечной группы бактерий во внешней среде тесно связана со свойствами их клеток. В этом процессе температурный фактор играет определенную роль. Нами был поставлен такой же опыт с водой, взятой недалеко от о. Наргина.

Наименование штаммов	Нефильтрованная морская вода прибрежной части Бакинской бухты	Нефильтрованная морская вода прибрежной зоны острова Наргина
Выживаемость по дням		
Музейные штаммы палочек брюшного типа № 62	4—11	3—4
Свежевыделенные штаммы палочек брюшного типа № 511	7—13	4—6

Как видно из табл. 2, палочки брюшного типа в прибрежной морской воде Бакинской бухты живут 4—13 дней, тогда как в морской воде вблизи о. Наргина — 3—6 дней.

Приведенные данные показывают, что выживаемость палочек брюшного типа в прибрежной морской воде Бакинской бухты лучше, чем у о. Наргина.

Наряду с этим нами были изучены антагонистические свойства сапрофитных микробов, выделенных из морской воды Бакинской бухты, против палочек брюшного типа. Установлено, что антагонистические свойства сапрофитных микробов, выделенных в прибрежной воде Бакинской бухты, слабее выражены, чем у выделенных близ о. Наргина. Полученные данные подтверждают наше давнее предположение о том, что промышленные и хозяйствственные бытовые сточные воды угнетают антагонистические свойства сапрофитных микробов, выделенных из морской воды, против патогенных микробов.

На основании сказанного мы приходим к следующим выводам.

1. Палочки брюшного типа определенное время остаются живыми в морской воде Бакинской бухты.
2. Выживаемость палочек брюшного типа в морской воде прибрежной зоны Бакинской бухты лучше, чем в 3 км от берега.
3. Под действием промышленных и хозяйственных сточных вод антагонистические свойства сапрофитных микробов ослабевают.

ЛИТЕРАТУРА

1. Бабаева С., Дадашева С. Опыт изучения сточных вод инфекционного отделения больницы им. Семашко г. Баку. Труды Ин-та экспер. мед., т. VIII. Баку, 1948.
2. Ваксман З. А. Антагонизм микробов и антибиотические вещества. 1917.
3. Винберг Г. Г., Сивко Т. Н. и др. О влиянии массового развития планктонных водорослей на процессы самоочищения и сроки выживания кишечной палочки в сточной жидкости и загрязненных водоемах. Тезисы докладов и выступлений на Все-союзной научной конференции по вопросу гигиены воздуха, гигиены воды и санитарии бактериологии 16.V 1955 г.
4. Перетц Л. К., Медвейская К. Г. Роль микробного антагонизма в самоочищении воды. „Гигиена и санитария“, № 78, 1946.
5. Раскин Б. М. Санитарная характеристика прибрежной полосы моря и мероприятий по ее оздоровлению. Расширенная научная конференция по санитарной охране прибрежной полосы моря, 1958.
6. Эфендиев С. С. Антагонистические свойства сапрофитных микробов, выделенных из воды прибрежной зоны Бакинской бухты. Труды Бак. филиала ВНИИ „Водгео“, 1964.
7. Эфендиев С. С. Выживаемость и изменчивость микробов кишечно-тифозной и дизентерийной групп в сточных водах. „Азмединский журнал“, № 2, 1953.
8. Эфендиев С. С. Изучение антагонистических свойств сапрофитных микробов, выделенных из реки Куры. „ДАН Азерб. ССР“ № 7, 1963.
9. Яковенко В. А. Методы санитарной оценки морских вод. 1959.

Поступило 27. III 1964
Азербайджанский медицинский институт

Бакы бухтасы дәнис сујунда гарын јаталағы
бактеријаларынын јашаја билмәси һагында

ХУЛАСӘ

Мәгаләдә Бакы бухтасы дәнис сујунда гарын јаталағы бактеријаларынын јашама мүддәти мәсәләсіндән бәйс едилір.

Мушаһидәләр көстәрмишdir ки, яј заманы чиркләнмиш дәнис сујунда чиммәк әнали арасында ѡолухучу хәстәликләрин јајылмасына сәбәб ола биләр. Сүбут олумушшур ки, Бакы бухтасы дәнис сују тамамилә тәмизләнмәмиш чиркаб сују илә чиркләнір. Бакы бухтасы дәнис сујунун чиркаб су илә чиркләнмәси һағтында мөвчуд әдәбијатда чохлу мә'лүмат вардыр. Әдәбијатда гејд едилдијинә көрә су мәнбәләри һәддиндән артыг чиркләнәрсә, судакы сапрофит микробларын антагонист хұсусијәтләри зәнифләйір. Буна әсасен бә'зи һалларда дәнис сујунда мұхтәлиф патокен микроблар мұхтәлиф мүддәтдә јашаја билір. Лакиц бунуна бәрабәр гејд етмәк лазымдыр ки, Бакы бухтасы дәнис сујунда патокен микробларын јашама мүддәти өјрәнилмәшишdir. Б. Бабајева, С. Дадашова (1948), С. С. Эфэндиев (1953) өз тәчрүбәләри илә гарын јаталағы бактеријаларынын мүәjjән мүддәтдә Бакы чиркаб суларында јашаја билмәсін сүбут етмишләр. Бурадан айдан олур ки, әкәр чиркаб сулар там кејфијәтлә тәмизләниб дәнисә тәқұлмәсә, патокен бағырсағ бактеријалары Бакы бухтасы дәнис сујунда мүәjjән мүддәт јашаја биләр.

Алынан дәлилләре әсасен ашағыдақы інтичәләрә кәлмәк олар:

1. Гарын јаталағы бактеријалары мүәjjән мүддәт Бакы бухтасы дәнис сујунда јашаја биләр.
2. Сәнаје вә тәсәррүфат чиркаб суларынын тә'сирі алтында дәнис сујунда тәсадүф едилән сапрофит микробларын антагонист хұсусијәтләри зәнифләйір.
3. Бакы бухтасында патокен бағырсағ групп микробларынын јашама мүддәти саһилдән 3 км узагдакы дәнис сујуна нисбәтән узундур.

А. М. МАМЕДОВ

КЛИНИЧЕСКОЕ ЗНАЧЕНИЕ ИССЛЕДОВАНИЯ
КРОВООБРАЩЕНИЯ В КАПИЛЛЯРАХ У БОЛЬНЫХ
С ОСТАТОЧНЫМИ ЯВЛЕНИЯМИ ТРОМБОЗА
МОЗГОВЫХ СОСУДОВ

(Представлено академиком АН Азербайджанской ССР М. А. Топчубашевым)

Интерес к сосудистым заболеваниям головного мозга и их последствиям в последние десятилетия значительно повысился в связи с увеличением количества таких больных.

Этой проблемой мы занимаемся около 5 лет. В Азербайджанском научно-исследовательском институте курортологии и физических методов лечения им. С. М. Кирова, где наблюдали 71 больного (54 мужчины, 17 женщин) с указанным в заголовке явлением. По возрасту больные распределялись следующим образом: 20-25 лет—2, 25-40 лет—6, 40 лет и выше—63; по социальному положению: колхозников—12, рабочих—17, интеллигентов—42.

При изучении клинических сторон данного заболевания и оценке применяемых лечебных факторов основную роль отводили тяжести болезни, для чего было необходимо исследовать функции многих органов, в том числе состояние капиллярного кровообращения по методу капилляроскопии, пробами Нестерова и Мак Клюра и Ольдрича, электротермометрии кожи и реакции капилляров кожи на механическое раздражение.

Таким образом, у больных с поражением коркового слоя головного мозга капилляры на паретических конечностях не имели обычной формы, количество их было меньше, а фон—бледный по сравнению со здоровой стороной.

Проба Нестерова выявляла количество мелких петехий вплоть до сплошной красноты. При подборе Мак Клюра и Ольдрича для полного исчезновения образовавшихся волдырей требовалось сравнительно меньше времени (по сравнению со здоровой стороной). Кожная температура на паретических сторонах на верхних конечностях на 1—2° выше по сравнению со здоровой стороной и температурой кожи в средней части лба.

Реакция капилляров на механическое раздражение, т. е. исследование красного дермографизма, показала некоторое удлинение времени (до 20—40 минут) исчезновения полученных красных линий на

коже паретической стороны. Следует отметить, что на здоровой стороне тоже было удлинено время, но сравнительно меньше, чем на паретической стороне, нормой которой считается 1—5 минут.

В наших наблюдениях полученные данные не всегда подтверждали друг друга, т. е. не всегда мы могли получить закономерные, друг на друга похожие результаты. Во-первых, это зависело от индивидуальности больных и, во-вторых, от длительности болезни, потому что в третьей стадии болезни не всегда и не у всех регуляция сосудистой реакции происходит одинаково.

Так как сосудистая регуляция имеет 5 этажей: кора, подкорковые центры, пре- и постгангионарные волокна и околососудистые сплетения (И. И. Русецкий), состояние капилляров у больных с поражением и подкорковых узлов бывало иным: на паретических конечностях фон капилляров был бледный, капилляры гигантские, крючкообразные, особенно венозные колена. А на здоровой стороне фон красно-бледноватый, форма петлеобразная, капилляры многочисленные, сравнительно меньшей величины. У этих больных с локализацией патологического очага в подкорковых образованиях пробой Нестерова на паретической стороне получена общая интенсивная краснота, а на здоровой стороне — многочисленные мелкие петехии (на исследованном участке больше 40 петехий), пробой Мак Клюра и Ольдрича — на паретической стороне требовалось 3—5 минут, на здоровой стороне — 10—20 минут и т. д. При сравнении температуры кожи в средней части лба на паретических конечностях оказалось, что на верхних конечностях температура на 1—2° выше, а на нижних конечностях, наоборот, на 3—5° ниже. Для исчезновения красного дермографизма на паретической стороне требовалось от 4 минут до 2 часов, а на здоровой стороне — значительно меньше.

Таким образом, когда патологический процесс охватывает нижние этажи центральной нервной системы, сосудистая реакция бывает более отчетливо выраженной.

Эти исследования имеют определенное значение при оценке лечебных факторов.

Для лечения больных с остаточными явлениями тромбоза мозговых сосудов применяли: 1) электрофорез с йодом по Бургиньону через обе глазницы, продолжительность сеанса 20 минут, 20—25 сеансов на курс; 2) кинезотерапию, состоящую из массажа и упражнений на лыжном аппарате Сандлера, продолжительность каждого сеанса 10 минут, 14—25 сеансов на курс; 3) мастиичную аппликацию (по Ш. М. Гасанову), температура 45—50°, продолжительность — 20 минут, 14—15 сеансов на курс, и другие факторы, о действии которых в данной статье не говорим.

Следует отметить, что исследования проводились в некоторых случаях до и после процедуры. Так, после первого сеанса электрофореза с йодом фон капилляров краснеет у тех, у кого была наблюдана бледность, уменьшаются размеры венозного колена, капилляров становится больше (с 10—15 в поле зрения до 18—25). При повторных исследованиях, на 15-м и 20-м сеансах электрофореза, данное явление становится еще более отчетливым.

Проба Нестерова показала, что количество петехий значительно уменьшается на обеих сторонах конечностей, что говорит об усилении тонуса капилляров.

Проба Мак Клюра и Ольдрича тоже показала усиление тонуса капилляров, т. е. удлинение времени всасывания впрыскиваемого под кожу физиологического раствора по сравнению с первичным исследованием.

Температура кожи на паретической стороне заметно нормализуется, приближаясь к „истинной“ температуре. Тонус капилляров заметно повышается, время исчезновения красных штрихов значительно уменьшается, т. е. не так стойко, как до электрофореза. Все эти явления усиливаются в положительную сторону соответственно количеству процедур.

Кровообращение в капиллярах заметно улучшается при проведении кинезотерапии, особенно массажа. При капилляроскопии фон, форма, величина и количество капилляров в поле зрения заметно нормализуются при сравнении со здоровой стороной. Венозные колена капилляров, которые до массажа имели гигантскую форму, уменьшаются, невидимые артериальные колена становятся видимыми. Проба Нестерова показала, что тонус капилляров повышается, т. е. количество петехий уменьшается, а проба Мак Клюра и Ольдрича показала, что после впрыскивания физиологического раствора время всасывания вообще удлиняется, а у больных с продолжительным всасыванием (около полутори часов) сокращается до 40—50 минут.

Температура кожи заметно выравнивается при сравнении со здоровой стороной и с „истинной“ температурой. Под действием массажа повышается и тонус капилляров, т. е. время исчезновения полученного дермографизма уменьшается наполовину. Нормализация всех этих явлений доказывается уменьшением отечности на параллизованной конечности и повышением эластичности кожи.

Изменение кровообращения в капиллярах во время лечебной гимнастики (упражнения на лыжном аппарате Сандлера) в течение 10 минут бывает положительным, как и при массаже, но менее эффективным. Конечно, количество сеансов процедуры желательно не ограничивать.

Под влиянием мастиичной аппликации после первого сеанса и в дальнейших кровообращение в капиллярах на паретической стороне значительно усиливается. Так что при первом сеансе заметно нормализуется фон, форма, количество и размеры капилляров. На полтора часа после снятия мастиичной аппликации, по пробе Нестерова уменьшилось количество петехий по сравнению с результатами в первые минуты после снятия ее. Проба Мак Клюра и Ольдрича тоже показала заметное изменение: время всасывания физиологического раствора усиливается в первые минуты после снятия мастиичной аппликации, а после полутора часов наблюдается удлиненное время уменьшения. Температура кожи после снятия мастиичной аппликации нормализуется, в нижних конечностях повышается на 1—3 градуса. Это повышение держится недолго. Положительное действие мастиичной аппликации прогрессирует до 14—15-ого сеанса.

Выводы

1. Состояние капиллярного кровообращения на паретической стороне в третьем периоде после нарушения кровообращения в головном мозге заметно замедлено из-за нахождения симпатических нервных волокон в состоянии раздражения. Это подтверждается капилляроскопией, пробами Нестерова и Мак Клюра и Ольдрича, термометрией кожи и исследованием явления красного дермографизма.

2. Во время гальванизации головного мозга заметно изменяется форма и фон капилляров. После гальванизации начинают выравниваться проницаемость капилляров, температура кожи и время исчезновения полученного красного штриха.

3. Под действием кинезотерапии состояние капилляров (фон, размеры, количество) значительно выравнивается со здоровой стороной,

и температура кожи нормализуется, но не долго держится на этом уровне.

4. Под действием мастичных аппликаций кровообращение в капиллярах усиливается больше, чем под действием любых других процедур.

ЛИТЕРАТУРА

1. Гасанов Ш. М. Лечебная мастика. Баку, 1947.
2. Мак Клюр и Ольдрич Цит. Е. М. Мандельштамом в диссертации „Изменения резистентности капилляров при сосудистых заболеваниях головного мозга“: 1955—1956.
3. Мамедов А. М. Стальная лента для исследования красного дермографизма. Сб. тр. АЗНИИ курортологии и физиотерапии им. С. М. Кирова, № IV. 1959.
4. Нестров А. И. К учению о кровеносных капиллярах и капилляроскопии, 1929. Томск, БМЗ. 12, 1930.
5. Русецкий И. И. Вегетативные нервные нарушения. Медгиз, 1958.

Азгосмединститут

Поступило 11. V 1964

Э. М. Мамедов

Беин дамарларында тыханч галығы хәстәләринде капилларда ган һәрәкәти мүајинәсинин клиник әһәмијәти

ХУЛАСӘ

Сон заманлар үрәк-дамар хәстәлікләри илә әлагәдар олараг, беин дамарларында ган һәрәкәтинин позулмасы һаллары чохалмышды. Буна көрә тибб ишчиләри, о чумләдән невропатологларын гарышында жұхарыда гејд едилән хәстәлікләриң клиникасы вә мұаличәси илә даңа дәриндән мәшгүл олмалары мәсәләсі гојулмушдур.

Бу сәбәбдән биз беш илдир ки, беин дамарларында тыханч галығының клиникасы вә мұаличәси илә мәшгүл олуб, 71 хәстә үзәриндә мұшақидә апармышыг.

Хәстәлийн дәринлийнин, патоложи процесин беин дамарларының һансында вә һарасында йерләшмәсіндән асылы олмасыны бир даңа жәгін етдик вә ejni заманда капилларларда ган һәрәкәтине нечә тә'сир етмәсіни көрдүк.

Капилларларда ган һәрәкәтини мұшақидә етмәк үчүн капиллароскопдан, Нестров вә Мак-Клур вә Олдрич сынагларындан, электротермометриядан вә дермографизмин вәзијәтиндән истифадә етмишик. Мүајинәләр мұаличәнин әвшәлиндә, ортасында (ики дәфә) вә ахырында тәkrar олунмушдур.

Мұаличә Буркенион үсулу илә јоду електрофарез етдикдән соңра кинезотерапијадан (масаж вә Сандлерин лыж аппаратында сүрмәк) вә мұаличәви мастиканы жахмағдан ибарәт олмушдур.

Мүајина вә мұаличәләр нәтичәсіндә капилларда ган һәрәкәтинин мүәjjән дәрәчәдә нормаллашмасыны—симметрикләшмәсіни мұшақидә етдик. Белә ки, капилларларын сајы чохалыр (парез нәтичәсіндә көрумәjән капилларларын нормаја дүшмәсі нәтичәсіндә), онларын веноз длизини кичилмәсі вә көрмә саhесіндә гырмызы рәнкин артмасы объектив олараг мұшақидә едилир.

ФИЛОСОФИЯ

А. МАКОВЕЛЬСКИЙ

О МОДЕРНИЗАЦИИ И АРХАИЗАЦИИ В РАБОТАХ ПО ИСТОРИИ ФИЛОСОФИИ

В работах по истории философии нередко встречаются два недостатка: модернизация, вносящая современные или вообще более поздние понятия и идеи в философские системы прошлых веков, и противоположная тенденция—архаизация, приписывающая изучаемым мыслителям более древние понятия и идеи.

Примером модернизации могут служить мнения востоковедов Джемса Дармштетера¹ и Г. Мильса², напечатанные в введениях к их переводу книг Авесты на английский язык в издании „Священные книги Востока“ („The Sacred Books of East“). Оба эти автора заявляют, что в Авесте уже имеется гегелевская диалектика и что именно оттуда Гегель почерпнул свою диалектику. Дармштетер даже говорит, что в Авесте утверждается диалектическая закономерность всего происходящего в мире. Но это преувеличение и модернизация содержания Авесты, в которой встречается лишь зародыш идеи единства и борьбы противоположностей.

Поскольку Авеста является собранием книг, составленных в древности и в эпоху раннего феодализма, и, следовательно, по времени своего возникновения отстоит более чем на тысячелетие от времени жизни и деятельности Гегеля, то такое толкование содержания Авесты, какое дают ему Дармштетер и Мильс, есть не что иное, как грубая модернизация.

С другой стороны, их утверждение, будто в Авесте заключается уже гегелевская диалектика, является грубой архаизацией диалектики Гегеля.

Дело в том, что диалектика Гегеля возникла в первой трети XIX века на основе развития современного ей уровня наук, который стал перерастать рамки метафизического взгляда на природу и общество. Видеть в Авесте Гегеля и истолковывать философию Гегеля как повторение содержания Авесты ошибочно. Тут, с одной стороны, модернизация Авесты, а с другой—архаизация Гегеля. Так две противоположные тенденции—модернизация и архаизация—смыкаются между собой, согласно французской пословице: „Les contraires se touchent“ („Противоположности смыкаются“).

¹ The Sacred Books of East, t. IV, 1880.

² Там же, т. XXXI, ч. III.

Другим примером подобного толкования содержания философских учений может служить статья А. А. Сейд-Задэ в первом томе „Философской энциклопедии“ под заглавием „Вазех“ (литературный псевдоним Мирзы Шафи). Автор утверждает, что философские взгляды Мирзы Шафи тождественны с индийской философией школы чарваков. И здесь приходится отметить, что время жизни и деятельности Мирзы Шафи на тысячелетие отстоит от школы чарваков, которая развивалась в древней Индии и давно уже перестала существовать.

Школа чарваков в древней Индии возникла и развивалась в борьбе с пантеизмом, который был учением господствовавшего в то время в Индии брахманизма. Уже поэтому не следовало бы связывать мировоззрение М. Шафи с философией чарваков. Ни одно из сочинений школы чарваков не сохранилось до XIX века, и наше знакомство с учением школы чарваков черпается исключительно из полемики с ними их врагов.

Философские взгляды Мирзы Шафи отличались от философии индийской школы чарваков еще и тем, что школа чарваков признала достоверность только чувственного восприятия. Она представляла собой односторонний радикальный сенсуализм, огрицавший достоверность положений абстрактного логического мышления. Следовательно, она не шла дальше поверхности явлений, тогда как философия Мирзы Шафи ставила себе задачу проникнуть в сущность явлений и выше всего ставила свет разума.

Философия чарваков страдала той ограниченностью, что она придерживалась крайнего эмпиризма и в противоположность взглядам М. Шафи не верила в силу разума и в значимость логического мышления. Джайинисты справедливо критиковали чарваков за их отрижение значимости логического мышления; они указывали, что сами чарваки, обосновывая свои положения и ведя полемику с другими философскими школами, опираются на законы мышления.

Чарваки принципиально воздерживались от проникновения в сущность явлений посредством логического мышления, и в этом отношении их философия была диаметрально противоположна взглядам М. Шафи, который как представитель философии просвещения выше всего ставил авторитет разума. Как утверждал сам М. Шафи, он стремился приоткрыть завесу, за которой скрывается сущность вещей, и познать тайны природы, ее закономерности.

Произведения представителей школы чарваков писались и полемика с ними первоначально велась на древнеиндийском (санскритском) языке, а М. Шафи вообще не знал индийского языка. Мирза Шафи нигде не упоминает о чарваках. О них упоминает М. Ф. Ахундов, да и то в целях маскировки, чтобы создать впечатление, будто его философский трактат написан индийским автором, продолжающим традиции философской школы чарваков. Сам М. Ф. Ахундов имел смутное представление о чарваках. Он писал, что в Индии живет особый народ—чарваки, отрицающие существование потустороннего мира и проповедующие безбожие.

Поэзия Мирзы Шафи является пропагандой просветительских, демократических и антирелигиозных идей. В своих произведениях Мирза Шафи показал кризис феодальной идеологии, который наступил в Азербайджане в XIX веке. Что касается филиации идей чарваков, то истоки ее следует искать не в поэзии Мирзы Шафи, а в вольнодумстве, проявлявшемся в более ранних произведениях азербайджанских, персидских и арабских авторов, которые были хорошо

знакомы Мирзе Шафи. Итак, в статье А. А. Сейд-Задэ мы встретили модернизацию древнеиндийской философии чарваков и архаизацию взглядов Мирзы Шафи.

В качестве примера модернизации можно привести суждение основоположника американского pragmatism Вильяма Джемса, который утверждал, что pragmatism является лишь новым наименованием для той системы взглядов, которая была высказана еще в древней Греции софистом Протагором. Более чем две тысячи лет отделяют pragmatism от Протагора. И если учение Протагора относилось к тому течению, которое получило название „древнегреческое просвещение“ и было прогрессивным для своего времени, то американский pragmatism возник как идеология загнивающего капитализма (империализма).

Возведение pragmatism к философии Протагора представляет собой модернизацию Протагора и архаизацию pragmatism XX в.

Ярким примером модернизации и архаизации могут служить работы С. Я. Лурье о Демокрите. Он, с одной стороны, утверждает, что у Демокрита уже имелось понятие о дифференциале, присущее высшей математике, а с другой—приписывает Демокриту взгляды первобытных магов.

Пример модернизации Гераклита—сочинение Ф. Лассаля: „Философия Гераклита—сочинение Ф. Лассаля“

В. И. Ленин показал, что в этом сочинении Лассаль Гераклита подгоняется под Гегеля и что Лассаль списывает у Гегеля и приписывает Гераклиту¹. В. И. Ленин так характеризует книгу Лассаля: „Лассаль просто повторяет Гегеля“, пережевывает миллион раз по поводу отдельных мест Гераклита².

Книга Лассаля представляет собой чудовищную модернизацию Гераклита и искажение его учения в идеалистическом гегельянском духе.

Ошибочной модернизацией проникнута и вся книга Р. Пельмана „История античного социализма и коммунизма“, которая стремится стереть глубокие существенные различия между античным и современным научным социализмом и коммунизмом.

Мы привели ряд примеров, которые можно умножить. Необходимо при изучении истории философии вести борьбу с модернизацией и архаизацией. Разумеется, все сказанное отнюдь не исключает наличия влияния и связи более поздних философских систем с более ранними, и выяснение этой связи—одна из задач истории философии.

Не замечать имеющихся в более ранних философских системах зачатков последующих понятий и идей—это тоже своеобразная архаизация, а, исходя из предвзятых взглядов, усматривать в философских системах то, чего в них еще нет—это своеобразная модернизация.

Сектор философии

А. О. Маковелски

Фәлсәфә тарихинә дайр әсәрләрдә модернизә
вә арханкләшdirмә һаггында

ХУЛАСӘ

Фәлсәфә тарихинә дайр әсәрләрдә экසәр һалларда икъ чүр сәһвә тәсадүф олунур: дана соңалар мәғнүм вә идејалар тәддиг олунан мүәллифин ады илә бағламагла тарихи модернизә

¹ В. И. Ленин. Собр. соч., изд. V, т. 29, стр. 305.

² Там же, стр. 311.

етмәк сәһви вә икничиси, өјрәнилән фәлсәфи системи садәдил формада тәһлил етмәк юлу илә ону арханкләшдиrmәкдир.

Мәгаләдә модернизә етмәни арханкләшдиричи мејлләринин типик нүмүнәләри көстәрилir (мәсәлән, Дармштетерин куја һәлә Авестада Һекелин диалектикасы вардыр фикри, Э. Э. Сәидзадәнин Мирзә Шәфи Вазеин дүнјакөрүшү гәдим Һиндистандакы чарвак фәлсәфи мәктәбинин тә'лимийн тәkrарыдыр иддиасы).

ӘЛИ ҺУСЕИНЗАДЭ

МУҒАН ГУРУЛТАЙНЫН МАНИЈЛӘТИ

(Азәрбајчан ССР Р.А. академики И. А. Һусејнов тәгдим етмишdir)

Иранда бөյүк мә'нәви нүфуз олан Сәфәви ханәданынын соң нұмајәндәләрини сәltәнәтдән узаглашдырмаг вә һакимијәти рәсми сурәтдә әлә алмаг мәгсәдилә Күр илә Араз чајларынын бирләшиди Ҙердә Ҙавад көрпүсү җаһынлығында 1736-чы илдә ҹағырылыш Муған гурултајы Надир тәрәфиндән тәшкил едилmiş һијлә иди. Лакин онун рәсми тарихиси олан Мирзә Меһди хан [4, 15] заманынын вә вәзиғесинин тәләбинә көрә бу тарихи һадисәләрин һәгиги манијәтини пәрдәләмәк мәчбуријәтindә галмыш, һәгигәти тәһриф етмишdir [37, 38]. О, Муған гурултајыны халғын ирадәсини ифадә едән бир җығынчаг кими гәләмә вердиқдән соңа Надирин бу гурултајда халғтәрәфиндән шаһ „сечилдијинә“ даир мә'лumatын мүәллифи олмушдур [39].

Тарихи һәгигәтә уйғын олмајан бу мә'лumatы Иран тарихчиләrinin әксәријәти е'тиразсыз [7, 17, 24, 26, 28, 29, 30, 32, 33, 37, 43] гәбул етмиш вә онларын изилә кедәn Азәрбајчан мүәллифләри дә тәkrардан ҹекинмәмишләр [5, 13, 23, 41, 42].

Муған гурултајынын ич үзү вә Надирин падشاһлығы әлә алмаг уғрундақы һијләләри һаггында бизә, нисбәтән дөгрү мә'лumat верән Ечмијадзин каталикосу Абраһам Кретатси [2], Шејх Мәһәммәд Әли Һәzin [18] вә „Намеје-аләмарәје-Надир“ [35, 36] адлы әсәrin мүәллифи Мәһәммәд Казымдыр [6, 8, 9, 10, 11, 14].

Сәфәви дәвләтинин дағылмасы әрәфәсиндә тарих сәһиесинә чыхмыш, Иранда әффан истиласы вә Түркиjә тәчавүзүнә гарыш мұнари-бәләрдәки мұваффәгијәтләри иәтичесиндә шөһрәт газанмыш Надир II Шаһ Тәһмасиби дүшүнмәjә мәcbur етмишdi. II Шаһ Тәһмасиб Надирин өзбашына һәрәкәтләrinдән хошланмырыды. О, өлкәнин фактik һакими олан Надирин бир күн һакимијәти рәсми сурәтдә әлә алачағы еңтималыны айдын тәсәvvүr едирди. Јери кәлдикдә Надирин арадан галдырылmasына белә үрәкдән разы иди [36]. Дикәр тәрәфдән Надир дә Муған гурултајындан даһа чох әvvәl һакимијәти рәсми сурәтдә мәнимсәмәк фикриндә иди. Лакин Иранда бөйүк нүфуз ол һәрмәтә малик олан Сәфәвиләrin сәltәnәtдәn узаглашдырлmasынын чох чәтин вә тәһlүkәli олдуғуна да Надир җаҳши тәсәvvүr едирди. Буна көрә дә Надир II Шаһ Тәһмасиби нүфуздан салмаг уғрунда һеч бир васитәдән ҹекинмишdi. Ону шаһлыгдан мәһрум етмәк үчүн мұвағиг фүрсәт көзләjирди ки, бу да II Шаһ Тәһmасибин османлылara гарыш

башладығы мұнарибәдә (1730-чу ил) мұвәффәгијәтсизлиji нәтичәсіндә мејдана көлди. II Шаһ Тәһмасиб Һәмәдан յахыныңында (Курычанда) мәғлуб едилдикдән (15 IX—1731) соңра бағдадда имзаланан „Әһмәд паша сұлх мүгавиләсі“нә (10 I—1732) разы олмушду. Бу сұлх мүнәдесинә көрә Кәнчә, Тифлис, Ирәван, Ширван вә Дағыстан вилајетләри Османлы, Тәбріз, Эрдәван, Кирманшә, Һәмәдан, Һүвејзә вә Луристан исә Иран дөвләтләринин тәркибинде галырды [12, 20]. Надирсиз имзаланыш бу сұлх мүгавиләнамәсіндән һәр икі тәрәф наразы галышды [31]. Әмирләрин наразылығына сәбәп олан бу хәбәри ешидән Надир фұрсатдән истифадә едіб Исфаһана кәлмиши. II Шаһ Тәһмасиби халг ичәрисинде нүфуздан салмаг үчүн нөвбәти һүйләjә әл атмышды. Шаһын шәрәфинә тәشكіл едилмиш бир мәчлисдә Надир гәсдән ону һәddиндән артыг ичиртмиш вә ләjагетсиз бир вәзиijәтдә гызылбаш сәркәрдәләрине көстәрмәклә сәркәрдәләр арасында шаһа гарши бөjүк нифрәт ојатышды [25, 26, 38]. Нәтичәдә Надир II Шаһ Тәһмасиби Ирана хәjанетдә тәгсиrlәndirәrек таҳтдан салышды. Онун јеринә III Аббасы шаһ [21, 40], өзүнү дә шаһын вәкили е'лан етмәклә һакимиjәti әлә алмашды (1732). Лакин иш бунуна битмири. Сәfәvi хәnәdanынын бөjүк бир нүфузда малик олдуғуны нәzәрә алан Надир дә бу һакимиjәtin бир күн әлдән кедәjи ehtimalындан горхурду [35]. Она көрә дә Сәfәvi өвладыны та-мамилә һакимиjәtдәn мәһрум етмәk, өз шаһлығыны рәсми сурәтдә гануниләшdirмәjә тәlәsirди. Муған гурултајынын әсас мәгсәди дә бундан ибарәт иди. Бу дөврә аид дәjәrlи хатирәләри олан Шеjх Мәhәmmәd Эли Һәzin дә Муған гурултајында тәشكіл едилмиш террора ишарә едир [18]. Лакин бу барәдә бизә әтрафлы мә'lumat верәn Mәhәmmәd Казымды. Онун јаздығына көрә Надир Азәrbайчаны алдыгдан соңра падшаһлыг таҳтына чыхмаг мәgсәdilә Ширвандан Муғана кәлир. Бир күн дин вә дөвләт ишләрини идарә едәn յахын адамларындан бир нечәси илә бу барәdә кизли данышыг апарыр. Надирин эн յахын адамларындан олан мә'jarbasy Һәsәnәli хан бүтүн Иран сәркәрдәләри вә гәbilә башчыларыны топлаjыб онларын разылығыны алдыгдан соңra таҳта чыхмағы Надирә мәslәhәt көрүр. Надир онун фикрини бәjәnir [35]. Муғана топланмаг үчүн өлкәнин һәr тәrәfinә фәrmانлар көндәriр [16, 22, 35]. Гардаши Mәhәmmәd Ибраһим ханла көрүшү заманы Надир фикрини она да ачыр [35]. О, Надирни бу фикриидәn дашындырмaga чалышырса да, фаjда вермир [35]. Гурултај нұмаjәндәләrinin топланmasы үчүн Чавад көрпүсүнүн յахыныңында 12 минә гәdәr чадыры, мәscidләri, һамамлары вә карвансаралары олан бөjүк бир дүшәrkә salыныр. Кениш мејданчалары вә базалары олан бу дүшәrkәdә [39] Надирин ипәkдәn, гызылкүмүшлә бәzәniш вә гамыш hasarla әhәgә eдilmish он икi сүтүн-лу чадыры хүсуси јер тутурdu [2, 35].

Надир гурултаj иштиракчыларында горху вә дәjшәt һисси ојат-мағы да дүшүнмүшдү. Чүнki гурултаjа kәlәnләr сýrasында Надирин гиjmetli bәxшишләrlә өз тәrәfinә чәlb едә билдиji адамларла janашы, она зидд оланлар да чох иди. Сәfәvi тәrәfдарларыны өлүмлә һәdәlәmәk үчүn Надир дүшәrkәdә, чамаатын көzү гаршысында он-он икi minә gәdәr kүndә vә hacha aғač (duşaħa) gojdurmушdu. Mә'lum oлduғu kими, Muғan гурултаjы иштиракчыларындан Моллабашы Mирзә Әбулhәsәn Сәfәvi тәrәfдары олдуғu учүn boғduruлur [35], әмирләrdәn bir нечәси өлдүrtduрулur [1]. Зијадогланларындан Kәnchә bәj-lәrbәjisi Уғурлу ханын һакимиjәti mәhdudлашдырылыш [3, 13].

Муған гурултаjында иштирак едәn каталикос Абраham Кретатсийн јаздығына көрә гурултаjын апарылmasы Надирин вәкили, дүшәр-

жә rәisi, nәsәgчибашы! Әблүлhәsәn бәjә тапшырылышды [2]. Онун башчылығы алтында једdi нәfәrin cә'ji илә Надирин шаh „sечил-мәsi“ үчүн, төррор vasitәsilә, гурултаjда әфкари-умумиjә „hazyr-ланышды [2].

Дәjшәt вә горху дүjfusu илә һәjәchanда олан гурултаj иштиракчылары арасында үч күn тәbliqat апарылдыгдан соңra Надир hиjlә һolu илә, куja падшаһлыг фикринde олмадығыны e'lan еdir. Иштиракчылар Надирин мәgsәdinи билдикләri үчүn горхудан анчаг онун шаһлығa lajig олдуғunu ирәli сүрүрләр. Гурултаj иштиракчыларынын наразылығыны, анчаг горхудан она тәrәfdar олдуғunu յахыш биләn Надир онлардан бу барәdә јазылы вә мәhүrlәnмиш разылыг алыр. Бунуна да o, илләrdәn бәri arzusunda олдуғu шаһлығы гәsб еdir. 1736-чы ил февралы 26-да Muғanда шаh e'lan еdilir [2].

ӘДӘБИJLAT

1. Ереваици Абраам. История войн 1721—1736 гг. Ереван, 1939.
2. Кретати Абраам. История о событиях своих и Надиршаха персидского. Перевод Г. И. Тер-Григоряна (Элјазма). Азэрб. ССР ЕА Тарих Институтунун Елми архиви (Кәләчәкәз ГИЕА) № 1504.
3. Азәrbaijan tarixi, 1 чилд. Bakы, 1958.
4. Арунова М. Р., Ашрафян К. З. Государство Надиршаха Афшара, М., 1958 г.
5. Бакычанов А. Күлүстани-Ирәм. Bakы, 1951.
6. Бартольд В. В. О некоторых восточных рукописях. „Известия Российской Академии Наук“, серия VI, т. VIII, 1919,
7. Кишмишев С. О. Походы Надиршаха в Герат, Гандагар, Индию и о событиях в Персии после его смерти. Тифлис, 1889.
8. Lockhart L. Nadir Shah. A. Critical Study Based Mainly Upon Contemporary Sources. London, 1938.
9. Миклухо-Маклай Н. Д. О некоторых восточных рукописях. „Известия Российской Академии Наук“, серия VI, т. VIII, 1919.
10. Миклухо-Маклай Н. Д. Труд Мухаммеда Казима и его значение для истории Туркмении. „Известия Туркменского филиала АН СССР“, № 5—6, 1945.
11. Миклухо-Маклай Н. Д. О первом томе труда Мухаммеда Казима. Советское востоковедение, т. V, 1946.
12. Minorsky V. Nadir, Islam Ansiklopedisi, cüz 90.
13. Mirzə Adıqəzəlbəj. Gaarabagnamə, Bakы, 1950.
14. Петров П. И. Поправки и дополнения к биографии Мухаммеда Казими. „Советское востоковедение“, т. 5, 1958.
15. Петрушевский И. П. Очерки по истории феодальных отношений в Азербайджане и Армении в XVI—начале XIX вв. Л., 1949.
16. Пигулевская Н. В., Якубовский А. Ю., Петрушевский И. П. Строева Л. В., Белиницкий А. М. История Ирана с древнейших времен до конца XVIII века. Л., 1958.
17. Решетов С. История о Персидском шахе Техмас Кули-хане, вeka. Л., 1958.
18. The Life of Sheikh Mohammed Ali Hazin, written by himself. Ed. by F. C. Belfour. London, 1831.
19. Tadzhkiran al-muluk... Written by himself. Ed. by F. C. Belfour. London, 1831.
20. 21. 22. 23. 24. 25. 26. 27. 28. 29. 30. 31. 32. 33. 34. 35. 36. 37. 38. 39. 40. 41. 42. 43. 44. 45. 46. 47. 48. 49. 50. 51. 52. 53. 54. 55. 56. 57. 58. 59. 60. 61. 62. 63. 64. 65. 66. 67. 68. 69. 70. 71. 72. 73. 74. 75. 76. 77. 78. 79. 80. 81. 82. 83. 84. 85. 86. 87. 88. 89. 90. 91. 92. 93. 94. 95. 96. 97. 98. 99. 100. 101. 102. 103. 104. 105. 106. 107. 108. 109. 110. 111. 112. 113. 114. 115. 116. 117. 118. 119. 120. 121. 122. 123. 124. 125. 126. 127. 128. 129. 130. 131. 132. 133. 134. 135. 136. 137. 138. 139. 140. 141. 142. 143. 144. 145. 146. 147. 148. 149. 150. 151. 152. 153. 154. 155. 156. 157. 158. 159. 160. 161. 162. 163. 164. 165. 166. 167. 168. 169. 170. 171. 172. 173. 174. 175. 176. 177. 178. 179. 180. 181. 182. 183. 184. 185. 186. 187. 188. 189. 190. 191. 192. 193. 194. 195. 196. 197. 198. 199. 200. 201. 202. 203. 204. 205. 206. 207. 208. 209. 210. 211. 212. 213. 214. 215. 216. 217. 218. 219. 220. 221. 222. 223. 224. 225. 226. 227. 228. 229. 230. 231. 232. 233. 234. 235. 236. 237. 238. 239. 240. 241. 242. 243. 244. 245. 246. 247. 248. 249. 250. 251. 252. 253. 254. 255. 256. 257. 258. 259. 260. 261. 262. 263. 264. 265. 266. 267. 268. 269. 270. 271. 272. 273. 274. 275. 276. 277. 278. 279. 280. 281. 282. 283. 284. 285. 286. 287. 288. 289. 290. 291. 292. 293. 294. 295. 296. 297. 298. 299. 300. 301. 302. 303. 304. 305. 306. 307. 308. 309. 310. 311. 312. 313. 314. 315. 316. 317. 318. 319. 320. 321. 322. 323. 324. 325. 326. 327. 328. 329. 330. 331. 332. 333. 334. 335. 336. 337. 338. 339. 340. 341. 342. 343. 344. 345. 346. 347. 348. 349. 350. 351. 352. 353. 354. 355. 356. 357. 358. 359. 360. 361. 362. 363. 364. 365. 366. 367. 368. 369. 370. 371. 372. 373. 374. 375. 376. 377. 378. 379. 380. 381. 382. 383. 384. 385. 386. 387. 388. 389. 390. 391. 392. 393. 394. 395. 396. 397. 398. 399. 400. 401. 402. 403. 404. 405. 406. 407. 408. 409. 410. 411. 412. 413. 414. 415. 416. 417. 418. 419. 420. 421. 422. 423. 424. 425. 426. 427. 428. 429. 430. 431. 432. 433. 434. 435. 436. 437. 438. 439. 440. 441. 442. 443. 444. 445. 446. 447. 448. 449. 450. 451. 452. 453. 454. 455. 456. 457. 458. 459. 460. 461. 462. 463. 464. 465. 466. 467. 468. 469. 470. 471. 472. 473. 474. 475. 476. 477. 478. 479. 480. 481. 482. 483. 484. 485. 486. 487. 488. 489. 490. 491. 492. 493. 494. 495. 496. 497. 498. 499. 500. 501. 502. 503. 504. 505. 506. 507. 508. 509. 510. 511. 512. 513. 514. 515. 516. 517. 518. 519. 520. 521. 522. 523. 524. 525. 526. 527. 528. 529. 530. 531. 532. 533. 534. 535. 536. 537. 538. 539. 540. 541. 542. 543. 544. 545. 546. 547. 548. 549. 550. 551. 552. 553. 554. 555. 556. 557. 558. 559. 559. 560. 561. 562. 563. 564. 565. 566. 567. 568. 569. 570. 571. 572. 573. 574. 575. 576. 577. 578. 579. 580. 581. 582. 583. 584. 585. 586. 587. 588. 589. 589. 590. 591. 592. 593. 594. 595. 596. 597. 598. 599. 599. 600. 601. 602. 603. 604. 605. 606. 607. 608. 609. 609. 610. 611. 612. 613. 614. 615. 616. 617. 618. 619. 619. 620. 621. 622. 623. 624. 625. 626. 627. 628. 629. 629. 630. 631. 632. 633. 634. 635. 636. 637. 638. 639. 639. 640. 641. 642. 643. 644. 645. 646. 647. 648. 649. 649. 650. 651. 652. 653. 654. 655. 656. 657. 658. 659. 659. 660. 661. 662. 663. 664. 665. 666. 667. 668. 669. 669. 670. 671. 672. 673. 674. 675. 676. 677. 678. 679. 679. 680. 681. 682. 683. 684. 685. 686. 687. 687. 688. 689. 689. 690. 691. 692. 693. 694. 695. 696. 697. 698. 699. 699. 700. 701. 702. 703. 704. 705. 706. 707. 708. 709. 709. 710. 711. 712. 713. 714. 715. 716. 717. 718. 719. 719. 720. 721. 722. 723. 724. 725. 726. 727. 728. 729. 729. 730. 731. 732. 733. 734. 735. 736. 737. 738. 739. 739. 740. 741. 742. 743. 744. 745. 746. 747. 748. 749. 749. 750. 751. 752. 753. 754. 755. 756. 757. 758. 759. 759. 760. 761. 762. 763. 764. 765. 766. 767. 768. 769. 769. 770. 771. 772. 773. 774. 775. 776. 777. 778. 779. 779. 780. 781. 782. 783. 784. 785. 786. 787. 787. 788. 789. 789. 790. 791. 792. 793. 794. 795. 796. 797. 798. 799. 799. 800. 801. 802. 803. 804. 805. 806. 807. 808. 809. 809. 810. 811. 812. 813. 814. 815. 815. 816. 817. 818. 819. 819. 820. 821. 822. 823. 824. 825. 826. 827. 828. 829. 829. 830. 831. 832. 833. 834. 835. 836. 837. 838. 839. 839. 840. 841. 842. 843. 844. 845. 846. 847. 848. 849. 849. 850. 851. 852. 853. 854. 855. 856. 857. 858. 859. 859. 860. 861. 862. 863. 864. 865. 866. 867. 868. 869. 869. 870. 871. 872. 873. 874. 875. 876. 877. 878. 879. 879. 880. 881. 882. 883. 884. 885. 886. 887. 887. 888. 889. 889. 890. 891. 892. 893. 894. 895. 896. 897. 898. 899. 899. 900. 901. 902. 903. 904. 905. 906. 907. 908. 909. 909. 910. 911. 912. 913. 914. 915. 916. 917. 918. 919. 919. 920. 921. 922. 923. 924. 925. 926. 927. 928. 929. 929. 930. 931. 932. 933. 934. 935. 936. 937. 938. 939. 939. 940. 941. 942. 943. 944. 945. 946. 947. 948. 949. 949. 950. 951. 952. 953. 954. 955. 956. 957. 958. 959. 959. 960. 961. 962. 963. 964. 965. 966. 967. 968. 969. 969. 970. 971. 972. 973. 974. 975. 976. 977. 978. 979. 979. 980. 981. 982. 983. 984. 985. 986. 987. 987. 988. 989. 989. 990. 991. 992. 993. 994. 995. 996. 997. 997. 998. 999. 999. 1000. 1001. 1002. 1003. 1004. 1005. 1006. 1007. 1008. 1009. 1009. 1010. 1011. 1012. 1013. 1014. 1015. 1016. 1017. 1018. 1019. 1019. 1020. 1021. 1022. 1023. 1024. 1025. 1026. 1027. 1028. 1029. 1029. 1030. 1031. 1032. 1033. 1034. 1035. 1036. 1037. 1038. 1039. 1039. 1040. 1041. 1042. 1043. 1044. 1045. 1046. 1047. 1048. 1049. 1049. 1050. 1051. 1052. 1053. 1054. 1055. 1056. 1057. 1058. 1059. 1059. 1060. 1061. 1062. 1063. 1064. 1065. 1066. 1067. 1068. 1069. 1069. 1070. 1071. 1072. 1073. 1074. 1075. 1076. 1077. 1078. 1079. 1079. 1080. 1081. 1082. 1083. 1084. 1085. 1086. 1087. 1087. 1088. 1089. 1089. 1090. 1091. 1092. 1093. 1094. 1095. 1096. 1097. 1098. 1099. 1099. 1100. 1101. 1102. 1103. 1104. 1105. 1106. 1107. 1108. 1109. 1109. 1110. 1111. 1112. 1113. 1114. 1115. 1116. 1117. 1118. 1119. 1119. 1120. 1121. 1122. 1123. 1124. 1125. 1126. 1127. 1128. 1129. 1129. 1130. 1131. 1132. 1133. 1134. 1135. 1136. 1137. 1138. 1139. 1139. 1140. 1141. 1142. 1143. 1144. 1145. 1146. 1147. 1147. 1148. 1149. 1149. 1150. 1151. 1152. 1153. 1154. 1155. 1156. 1157. 1158. 1159. 1159. 1160. 1161. 1162. 1163. 1164. 1165. 1166. 1167. 1168. 1169. 1169. 1170. 1171. 1172. 1173. 1174. 1175. 1176. 1177. 1178. 1179. 1179. 1180. 1181. 1182. 1183. 1184. 1185. 1186. 1187. 1187. 1188. 1189. 1189. 1190. 1191. 1192. 1193. 1194. 1195. 1196. 1197. 1198. 1198. 1199. 1199. 1200. 1201. 1202. 1203. 1204. 1205. 1206. 1207. 1208. 1209. 1209. 1210. 1211. 1212. 1213. 1214. 1215. 1215. 1216. 1217. 1218. 1219. 1219. 1220. 1221. 1222. 1223. 1224. 1225. 1226. 1227. 1228. 1229. 1229. 1230. 1231. 1232. 1233. 1234. 1235. 1236. 1237. 1238. 1239. 1239. 1240. 1241. 1242. 1243. 1244. 1245. 1245. 1246. 1

- رضاعلى هدایت روضة الصفا. جلد هشتم. تهران ١٢٧١
- سازمان اداری حکومت صفوی با تحقیقات حواشی، تعلیقات استاد مینورسکی بر تذکرة الملوك. ترجمه مسعود رجبنیا. تهران ١٣٣٤
- سر جون ملکلم. تاریخ ایران جلد ۲. بمبی ۱۳۰۳
- عیسی اقبال. تاریخ مفصل ایران از استیلای مغول تا انفراض قاجاریه. تهران ١٣٢٠
- عبدالله رازی. تاریخ ایران. تهران ١٣١٧
- علی رشد. تاریخ عثمانی. استانبول ٣١
- محمد حجازی. خلاصه تاریخ ایران تا انفراض قاجاریه تهران ٢٢
- ١٣٣٥
- محمد حسنخان صینع الدوّله. منظمه ناصری. جلد ۲ تهران ١٢٩٩
- محمد حسن ملزاده. زبدۃ التواریخ جلد ۲، حصہ ۱ گنجہ ١٩١٢
- محمد کاظم. نامه عالم آرای نادری جلد ۳-۱ (الیازماسی) سСРІ ЕА Асия Халглары Институтунун Ленинград ше'бәси. № Д-430.
- محمد کاظم. نامه عالم آرای نادری. دفتر اول. موسکو ١٩٦٠
- محمد مهدی بن محمد رضا اصفهانی. نصف جهان فی تعریف اصفهان بتصحیح و تحرییہ دکتر منوچهر ستوده تهران ١٣٤٠
- میرزا محمد خلیل مرعشی صفوی. مجموع التواریخ. تهران ١٣٢٨
- میرزا مهدی خان. تاریخ جهانگشای نادری. بمبی ١٢٦٥
- میرزا مهدی خان. تاریخ نادری. تبریز. ١٢٦٨
- میرزا مهدی خان. تاریخ نادری. آذربایجان ССР ЕА Тарих Институтунун Елми Архиви. № 2251.
- میر مهدی خزانی. قراباغ تاریخی (الیازماسی) آذربایجان ССР ЕА Республика Әلжазмалары Фонду. № ۶-۵۱۸.
- مینورسکی، و. تاریخچه نادر شاه. تهران ١٣١٣

Али Гусейнзаде

Муганский Курултай Надира

РЕЗЮМЕ

В сообщении на основе свидетельств современников и очевидцев событий—Мухаммеда Кязима, Мухаммеда Али Хазина, Мирзы Мухаммеда Халима Мар'ashi, Мухаммед Мехти ибн Мухаммед Разы, Абраам Ереванци, Абраама Кретаци и других автор пытается воссоздать правдивую картину той исторической обстановки, благодаря которой Надиру после победы над афганцами (1729) удалось взять в свои руки фактическое управление страной. Раскрываются также интриги, организованные Надиром задолго до Муганского Курултая против последних Сефевидов с целью дискредитации их среди полководцев и возможной племен. Материалы сообщения показывают организованный Надиром кровавый террор на Муганском Курултае, приведший его к власти.

Тарих институту

Алынышдыр 24. IV 1964

МУНДЭРИЧАТ

Ријазијјат

Р. И. Мәммәдов. Функцияларын $L (-\infty, \infty)$ фәзасында хәтти операторларла жаһынлашмасы мәсэләси һагтында 3

Үзви кимја

Ш. Г. Садыхов, С. Ч. Мендијев, В. А. Солдатова. Алкил β -циклокексилетил спиртләринин синтези 7

Физики кимја

З. І. Зүлфүгаров, Л. Ш. Зүлфүгарова, Е. М. Чәфәров. Хром-оксид катализаторларында оксидләшмә вә редуксија реакцијаларына дашијычыларын вә һәлледичиләрин кимјәви тәркибләринн тә'сирі 11
А. Г. Мисекрли, В. Ж. Землянскаја, Т. Агаруова. Каолинит кили суспензијасының структур-реологи хассасларинә анионокен сәтинаktiv маддәләрин тә'сирі 16

Техника

С. М. Гулијев, Э. А. Ибраһимов. Газымада шарошка дишнин сүхурла тәмас мүддәти барәсінде 22

Термодинамика

Н. А. Трибус, М. Э. Шыхәлијев. Лај—конденсат стабил фраксијасының сүн'и нұмуниәтінн тә'жін олунма үсулу 27

Литолокија

А. И. Қәләнтәров, Д. Ш. Вәзиров. Коллектор-сұхурларын литологи тәркибинин нефтвөрмә әмсалына тә'сирі һагтында 31

Стратиграфија

Х. М. Шејдајева-Гулијева, Х. С. Чабарова, Н. А. Искәндәров. Ләнкәбіз силосләсінин Абшерон ярусынан стратиграфијасына айд 34

Палеонтолокија

Т. А. Нәсәнов, Т. Э. Мәммәдов. Ново-Ивановка кәнді саһасында Алт Еосен чөкүйтләринин варлығы һагтында 38/9

Фајдалы газынтылар

Т. Н. Нәсібов, Ф. И. Зејналов, У. Г. Мәммәдов. Қичик Гафгазын Севан-Экәрә зонасында жени чиң филиз саһаси 44

Иглимшұнаслығ

| | |
|--|----|
| С. Мәһәррәмов а. Бакы нордунун (хәзриин) сүр'ети һағында | 48 |
| Торпаг микробиолокијасы | |
| Н. Э. М еңдијева, Н. А. М атиросова. Торпаг микрофлорасының шағулы зоналлығы һағында бәзі мәлumatлар | 55 |
| Ботаника | |
| В. Ш. Гулијев. Ачыноур гыш отлагларының зәһәрли вә зәрәрли биткиләри | 62 |
| Торпагшұнаслығ | |
| Х. М. Мустафаев. Мұхтәлиф ағач-көл чинсләри мешә дәшәнәјинин һидрологија ролу һағында | 66 |
| Кенетика | |
| С. Б. Һүсейнов. Мұхтәлиф иглим шәрдитинни чукундуруп бөјумесинә, шәкәрлиниә вә мәңсулдарлығына тәсирі | 70 |
| И. М. Ахудадә, М. М. Бабаев. Хәзәрәтрафы субтропик районда иәчиб дәғиә биткисинин жарпагларының өмрү һағында | 74 |
| Микробиология | |
| С. С. Эфандиев. Бакы бухтасы дәнис сујупда гарын жаталағы бактериаларының жашаға билмәсі һағында | 77 |
| Тибб | |
| Ә. М. Мәммәдов. Бейн дамарларында тыханч галығы хәстәләриндә калилләрдә гән һәрекәті мұаинәсийн клиник әһәмијәті | 81 |
| Фәлсәфә | |
| А. О. Маковелски. Фәлсәфә тарихинә даир эсәрләрдә модернизә вә архакләшілдirmә һағында | 85 |
| Тарих | |
| Әли Һүсеинзадә. Муған гурултауының маһијәті | 89 |

ОГЛАВЛЕНИЕ

| | |
|--|----|
| Математика | |
| Р. Г. Мамедов. К вопросу приближения функций линейными операторами в пространстве $L(-\infty, \infty)$ | 3 |
| Органическая химия | |
| Ш. Г. Садыхов, С. Д. Мехтиев, В. А. Солдатова. Синтез алкил-β-циклогексилэтиловых спиртов | 7 |
| Физическая химия | |
| З. Г. Зульфугаров, Л. Ш. Зульфугарова, Э. М. Джарарова. Влияние химического составаносителей и растворителей на окислительно-восстановительные реакции хромокисных катализаторов | 11 |
| А. К. Мискарли, В. Я. Землянская, Т. Агарунова. Влияние некоторых анионогенных поверхности-активных веществ на структурно-реологические свойства суспензий каолинитовой глины | 16 |
| Техника | |
| С. М. Кулиев, А. А. Ибрагимов. О времени контакта зуба шарошки с породой при бурении | 22 |
| Термодинамика | |
| Н. А. Тривус, М. А. Шихалиева. Методика составления искусственной пробы стабильной фракции пластового конденсата | 27 |
| Литология | |
| А. И. Калантаров, Д. Ш. Везиров. О влиянии литологического состава пород-коллекторов на нефтеотдачу | 31 |
| Стратиграфия | |
| Х. М. Шейдаева-Кулиева, Х. С. Джабарова, Н. А. Искендеров. К стратиграфии Апшеронского яруса Ленгебизской гряды | 34 |
| Палеонтология | |
| Т. А. Гасанов, Т. А. Мамедов. О присутствии нижнезоценовых отложений в районе сел. Ново-Ивановка (Кедабекский район) | 38 |
| Полезные ископаемые | |
| Т. Н. Насибов, Ф. И. Зейналов, У. Г. Мамедов. Новое ртутноерудное поле в пределах Севано-Акеринской зоны Малого Кавказа | 44 |
| Климатология | |
| С. Г. Магеррамова. К вопросу о скоростях Бакинского норда | 48 |
| Почвенная микробиология | |
| Н. А. Мехтиева, Т. А. Мартиросова. Некоторые данные о распределении микрофлоры почв Азербайджана по вертикальной зональности | 55 |

Ботаника

В. Ш. Кулиев. Ядовитые и вредные растения зимних пастбищ Аджинаура 62

Почвоведение

Х. М. Мустафаев. О гидрологической роли лесной подстилки различных пород 66

Генетика

С. Б. Гусейнов. Влияние различных условий на рост, сахаристость и продуктивность сахарной свеклы 70
И. М. Ахундзаде, М. М. Бабаев. Продолжительность жизни листьев лавра благородного в прикаспийских субтропиках 74

Микробиология

С. С. Эфендиев. Выживаемость палочек брюшного тифа в морской воде Бакинской бухты 77

Медицина

А. М. Мамедов. Клиническое значение исследования кровообращения в капиллярах у больных с остаточными явлениями тромбоза мозговых сосудов 81

Философия

А. Маковельский. О модернизации и архаизации в работах по истории и философии 84

История

Али Гусейнзаде. Муганский Курултай Надира 89

ПРАВИЛА ДЛЯ АВТОРОВ

1. В «Докладах Академии наук Азербайджанской ССР» помещаются краткие сообщения, содержащие заключенные, еще не опубликованные результаты научных исследований, имеющих теоретическое или практическое значение.

В «Докладах» не публикуются крупные статьи, механически разделенные на ряд отдельных сообщений, статьи полемического характера без новых фактических данных, статьи с описанием промежуточных опытов без определенных выводов и обобщений, работы непринципиальные, описательного или обзорного характера, чисто методические статьи, если предлагаемый метод не является принципиально новым, а также статьи по систематике растений и животных (за исключением описания особо интересных для науки находок).

Статьи, помещаемые в «Докладах» не лишают автора права последующей публикации того же сообщения в развернутом виде в других изданиях.

2. Поступающие в «Доклады» статьи рассматриваются Редакционной коллегией только после представления их академиком по специальности.

Статьи членов-корреспондентов Академии наук Азербайджанской ССР принимаются без представления.

Редакция просит академиков при представлении статьи указывать дату получения ее от автора, а также наименование раздела, в котором статья должна быть помещена.

3. В «Докладах» публикуется не более трех статей одного автора в год. Для академиков устанавливается лимит 8 статей, а для членов-корреспондентов Академии наук Азербайджанской ССР — 4 статьи в год.

4. «Доклады» помещают статьи, занимающие не более четверти авторского листа, около 6—7 страниц машинописи (10 000 печатных знаков), включая рисунки.

5. Статьи, написанные на азербайджанском языке, должны иметь резюме на русском языке и наоборот.

6. В конце статьи должны быть указаны название научного учреждения, в котором произведена работа, и номер телефона автора.

7. Опубликование результатов работ, проведенных в научных учреждениях, должно быть разрешено дирекцией научного учреждения.

8. Статьи (включая и резюме) должны быть написаны на машинке через два интервала на одной стороне листа и представляются в двух экземплярах. Формулы должны быть вписаны четко и ясно, и при этом прописные буквы должны быть подчеркнуты (черным карандашом) двумя черточками снизу, а строчные — сверху; буквы греческого алфавита надо обводить красным карандашом.

9. Цитируемая в статье литература должна приводиться не в виде подстрочных сносок, а общим списком (без новострочия), в алфавитном порядке (по фамилии автора), в конце статьи с обозначением ссылки в тексте порядковой цифрой. Список литературы должен быть оформлен следующим образом:

а) для книг: фамилия и инициалы автора, полное название книги, номер тома, город, издательство и год издания;

б) для статей в сборниках (трудах): фамилия и инициалы автора, заглавие статьи, название сборника (трудов), том, выпуск, место издания, издательство, год, страница;

в) для журнальных статей: фамилия и инициалы автора, заглавие статьи, название журнала, год, том, номер (выпуск), страница.

Ссылки на неопубликованные работы не допускаются (за исключением отчетов, диссертаций, хранящихся в научных учреждениях).

10. На обороте рисунков должны быть указаны фамилии автора, название статьи и номер рисунка. Отпечатанные на машинке подписи к рисункам представляются на отдельном листе.

11. Редакция выдает автору бесплатно 12 отдельных оттисков статьи.

Подписано к печати 23/IX-1965 г. Формат бумаги 70×108^{1/16}. Бум. лист. 2,81.

Печ. лист. 7,71, Уч.-изд. лист. 7,13. ФГ 01497. Заказ 153.

Тираж 870. Цена 40 коп.